

# Anexo 1

## Guía de conversión entre número y nombre de categoría por cada variable del modelo

ALTITUD ABSOLUTA	
1	De 0 a 150
2	De 151 a 300
3	Del 301 a 450
4	De 451 a 600
5	De 601 a 3478

ALTITUD RELATIVA	
1	De 0 a 0,2
2	De 0,2 a 0,4
3	De 0,4 a 0,6
4	De 0,6 a 0,8
5	De 0,8 a 1

PENDIENTE	
1	De 0° a 3°
2	Entre 3° y 7°
3	Mayor a 7°

DISTANCIA A HIDRO.	
1	De 0 a 500 m
2	De 501 a 1000 m
3	De 1001 a 1500 m
4	Más de 1500 m

ORIENTACIÓN	
-1	Plano
2	Norte
3	Noreste
4	Este
5	Sureste
6	Sur
7	Suroeste
8	Oeste
9	Noroeste

MORFOLOGÍA	
1	Relieves de montaña
2	Dunas, playas
3	Cerros, colinas, lomas
4	Lagunas, marismas
5	Llanuras, planicies y mesas
6	Terrazas, vegas fluviales

LITOLOGÍA	
1	Rocas ígneas
2	Rocas metamórficas
3	Rocas sedimentarias

VEGETACIÓN POTENCIAL	
1	Acebuchales
2	Alcornocales
3	Bosques de ribera
4	Encinar supramedit
5	Encinar mesomedit
6	Encinar termomedit
7	Lentiscos, espinares
8	Vegetación de montaña
9	Dunas, marismas

LANDFORM	
1	Valles
2	Baja pendiente, lomas
3	Llanuras, plataformas planas
4	Media pendiente, piedemonte
5	Alta pendiente, barrancos
6	Crestas montañosas, cumbres

CAPACIDAD AGRÍCOLA	
0	No evaluado
1	Muy alta/alta
2	Media y baja
3	Muy baja y marginal

# ÁMBITO REGIONAL

## Altitud absoluta

NEOLÍTICO	cat	Ps	Pa	Kj	Ps-Pa
	5	0,473	0,348	0,243	0,125
	3	0,601	0,478	0,272	0,123
	4	0,721	0,625	0,263	0,096
	2	0,841	0,775	0,236	0,066
	1	1,000	1,000	0,000	0,000

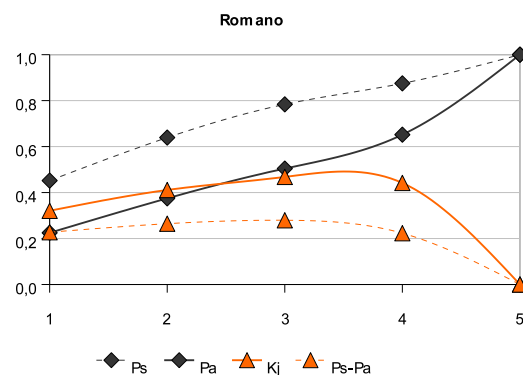
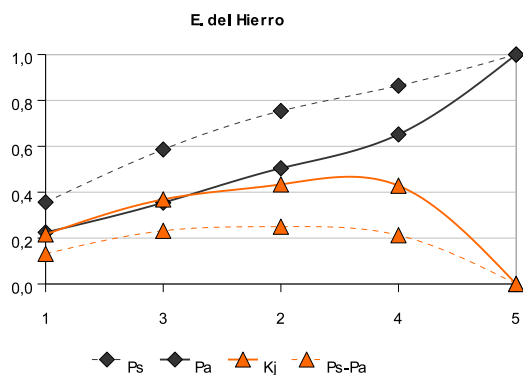
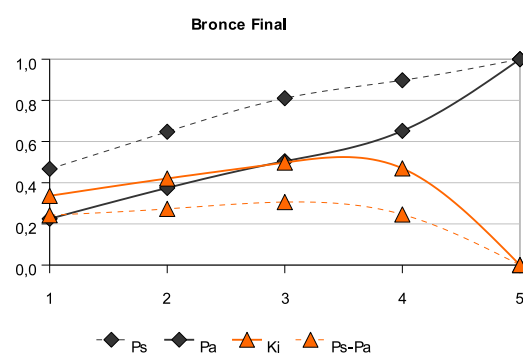
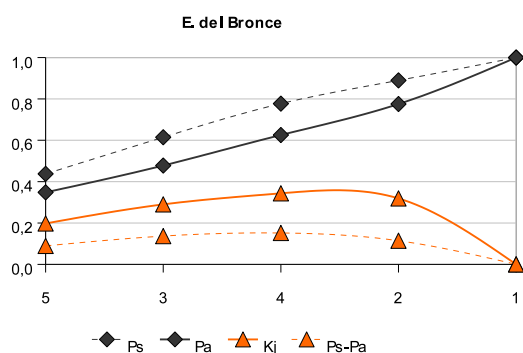
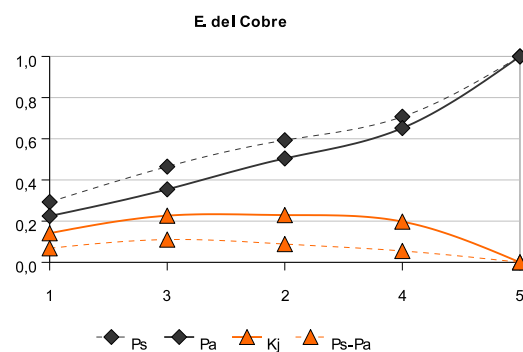
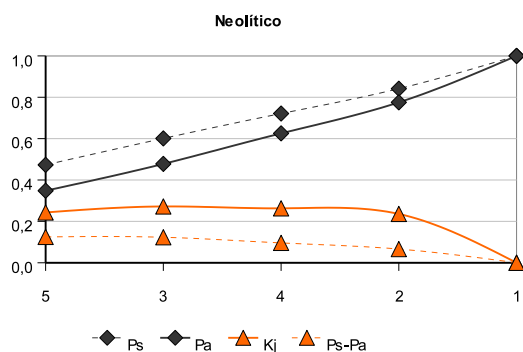
E. DEL BRONCE	cat	Ps	Pa	Kj	Ps-Pa
	5	0,438	0,348	0,198	0,089
	3	0,615	0,478	0,290	0,137
	4	0,777	0,625	0,343	0,152
	2	0,890	0,775	0,319	0,114
	1	1,000	1,000	0,000	0,000

E. DEL HIERRO	cat	Ps	Pa	Kj	Ps-Pa
	1	0,356	0,225	0,216	0,131
	3	0,586	0,354	0,369	0,232
	2	0,754	0,504	0,434	0,250
	4	0,864	0,652	0,428	0,212
	5	1,000	1,000	0,000	0,000

E. DEL COBRE	cat	Ps	Pa	Kj	Ps-Pa
	1	0,293	0,225	0,141	0,068
	3	0,465	0,354	0,227	0,110
	2	0,593	0,504	0,229	0,089
	4	0,707	0,652	0,198	0,055
	5	1,000	1,000	0,000	0,000

BRONCE FINAL	cat	Ps	Pa	Kj	Ps-Pa
	1	0,467	0,225	0,336	0,242
	2	0,648	0,375	0,420	0,273
	3	0,810	0,504	0,498	0,306
	4	0,898	0,652	0,470	0,246
	5	1,000	1,000	0,000	0,000

ROMANO	cat	Ps	Pa	Kj	Ps-Pa
	1	0,452	0,225	0,321	0,227
	2	0,639	0,375	0,411	0,264
	3	0,784	0,504	0,468	0,279
	4	0,875	0,652	0,442	0,223
	5	1,000	1,000	0,000	0,000



## Altitud relativa

NEOLÍTICO	cat	Ps	Pa	Kj	Ps-Pa
	4	0,266	0,130	0,190	0,136
	5	0,481	0,199	0,368	0,282
	3	0,568	0,275	0,407	0,292
	1	0,724	0,483	0,418	0,241
	2	1,000	1,000	0,000	0,000

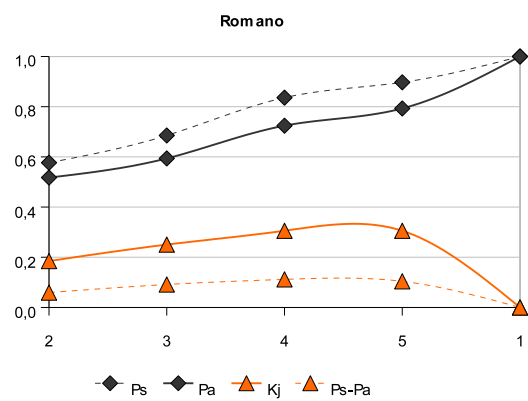
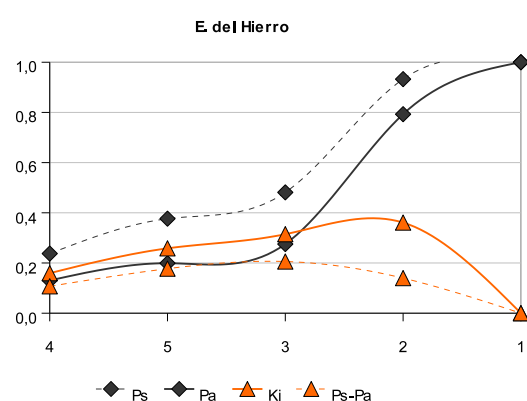
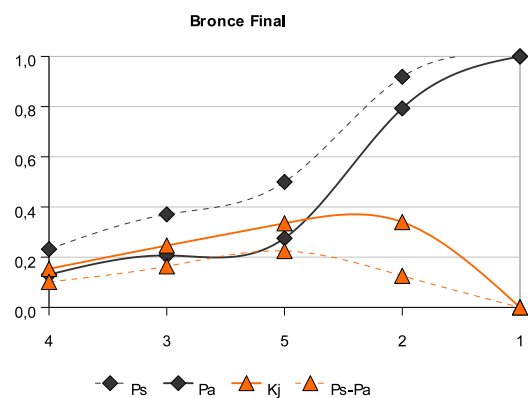
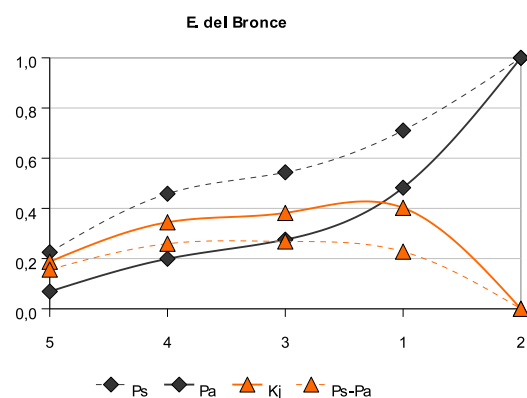
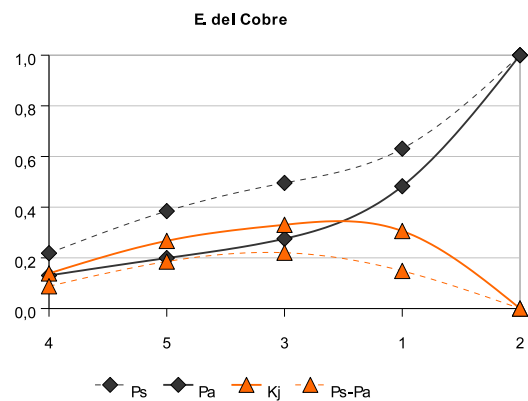
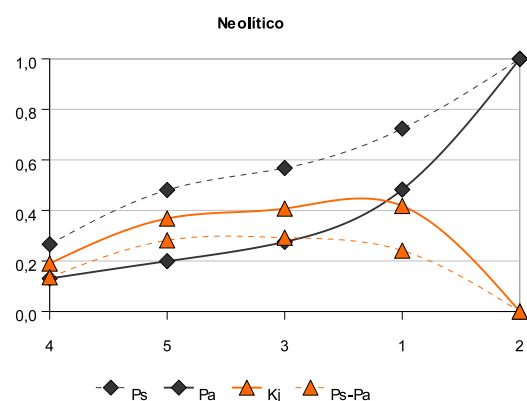
E. DEL BRONCE	cat	Ps	Pa	Kj	Ps-Pa
	5	0,225	0,069	0,188	0,156
	4	0,458	0,199	0,345	0,259
	3	0,544	0,275	0,382	0,268
	1	0,710	0,483	0,402	0,228
	2	1,000	1,000	0,000	0,000

E. DEL HIERRO	cat	Ps	Pa	Kj	Ps-Pa
	4	0,237	0,130	0,159	0,107
	5	0,376	0,199	0,258	0,177
	3	0,481	0,275	0,315	0,206
	2	0,933	0,793	0,361	0,140
	1	1,000	1,000	0,000	0,000

E. DEL COBRE	cat	Ps	Pa	Kj	Ps-Pa
	4	0,218	0,130	0,139	0,088
	5	0,385	0,199	0,267	0,185
	3	0,496	0,275	0,330	0,220
	1	0,631	0,483	0,306	0,148
	2	1,000	1,000	0,000	0,000

BRONCE FINAL	cat	Ps	Pa	Kj	Ps-Pa
	4	0,232	0,130	0,153	0,101
	3	0,370	0,207	0,246	0,164
	5	0,500	0,275	0,335	0,225
	2	0,919	0,793	0,340	0,126
	1	1,000	1,000	0,000	0,000

ROMANO	cat	Ps	Pa	Kj	Ps-Pa
	2	0,577	0,517	0,185	0,059
	3	0,685	0,594	0,250	0,091
	4	0,836	0,724	0,306	0,112
	5	0,897	0,793	0,306	0,104
	1	1,000	1,000	0,000	0,000





## Pendiente

NEOLÍTICO	cat	Ps	Pa	Kj	Ps-Pa
	3	0,284	0,220	0,134	0,064
	2	0,540	0,446	0,225	0,094
	1	1,000	1,000	0,000	0,000

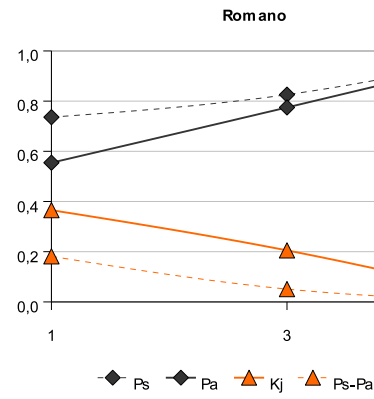
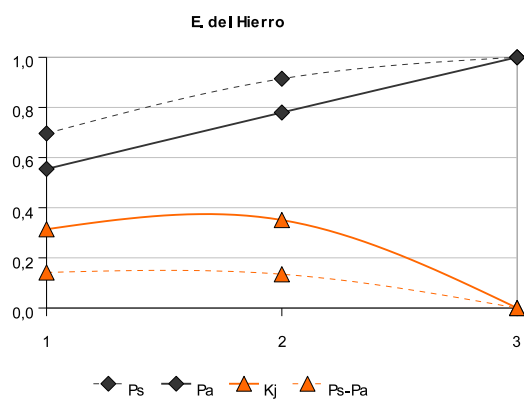
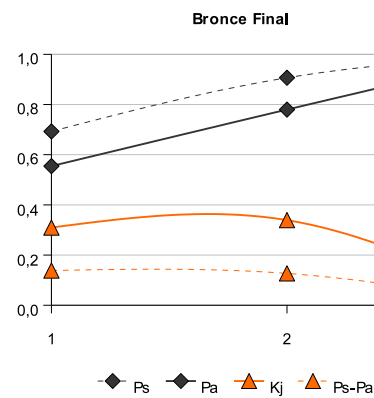
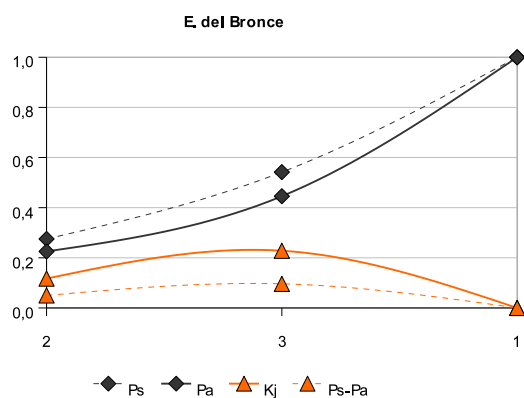
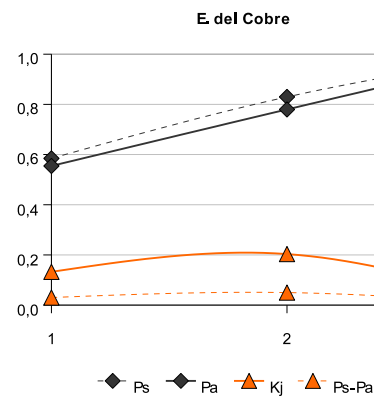
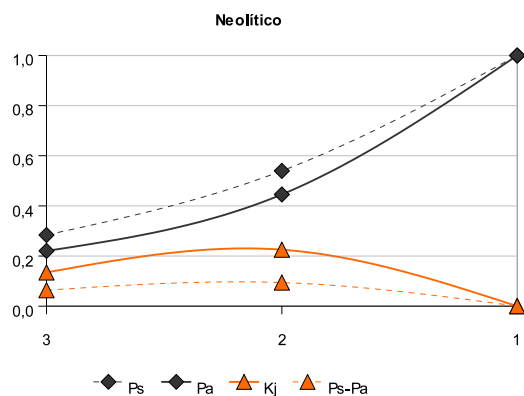
E. DEL BRONCE	cat	Ps	Pa	Kj	Ps-Pa
	2	0,275	0,225	0,117	0,050
	3	0,542	0,446	0,228	0,096
	1	1,000	1,000	0,000	0,000

E. DEL HIERRO	cat	Ps	Pa	Kj	Ps-Pa
	1	0,696	0,554	0,314	0,142
	2	0,914	0,780	0,351	0,135
	3	1,000	1,000	0,000	0,000

E. DEL COBRE	cat	Ps	Pa	Kj	Ps-Pa
	1	0,585	0,554	0,133	0,030
	2	0,830	0,780	0,203	0,050
	3	1,000	1,000	0,000	0,000

BRONCE FINAL	cat	Ps	Pa	Kj	Ps-Pa
	1	0,693	0,554	0,310	0,138
	2	0,907	0,780	0,339	0,127
	3	1,000	1,000	0,000	0,000

ROMANO	cat	Ps	Pa	Kj	Ps-Pa
	1	0,736	0,554	0,366	0,182
	3	0,826	0,775	0,205	0,051
	2	1,000	1,000	0,000	0,000



Distancia a red hidrográfica

NEOLÍTICO	cat	Ps	Pa	Kj	Ps-Pa
	1	0,550	0,495	0,174	0,055
	3	0,673	0,624	0,181	0,049
	4	0,767	0,724	0,181	0,043
	2	1,000	1,000	0,000	0,000

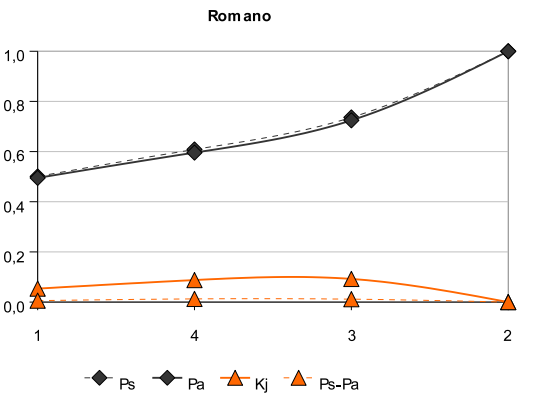
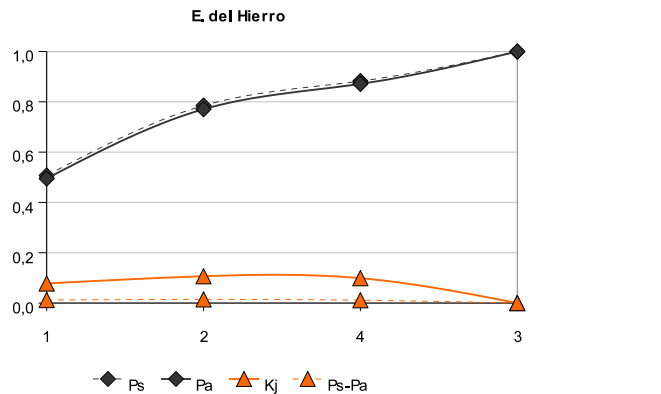
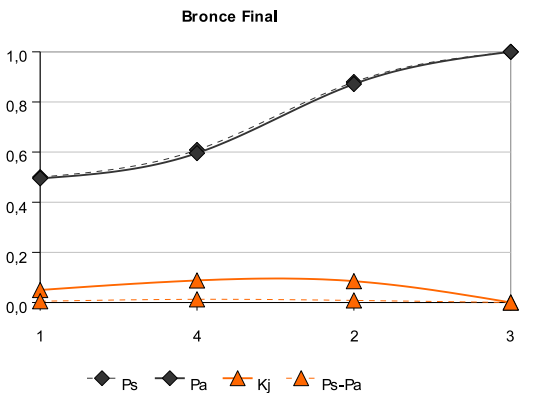
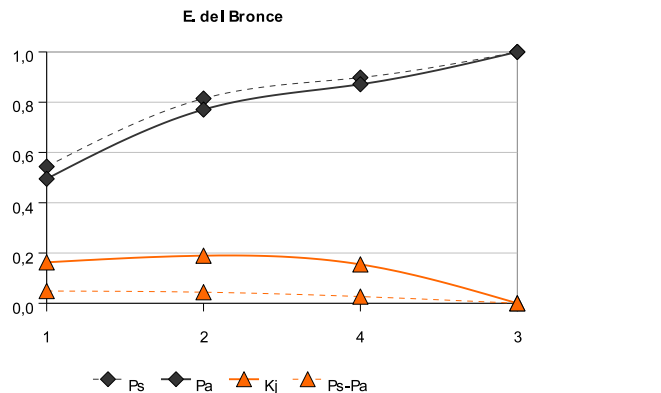
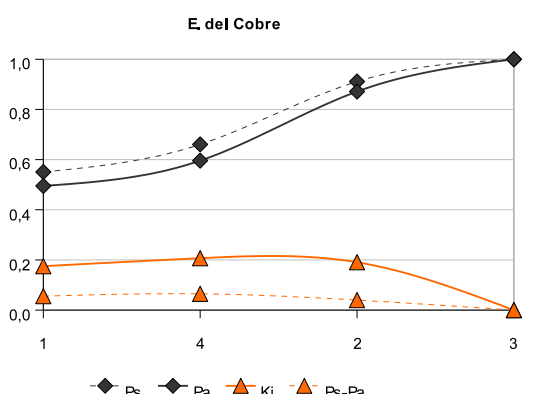
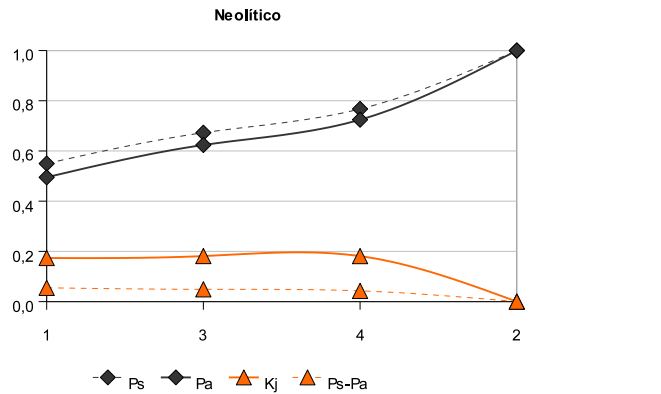
E. DEL BRONCE	cat	Ps	Pa	Kj	Ps-Pa
	1	0,544	0,495	0,163	0,049
	2	0,815	0,771	0,189	0,044
	4	0,898	0,871	0,155	0,027
	3	1,000	1,000	0,000	0,000

E DEL HIERRO	cat	Ps	Pa	Kj	Ps-Pa
	1	0,507	0,495	0,078	0,012
	2	0,785	0,771	0,107	0,014
	4	0,882	0,871	0,099	0,011
	3	1,000	1,000	0,000	0,000

E. DEL COBRE	cat	Ps	Pa	Kj	Ps-Pa
	1	0,551	0,495	0,175	0,056
	4	0,661	0,596	0,207	0,065
	2	0,911	0,871	0,191	0,040
	3	1,000	1,000	0,000	0,000

BRONCE FINAL	cat	Ps	Pa	Kj	Ps-Pa
	1	0,500	0,495	0,050	0,005
	4	0,608	0,596	0,088	0,013
	2	0,880	0,871	0,085	0,008
	3	1,000	1,000	0,000	0,000

ROMANO	cat	Ps	Pa	Kj	Ps-Pa
	1	0,501	0,495	0,054	0,006
	4	0,608	0,596	0,088	0,013
	3	0,736	0,724	0,092	0,012
	2	1,000	1,000	0,000	0,000



## Orientación

NEOLITICO	cat	Ps	Pa	Kj	Ps-Pa
	6	0,169	0,138	0,072	0,031
	2	0,294	0,250	0,114	0,044
	3	0,414	0,356	0,155	0,058
	7	0,552	0,493	0,181	0,059
	4	0,652	0,591	0,200	0,061
	9	0,777	0,719	0,213	0,059
	8	0,877	0,835	0,193	0,042
	-1	0,898	0,870	0,159	0,028
	5	1,000	1,000	0,000	0,000

E. DEL COBRE	cat	Ps	Pa	Kj	Ps-Pa
	3	0,144	0,107	0,073	0,037
	2	0,273	0,219	0,122	0,055
	4	0,379	0,316	0,154	0,063
	8	0,499	0,432	0,182	0,066
	9	0,620	0,560	0,192	0,059
	5	0,742	0,691	0,195	0,051
	7	0,869	0,828	0,190	0,041
	-1	0,896	0,862	0,174	0,034
	6	1,000	1,000	0,000	0,000

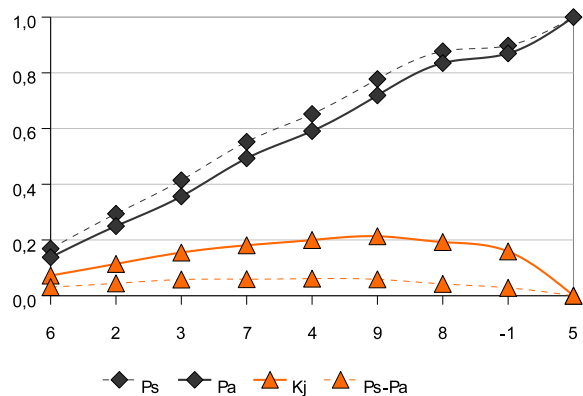
E. DEL BRONCE	cat	Ps	Pa	Kj	Ps-Pa
	9	0,171	0,128	0,086	0,043
	3	0,285	0,234	0,121	0,051
	8	0,404	0,351	0,147	0,054
	4	0,502	0,448	0,164	0,054
	7	0,633	0,585	0,175	0,048
	5	0,758	0,716	0,180	0,043
	6	0,888	0,853	0,174	0,034
	2	0,988	0,965	0,148	0,022
	1	1,000	1,000	0,000	0,000

BRONCE FINAL	cat	Ps	Pa	Kj	Ps-Pa
	5	0,151	0,130	0,055	0,020
	7	0,304	0,267	0,106	0,037
	-1	0,358	0,302	0,143	0,057
	8	0,482	0,418	0,176	0,064
	2	0,593	0,530	0,194	0,064
	4	0,690	0,628	0,207	0,062
	3	0,792	0,734	0,214	0,058
	9	0,913	0,862	0,215	0,051
	6	1,000	1,000	0,000	0,000

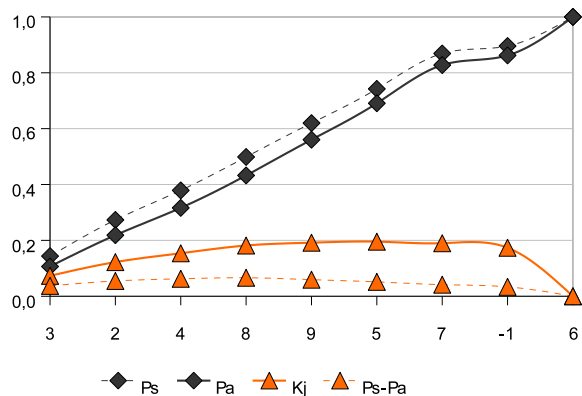
E. DEL HIERRO	cat	Ps	Pa	Kj	Ps-Pa
	8	0,139	0,116	0,057	0,023
	2	0,271	0,228	0,107	0,042
	3	0,388	0,335	0,144	0,054
	7	0,526	0,471	0,170	0,055
	4	0,627	0,569	0,190	0,058
	9	0,752	0,697	0,203	0,055
	1	0,782	0,732	0,198	0,050
	5	0,890	0,862	0,157	0,028
	6	1,000	1,000	0,000	0,000

ROMANO	cat	Ps	Pa	Kj	Ps-Pa
	9	0,142	0,128	0,046	0,015
	5	0,285	0,258	0,087	0,027
	2	0,401	0,370	0,111	0,031
	3	0,511	0,477	0,131	0,034
	-1	0,552	0,511	0,149	0,040
	8	0,666	0,628	0,161	0,039
	7	0,797	0,764	0,161	0,033
	4	0,888	0,862	0,151	0,026
	6	1,000	1,000	0,000	0,000

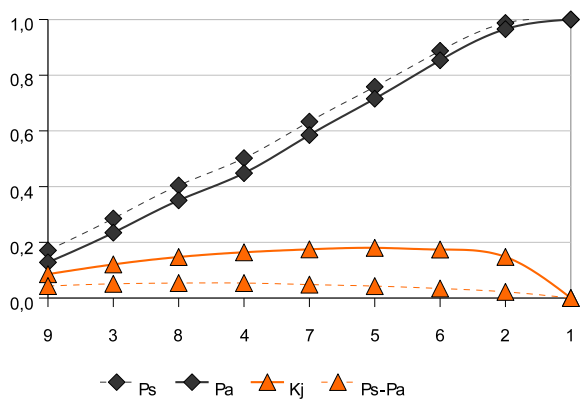
Neolítico



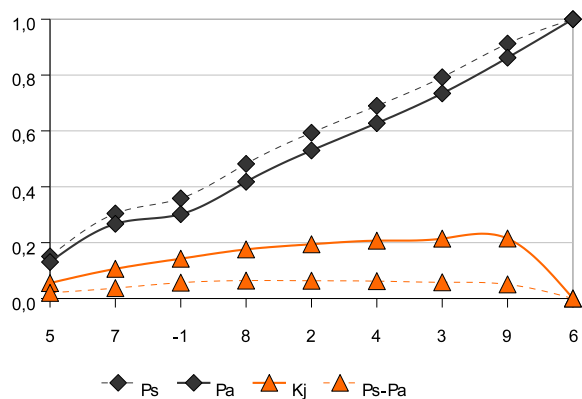
E del Cobre



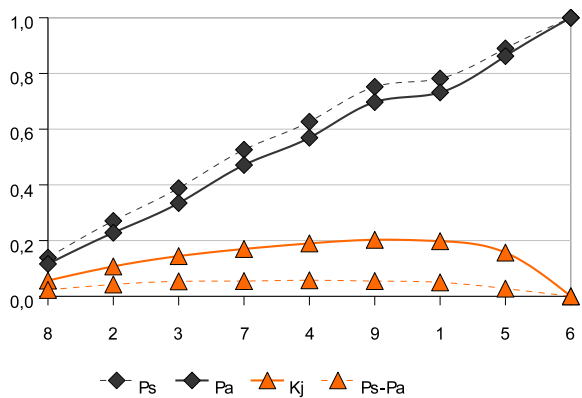
E del Bronce



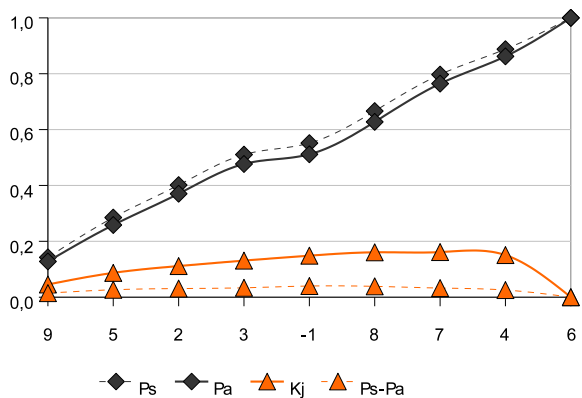
Bronce Final



E del Hierro



Romano



## Morfología

NEOLÍTICO	cat	Ps	Pa	Kj	Ps-Pa
	3	0,476	0,417	0,167	0,059
	6	0,624	0,512	0,264	0,112
	2	0,627	0,515	0,265	0,112
	4	0,642	0,540	0,256	0,102
	5	0,754	0,692	0,218	0,063
	1	1,000	1,000	0,000	0,000

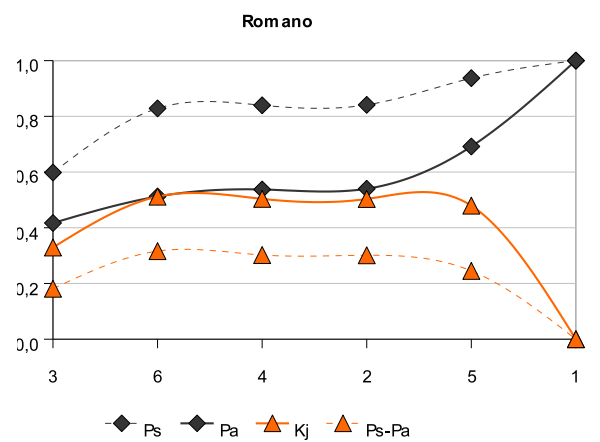
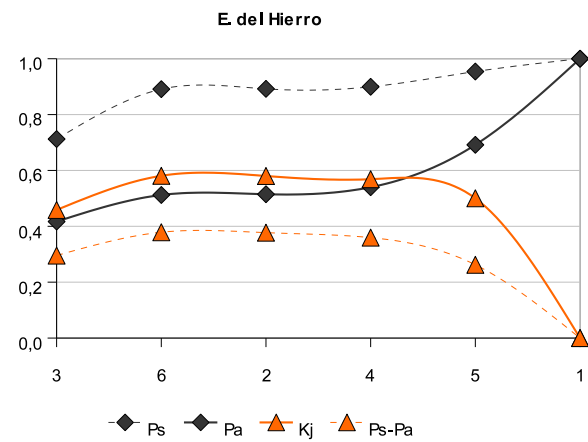
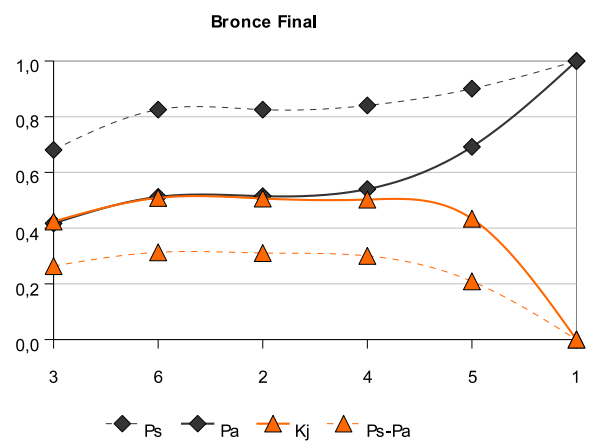
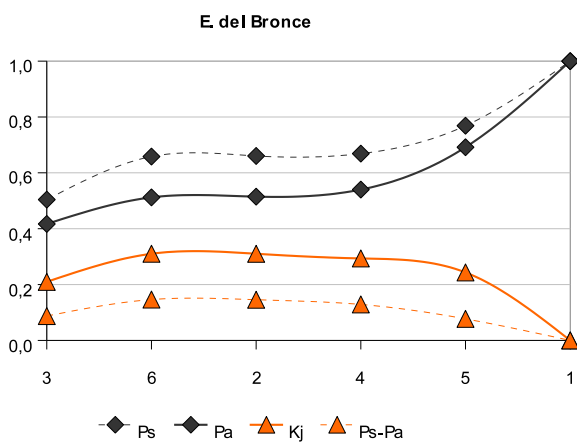
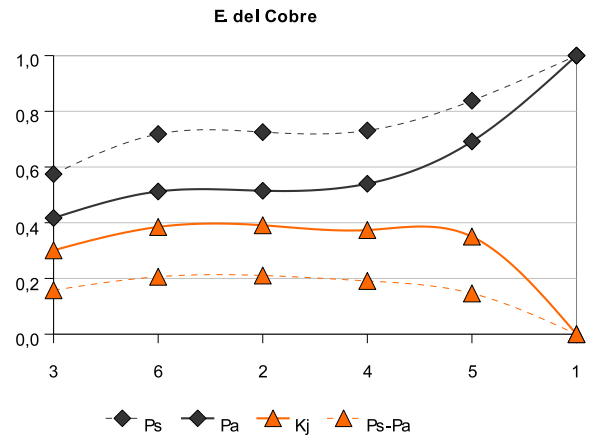
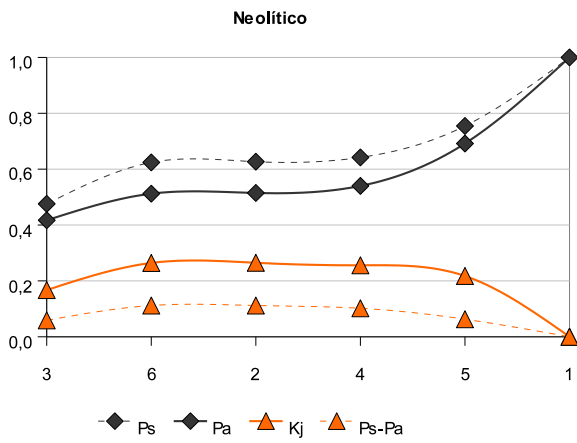
E. DEL COBRE	cat	Ps	Pa	Kj	Ps-Pa
	3	0,575	0,417	0,301	0,158
	6	0,718	0,512	0,385	0,206
	2	0,725	0,515	0,391	0,211
	4	0,731	0,540	0,374	0,191
	5	0,838	0,692	0,350	0,146
	1	1,000	1,000	0,000	0,000

E. DEL BRONCE	cat	Ps	Pa	Kj	Ps-Pa
	3	0,504	0,417	0,210	0,087
	6	0,658	0,512	0,310	0,146
	2	0,660	0,515	0,310	0,146
	4	0,669	0,540	0,293	0,129
	5	0,769	0,692	0,243	0,077
	1	1,000	1,000	0,000	0,000

BRONCE FINAL	cat	Ps	Pa	Kj	Ps-Pa
	3	0,681	0,417	0,424	0,264
	6	0,825	0,512	0,508	0,313
	2	0,825	0,515	0,506	0,311
	4	0,840	0,540	0,502	0,300
	5	0,901	0,692	0,434	0,209
	1	1,000	1,000	0,000	0,000

E. DEL HIERRO	cat	Ps	Pa	Kj	Ps-Pa
	3	0,712	0,417	0,459	0,295
	6	0,891	0,512	0,581	0,379
	2	0,892	0,515	0,580	0,377
	4	0,899	0,540	0,569	0,360
	5	0,954	0,692	0,500	0,262
	1	1,000	1,000	0,000	0,000

ROMANO	cat	Ps	Pa	Kj	Ps-Pa
	3	0,598	0,417	0,329	0,181
	6	0,828	0,512	0,512	0,316
	4	0,840	0,537	0,504	0,302
	2	0,841	0,540	0,503	0,301
	5	0,937	0,692	0,479	0,245
	1	1,000	1,000	0,000	0,000



Litología

NEOLÍTICO	cat	Ps	Pa	Kj	Ps-Pa
	3	0,864	0,678	0,401	0,186
	1	0,895	0,758	0,350	0,137
	2	1,000	1,000	0,000	0,000

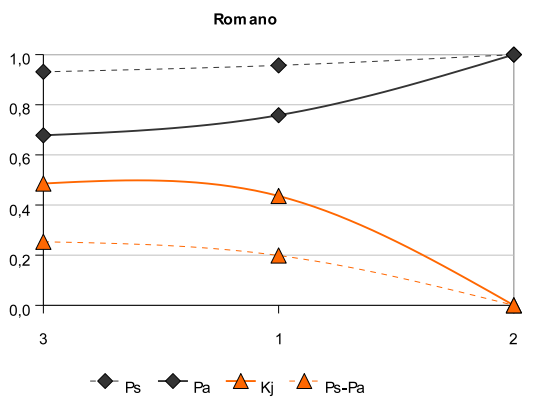
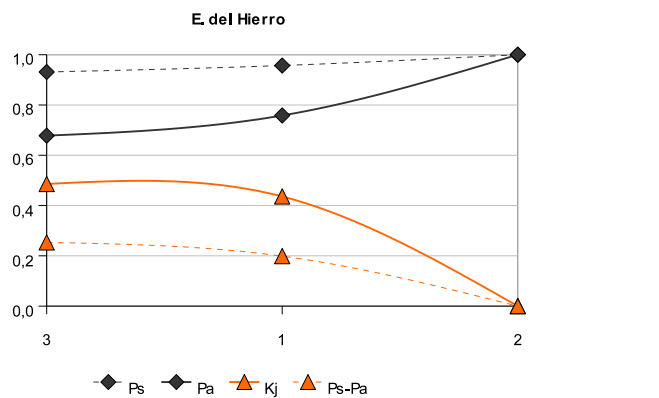
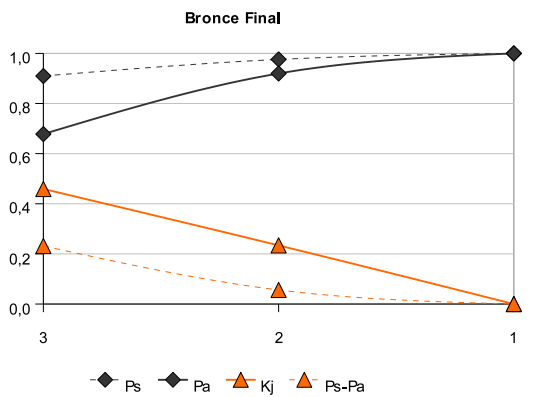
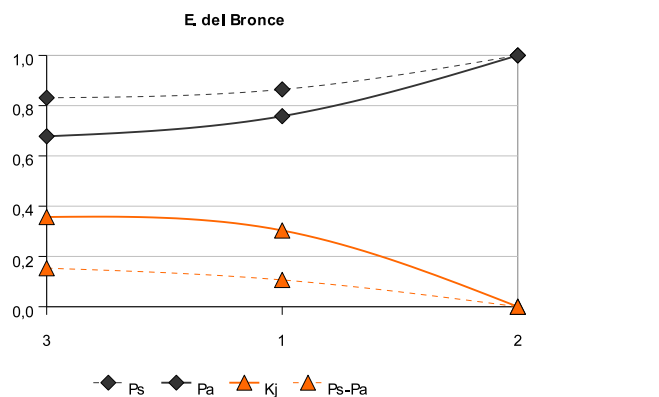
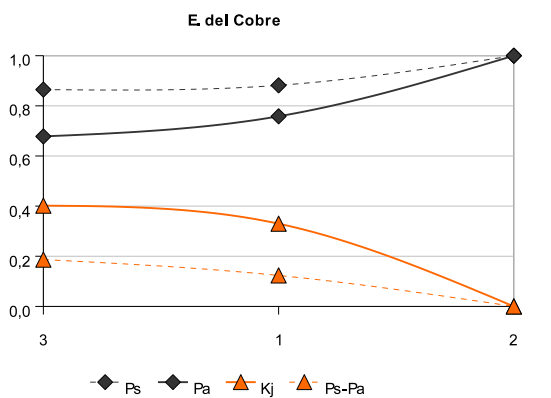
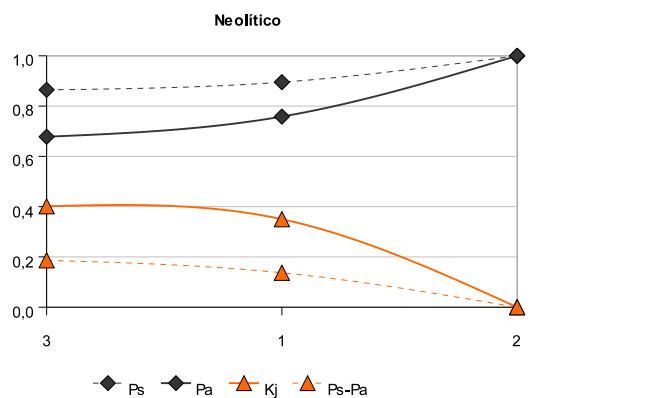
E. DEL BRONCE	cat	Ps	Pa	Kj	Ps-Pa
	3	0,831	0,678	0,357	0,153
	1	0,865	0,758	0,303	0,106
	2	1,000	1,000	0,000	0,000

E. DEL HIERRO	cat	Ps	Pa	Kj	Ps-Pa
	3	0,970	0,678	0,532	0,292
	1	0,976	0,758	0,462	0,218
	2	1,000	1,000	0,000	0,000

E DEL COBRE	cat	Ps	Pa	Kj	Ps-Pa
	3	0,865	0,678	0,402	0,187
	1	0,882	0,758	0,330	0,124
	2	1,000	1,000	0,000	0,000

BRONCE FINAL	cat	Ps	Pa	Kj	Ps-Pa
	3	0,910	0,678	0,459	0,232
	2	0,976	0,920	0,234	0,056
	1	1,000	1,000	0,000	0,000

ROMANO	cat	Ps	Pa	Kj	Ps-Pa
	3	0,931	0,678	0,486	0,253
	1	0,957	0,758	0,436	0,199
	2	1,000	1,000	0,000	0,000



## Vegetación potencial

NEOLÍTICO	cat	Ps	Pa	Kj	Ps-Pa
	5	0,522	0,456	0,185	0,066
	9	0,550	0,465	0,216	0,085
	4	0,668	0,578	0,244	0,089
	7	0,714	0,620	0,259	0,094
	3	0,767	0,672	0,270	0,095
	1	0,775	0,689	0,257	0,085
	8	0,775	0,704	0,235	0,071
	2	0,849	0,805	0,193	0,044
	6	1,000	1,000	0,000	0,000

E. DEL COBRE	cat	Ps	Pa	Kj	Ps-Pa
	6	0,232	0,195	0,094	0,038
	7	0,323	0,236	0,167	0,086
	3	0,411	0,288	0,225	0,123
	4	0,534	0,402	0,266	0,132
	9	0,545	0,411	0,271	0,134
	1	0,551	0,428	0,260	0,122
	5	0,942	0,884	0,234	0,058
	8	0,942	0,899	0,203	0,044
	2	1,000	1,000	0,000	0,000

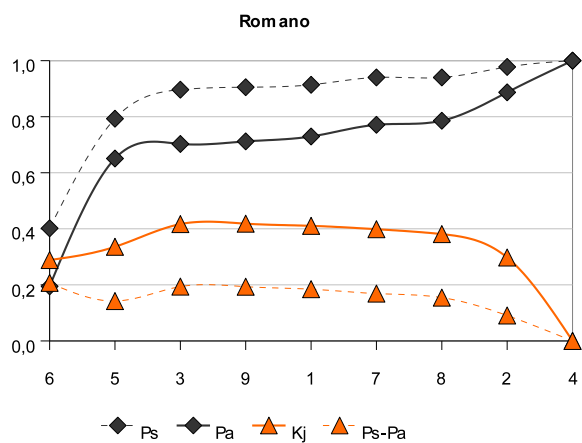
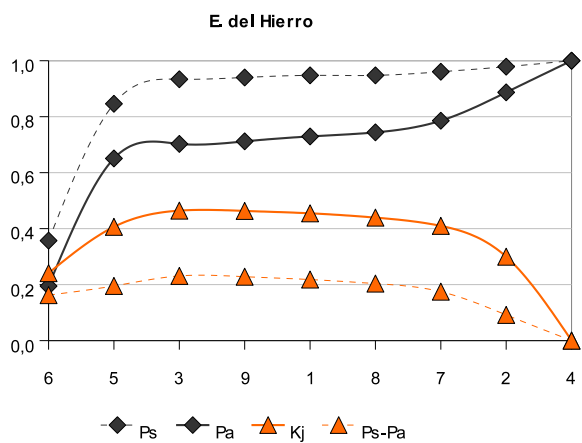
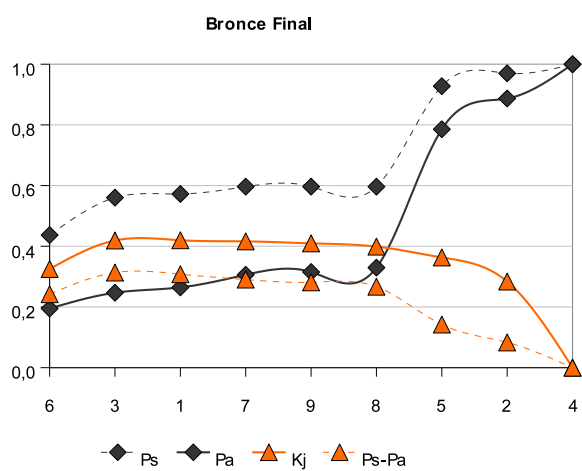
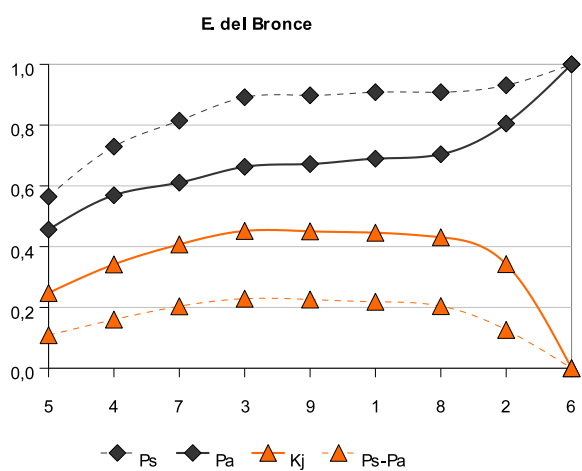
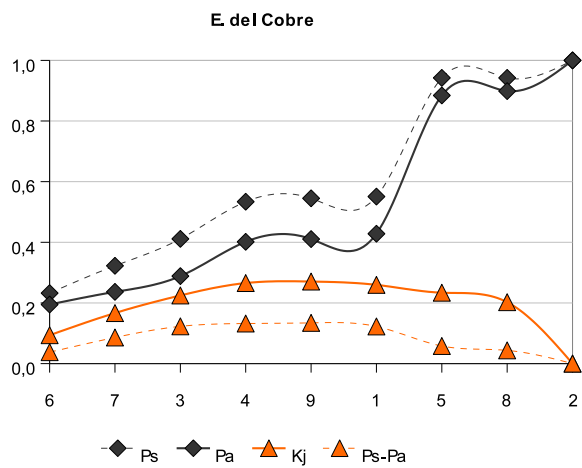
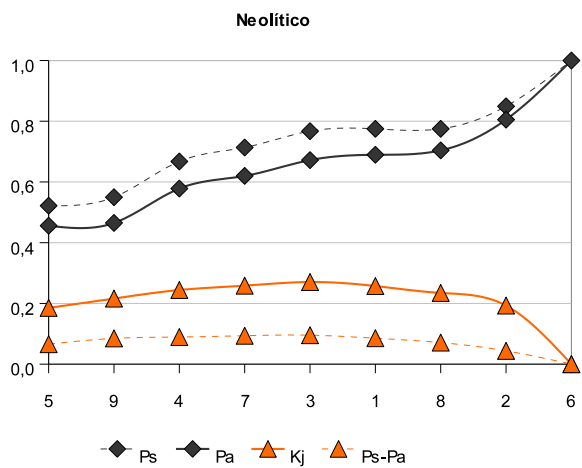
E. DEL BRONCE	cat	Ps	Pa	Kj	Ps-Pa
	5	0,565	0,456	0,248	0,109
	4	0,729	0,569	0,342	0,160
	7	0,815	0,611	0,407	0,204
	3	0,892	0,663	0,452	0,229
	9	0,898	0,672	0,450	0,226
	1	0,908	0,689	0,446	0,219
	8	0,908	0,704	0,431	0,204
	2	0,931	0,805	0,343	0,126
	6	1,000	1,000	0,000	0,000

BRONCE FINAL	cat	Ps	Pa	Kj	Ps-Pa
	6	0,437	0,195	0,325	0,242
	3	0,560	0,247	0,419	0,313
	1	0,572	0,264	0,420	0,308
	7	0,596	0,306	0,416	0,290
	9	0,596	0,315	0,410	0,281
	8	0,596	0,330	0,399	0,267
	5	0,928	0,786	0,363	0,142
	2	0,970	0,887	0,284	0,083
	4	1,000	1,000	0,000	0,000

E. DEL HIERRO	cat	Ps	Pa	Kj	Ps-Pa
	6	0,357	0,195	0,241	0,162
	5	0,846	0,651	0,406	0,195
	3	0,934	0,703	0,464	0,231
	9	0,940	0,712	0,463	0,228
	1	0,948	0,729	0,455	0,218
	8	0,948	0,744	0,439	0,204
	7	0,960	0,786	0,410	0,175
	2	0,979	0,887	0,300	0,092
	4	1,000	1,000	0,000	0,000

ROMANO	cat	Ps	Pa	Kj	Ps-Pa
	6	0,402	0,195	0,288	0,207
	5	0,793	0,651	0,336	0,142
	3	0,896	0,703	0,417	0,194
	9	0,905	0,712	0,418	0,193
	1	0,914	0,729	0,411	0,184
	7	0,940	0,771	0,398	0,169
	8	0,940	0,786	0,381	0,154
	2	0,977	0,887	0,298	0,091
	4	1,000	1,000	0,000	0,000





## Landform

NEOLÍTICO	cat	Ps	Pa	Kj	Ps-Pa
	1	0,217	0,081	0,172	0,136
	3	0,506	0,323	0,305	0,184
	2	0,639	0,463	0,336	0,177
	5	0,780	0,627	0,346	0,153
	6	0,811	0,687	0,317	0,124
	4	1,000	1,000	0,000	0,000

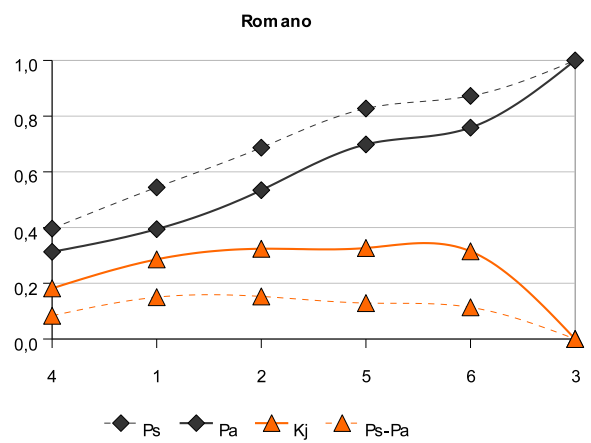
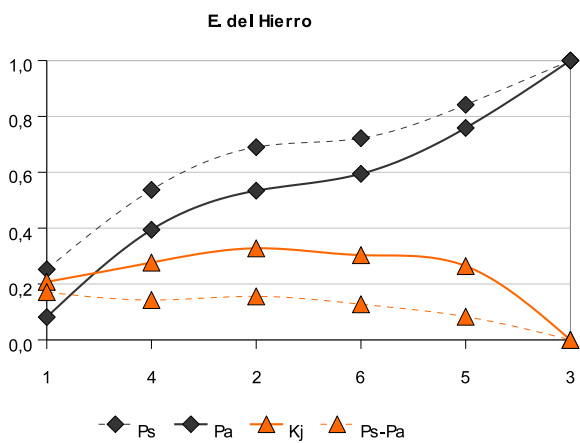
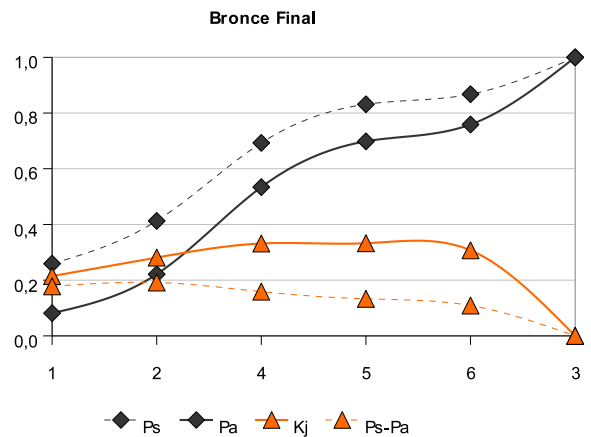
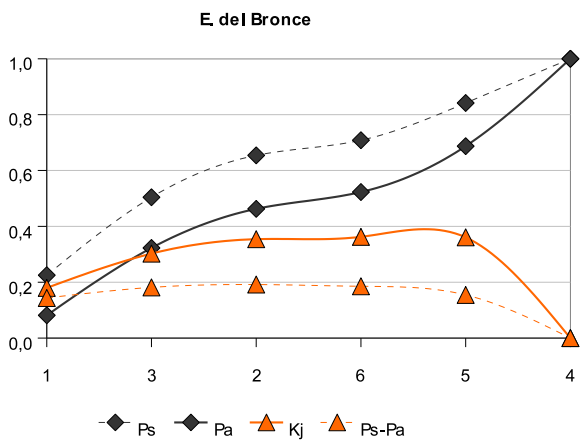
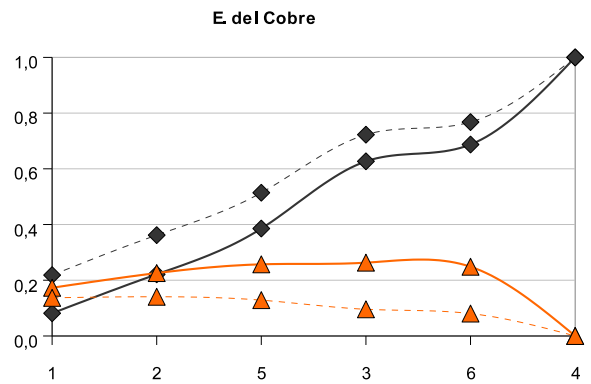
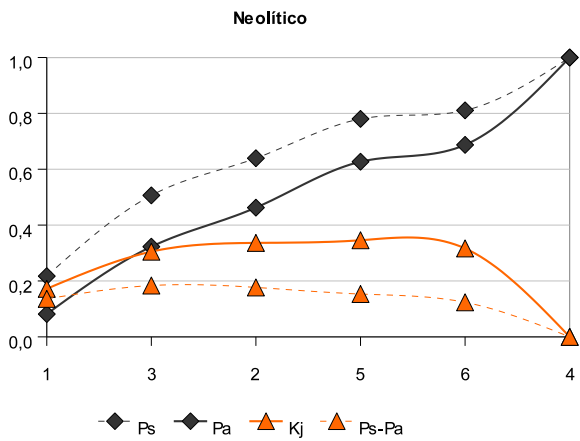
E. DEL COBRE	cat	Ps	Pa	Kj	Ps-Pa
	1	0,218	0,081	0,173	0,137
	2	0,362	0,221	0,226	0,141
	5	0,514	0,385	0,257	0,129
	3	0,723	0,627	0,263	0,096
	6	0,768	0,687	0,249	0,080
	4	1,000	1,000	0,000	0,000

E. DEL BRONCE	cat	Ps	Pa	Kj	Ps-Pa
	1	0,225	0,081	0,180	0,144
	3	0,504	0,323	0,302	0,181
	2	0,654	0,463	0,354	0,192
	6	0,708	0,523	0,362	0,185
	5	0,842	0,687	0,361	0,155
	4	1,000	1,000	0,000	0,000

BRONCE FINAL	cat	Ps	Pa	Kj	Ps-Pa
	1	0,259	0,081	0,214	0,178
	2	0,413	0,221	0,281	0,191
	4	0,693	0,534	0,332	0,159
	5	0,831	0,698	0,332	0,133
	6	0,867	0,759	0,307	0,109
	3	1,000	1,000	0,000	0,000

E. DEL HIERRO	cat	Ps	Pa	Kj	Ps-Pa
	1	0,252	0,081	0,208	0,171
	4	0,537	0,394	0,277	0,143
	2	0,690	0,534	0,328	0,156
	6	0,722	0,594	0,303	0,127
	5	0,842	0,759	0,264	0,083
	3	1,000	1,000	0,000	0,000

ROMANO	cat	Ps	Pa	Kj	Ps-Pa
	4	0,396	0,313	0,182	0,083
	1	0,544	0,394	0,286	0,150
	2	0,687	0,534	0,324	0,153
	5	0,827	0,698	0,327	0,129
	6	0,872	0,759	0,315	0,114
	3	1,000	1,000	0,000	0,000



## Aptitud agrícola del suelo

NEOLÍTICO	cat	Ps	Pa	Kj	Ps-Pa
	3	0,460	0,392	0,177	0,068
	0	0,483	0,399	0,202	0,085
	1	0,716	0,647	0,222	0,069
	2	1,000	1,000	0,000	0,000

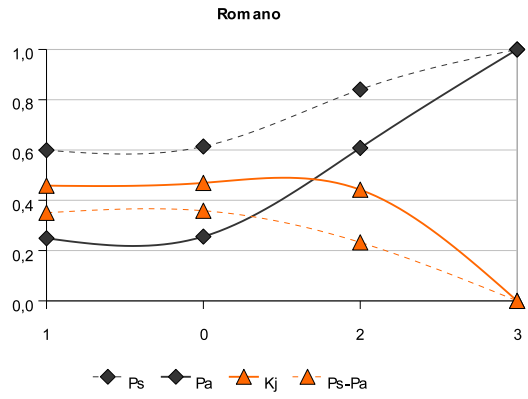
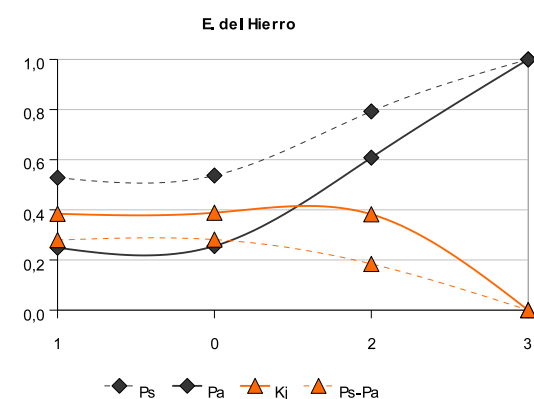
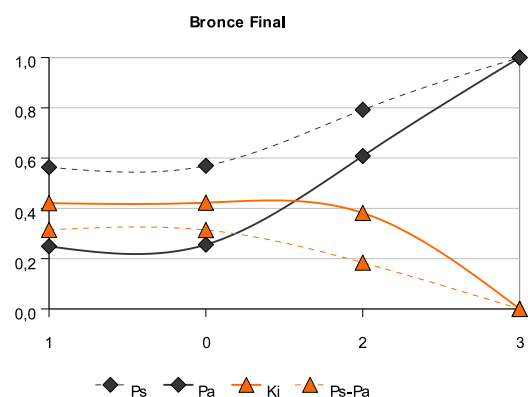
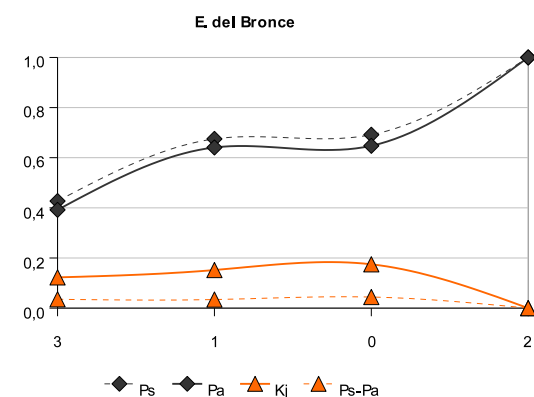
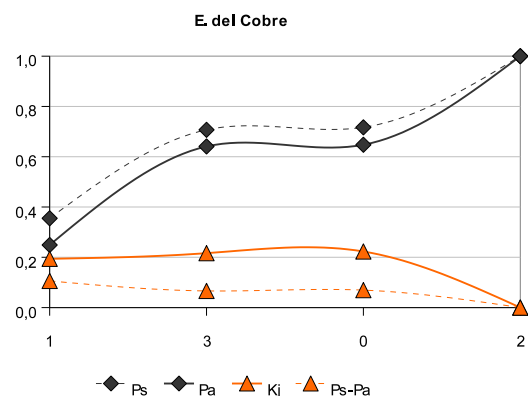
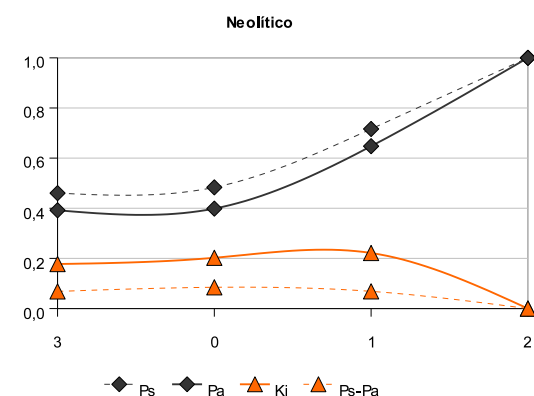
E DEL COBRE	cat	Ps	Pa	Kj	Ps-Pa
	1	0,355	0,249	0,194	0,106
	3	0,707	0,641	0,216	0,066
	0	0,717	0,647	0,223	0,069
	2	1,000	1,000	0,000	0,000

E DEL BRONCE	cat	Ps	Pa	Kj	Ps-Pa
	3	0,427	0,392	0,123	0,035
	1	0,675	0,641	0,152	0,034
	0	0,692	0,647	0,175	0,044
	2	1,000	1,000	0,000	0,000

BRONCE FINAL	cat	Ps	Pa	Kj	Ps-Pa
	1	0,563	0,249	0,421	0,314
	0	0,569	0,256	0,423	0,314
	2	0,792	0,608	0,382	0,184
	3	1,000	1,000	0,000	0,000

E DEL HIERRO	cat	Ps	Pa	Kj	Ps-Pa
	1	0,528	0,249	0,384	0,279
	0	0,537	0,256	0,389	0,281
	2	0,793	0,608	0,382	0,184
	3	1,000	1,000	0,000	0,000

ROMANO	cat	Ps	Pa	Kj	Ps-Pa
	1	0,599	0,249	0,458	0,350
	0	0,614	0,256	0,469	0,358
	2	0,841	0,608	0,442	0,233
	3	1,000	1,000	0,000	0,000



# ÁMBITO SUBREGIÓN 1. SIERRA MORENA

## Altitud absoluta

NEOLÍTICO	cat	Ps	Pa	Kj	Ps-Pa
	3	0,345	0,209	0,217	0,136
	5	0,621	0,430	0,344	0,191
	1	0,724	0,507	0,396	0,217
	2	0,828	0,695	0,331	0,132
	4	1,000	1,000	0,000	0,000

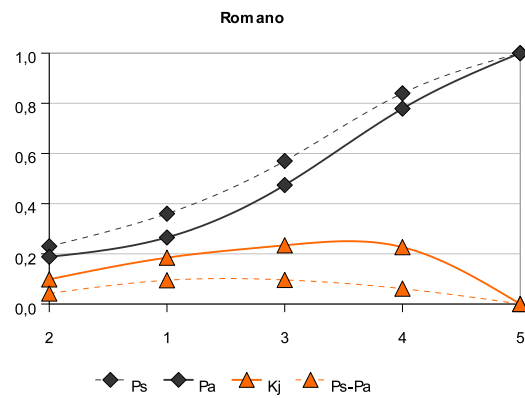
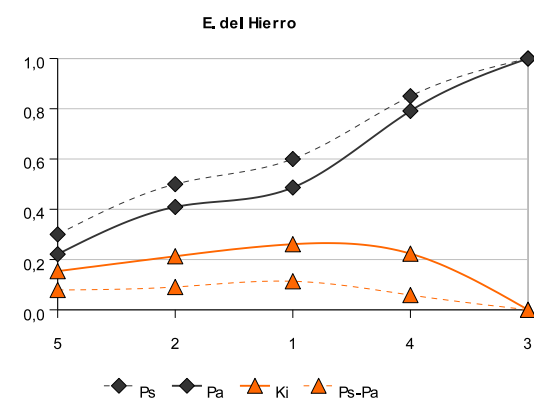
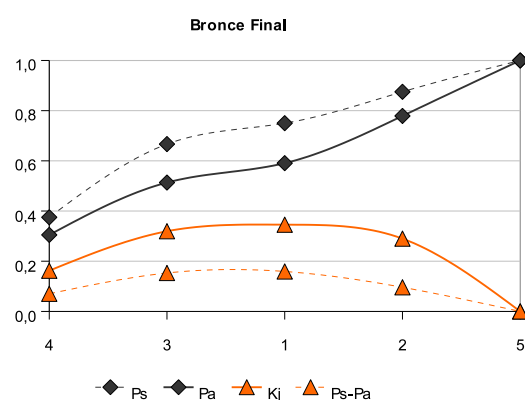
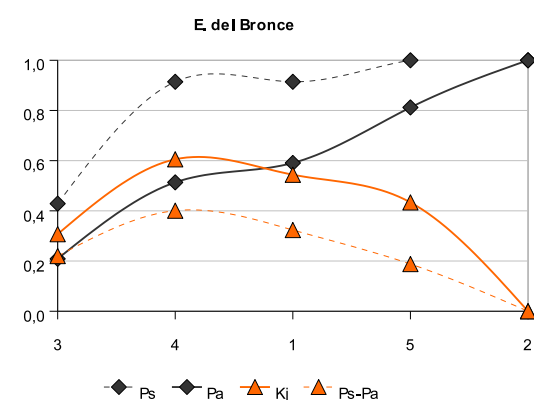
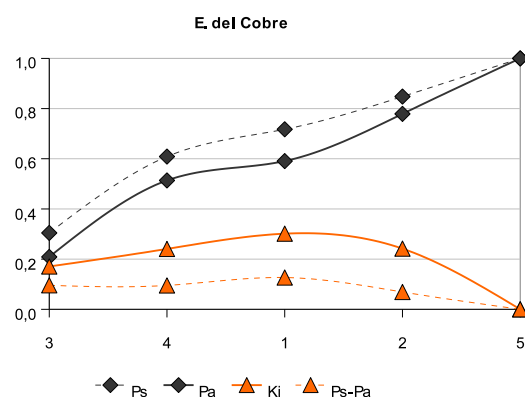
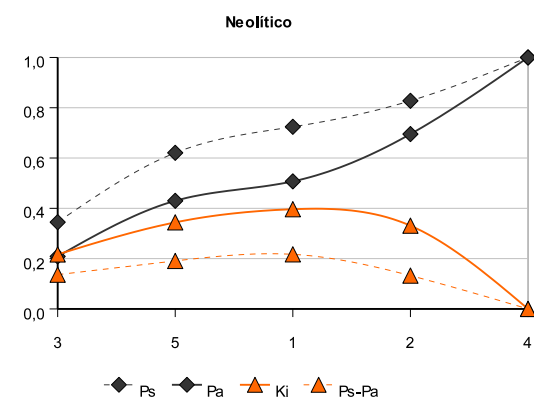
E. DEL BRONCE	cat	Ps	Pa	Kj	Ps-Pa
	3	0,429	0,209	0,307	0,220
	4	0,914	0,514	0,605	0,401
	1	0,914	0,591	0,544	0,324
	5	1,000	0,812	0,434	0,188
	2	1,000	1,000	0,000	0,000

E. DEL HIERRO	cat	Ps	Pa	Kj	Ps-Pa
	5	0,300	0,221	0,154	0,079
	2	0,500	0,409	0,213	0,091
	1	0,600	0,486	0,261	0,114
	4	0,850	0,791	0,223	0,059
	3	1,000	1,000	0,000	0,000

E. DEL COBRE	cat	Ps	Pa	Kj	Ps-Pa
	3	0,304	0,209	0,171	0,096
	4	0,609	0,514	0,241	0,095
	1	0,717	0,591	0,301	0,127
	2	0,848	0,779	0,242	0,069
	5	1,000	1,000	0,000	0,000

BRONCE FINAL	cat	Ps	Pa	Kj	Ps-Pa
	4	0,375	0,305	0,162	0,070
	3	0,667	0,514	0,320	0,153
	1	0,750	0,591	0,346	0,159
	2	0,875	0,779	0,290	0,096
	5	1,000	1,000	0,000	0,000

ROMANO	cat	Ps	Pa	Kj	Ps-Pa
	2	0,230	0,188	0,098	0,042
	1	0,360	0,265	0,185	0,095
	3	0,570	0,474	0,234	0,096
	4	0,840	0,779	0,227	0,061
	5	1,000	1,000	0,000	0,000



## Altitud relativa

NEOLÍTICO	cat	Ps	Pa	Kj	Ps-Pa
	5	0,552	0,064	0,519	0,488
	4	0,724	0,219	0,605	0,506
	1	0,828	0,444	0,564	0,384
	3	0,828	0,535	0,492	0,292
	2	1,000	1,000	0,000	0,000

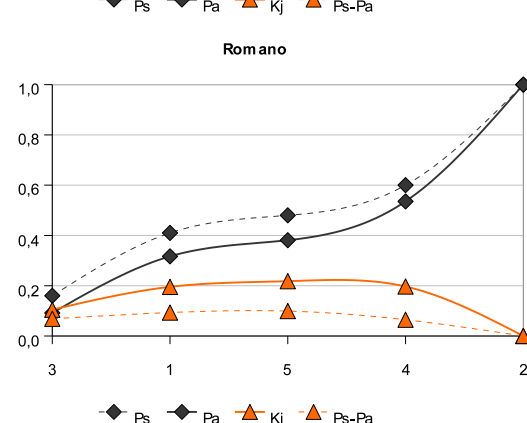
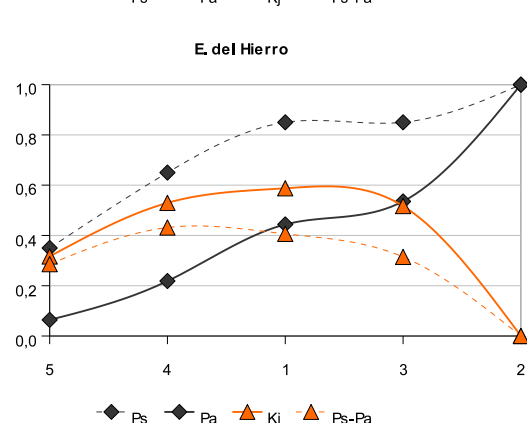
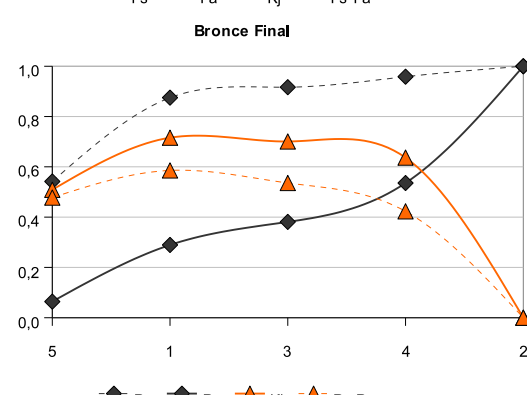
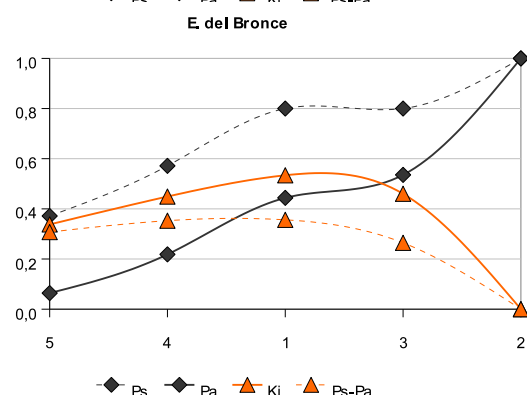
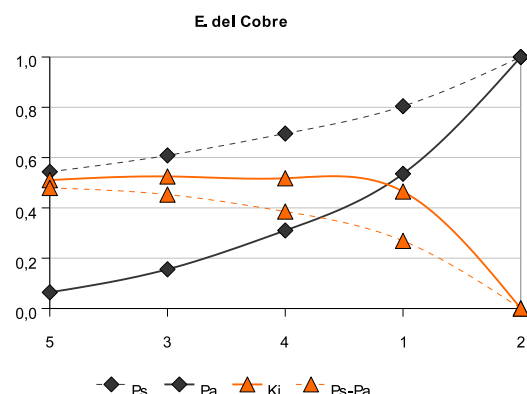
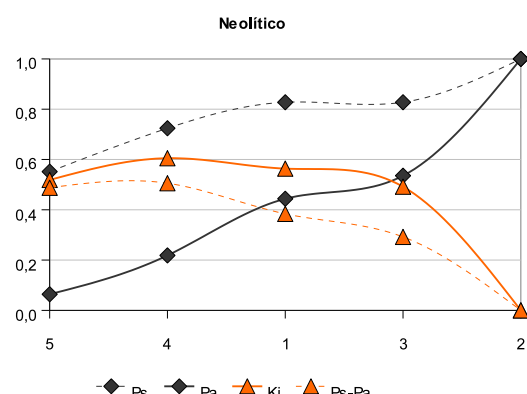
E. DEL BRONCE	cat	Ps	Pa	Kj	Ps-Pa
	5	0,371	0,064	0,338	0,307
	4	0,571	0,219	0,449	0,353
	1	0,800	0,444	0,534	0,356
	3	0,800	0,535	0,460	0,265
	2	1,000	1,000	0,000	0,000

E. DEL HIERRO	cat	Ps	Pa	Kj	Ps-Pa
	5	0,350	0,064	0,316	0,286
	4	0,650	0,219	0,530	0,431
	1	0,850	0,444	0,588	0,406
	3	0,850	0,535	0,517	0,315
	2	1,000	1,000	0,000	0,000

E. DEL COBRE	cat	Ps	Pa	Kj	Ps-Pa
	5	0,543	0,064	0,510	0,479
	3	0,609	0,156	0,525	0,453
	4	0,696	0,310	0,518	0,385
	1	0,804	0,535	0,465	0,269
	2	1,000	1,000	0,000	0,000

BRONCE FINAL	cat	Ps	Pa	Kj	Ps-Pa
	5	0,542	0,064	0,509	0,478
	1	0,875	0,289	0,716	0,586
	3	0,917	0,381	0,701	0,536
	4	0,958	0,535	0,637	0,423
	2	1,000	1,000	0,000	0,000

ROMANO	cat	Ps	Pa	Kj	Ps-Pa
	3	0,160	0,092	0,105	0,068
	1	0,410	0,317	0,195	0,093
	5	0,480	0,381	0,218	0,099
	4	0,600	0,535	0,197	0,065
	2	1,000	1,000	0,000	0,000



## Pendiente

NEOLÍTICO	cat	Ps	Pa	Kj	Ps-Pa
	1	0,621	0,585	0,150	0,036
	2	0,862	0,841	0,134	0,021
	3	1,000	1,000	0,000	0,000

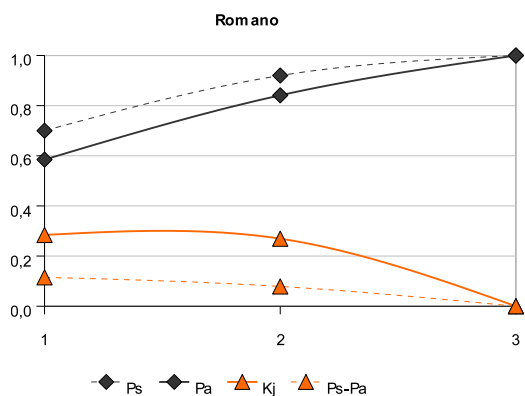
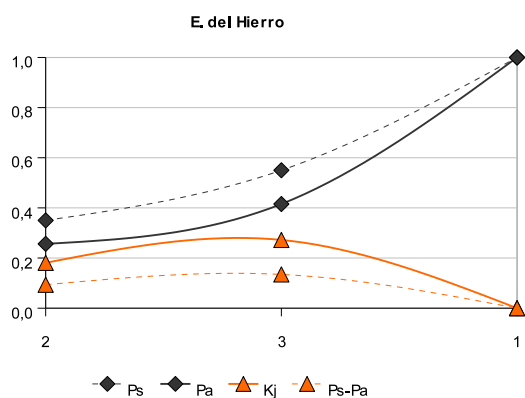
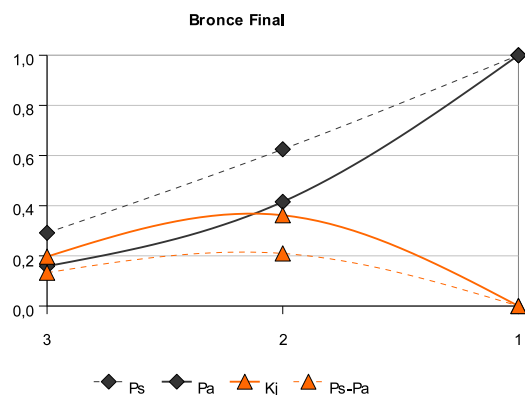
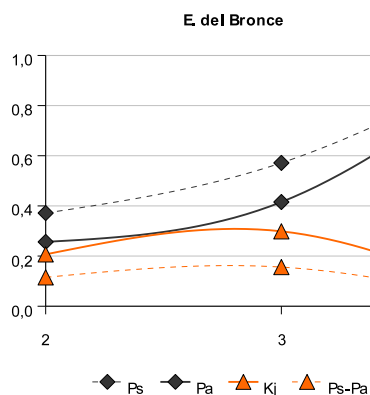
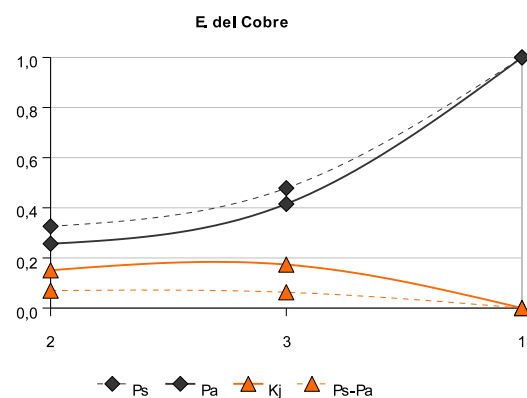
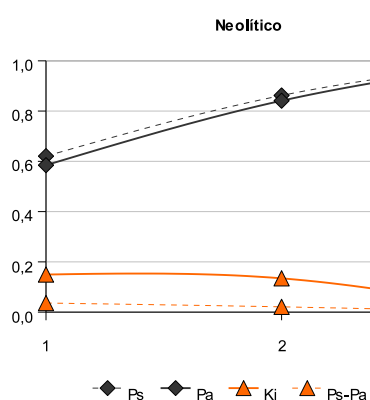
E DEL COBRE	cat	Ps	Pa	Kj	Ps-Pa
	2	0,326	0,256	0,151	0,070
	3	0,478	0,415	0,173	0,063
	1	1,000	1,000	0,000	0,000

E DEL BRONCE	cat	Ps	Pa	Kj	Ps-Pa
	2	0,371	0,256	0,207	0,115
	3	0,571	0,415	0,299	0,156
	1	1,000	1,000	0,000	0,000

BRONCE FINAL	cat	Ps	Pa	Kj	Ps-Pa
	3	0,292	0,159	0,197	0,133
	2	0,625	0,415	0,362	0,210
	1	1,000	1,000	0,000	0,000

E DEL HIERRO	cat	Ps	Pa	Kj	Ps-Pa
	2	0,350	0,256	0,181	0,094
	3	0,550	0,415	0,272	0,135
	1	1,000	1,000	0,000	0,000

ROMANO	cat	Ps	Pa	Kj	Ps-Pa
	1	0,700	0,585	0,284	0,115
	2	0,920	0,841	0,269	0,079
	3	1,000	1,000	0,000	0,000



## Distancia a red hidrográfica

NEOLÍTICO	cat	Ps	Pa	Kj	Ps-Pa
	4	0,172	0,059	0,140	0,114
	2	0,448	0,352	0,208	0,096
	3	0,552	0,486	0,191	0,066
	1	1,000	1,000	0,000	0,000

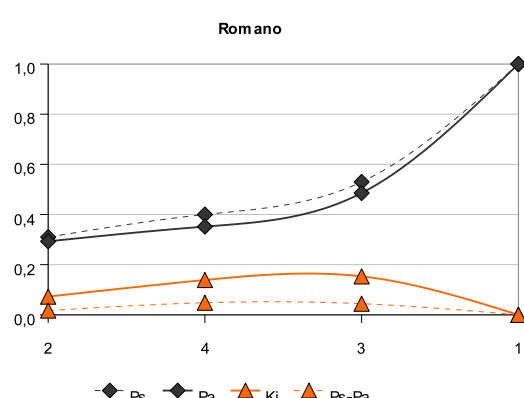
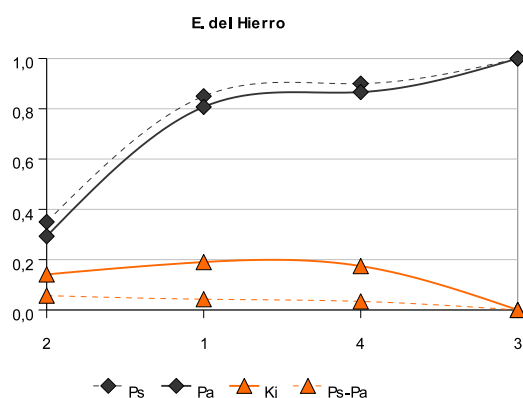
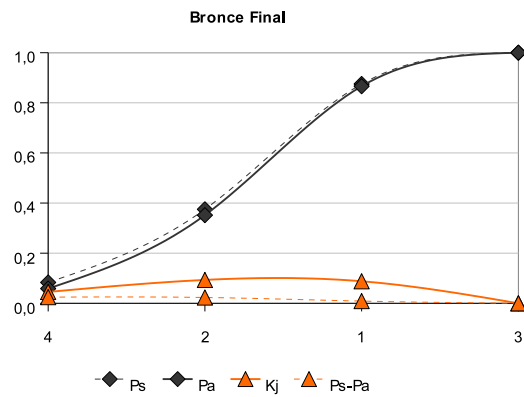
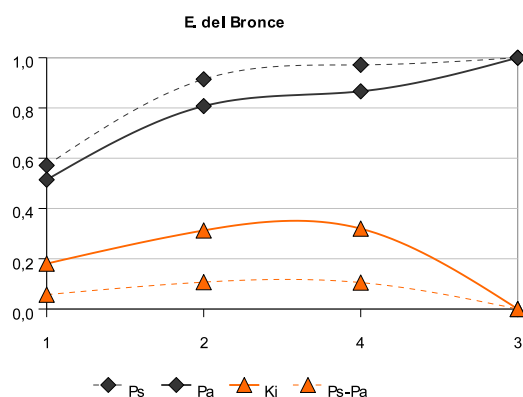
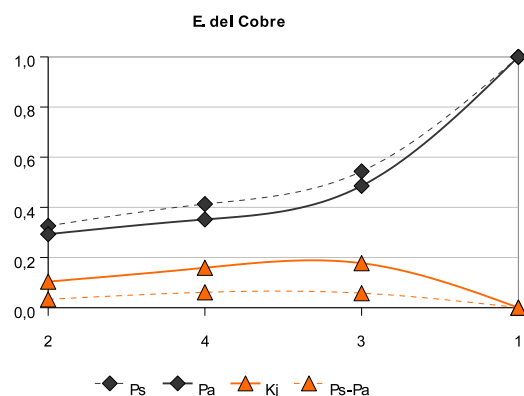
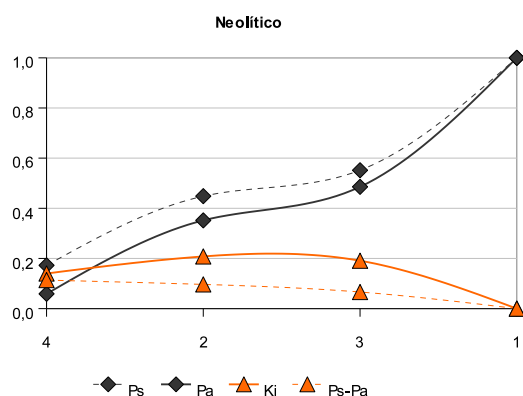
E. DEL BRONCE	cat	Ps	Pa	Kj	Ps-Pa
	1	0,571	0,514	0,181	0,057
	2	0,914	0,807	0,313	0,107
	4	0,971	0,866	0,320	0,105
	3	1,000	1,000	0,000	0,000

E. DEL HIERRO	cat	Ps	Pa	Kj	Ps-Pa
	2	0,350	0,293	0,141	0,057
	1	0,850	0,807	0,190	0,043
	4	0,900	0,866	0,175	0,034
	3	1,000	1,000	0,000	0,000

E. DEL COBRE	cat	Ps	Pa	Kj	Ps-Pa
	2	0,326	0,293	0,104	0,033
	4	0,413	0,352	0,159	0,061
	3	0,543	0,486	0,177	0,058
	1	1,000	1,000	0,000	0,000

BRONCE FINAL	cat	Ps	Pa	Kj	Ps-Pa
	4	0,083	0,059	0,045	0,025
	2	0,375	0,352	0,093	0,023
	1	0,875	0,866	0,088	0,009
	3	1,000	1,000	0,000	0,000

ROMANO	cat	Ps	Pa	Kj	Ps-Pa
	2	0,310	0,293	0,073	0,017
	4	0,400	0,352	0,139	0,048
	3	0,530	0,486	0,153	0,044
	1	1,000	1,000	0,000	0,000





## Orientación

NEOLÍTICO	cat	Ps	Pa	Kj	Ps-Pa
	6	0,207	0,154	0,105	0,053
	7	0,414	0,311	0,206	0,103
	3	0,586	0,434	0,298	0,152
	8	0,724	0,543	0,362	0,181
	4	0,828	0,641	0,393	0,187
	2	0,931	0,752	0,408	0,179
	-1	0,931	0,774	0,382	0,157
	9	1,000	0,880	0,347	0,120
	5	1,000	1,000	0,000	0,000

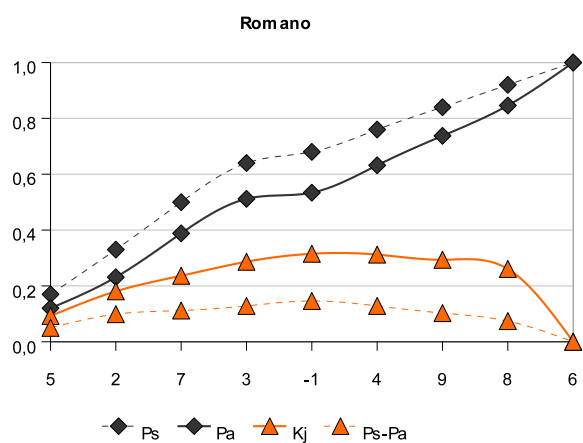
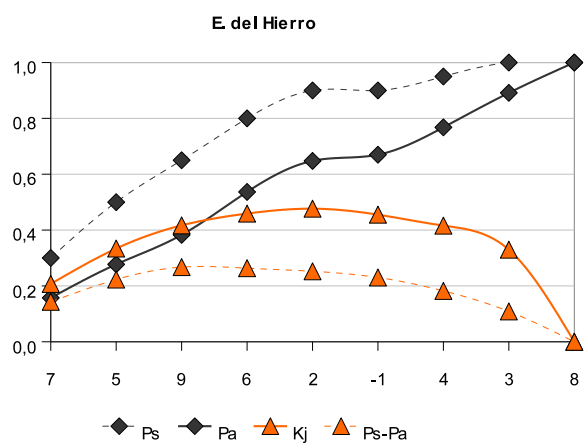
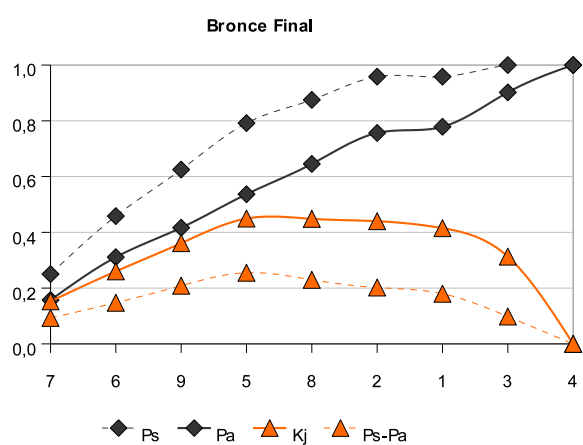
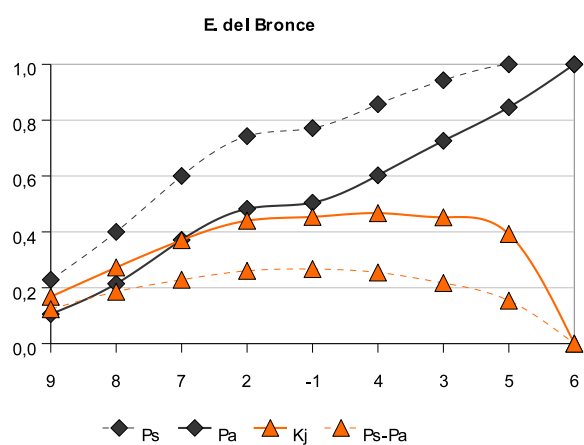
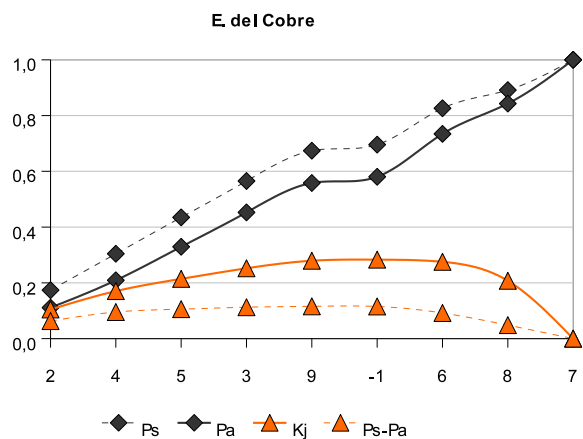
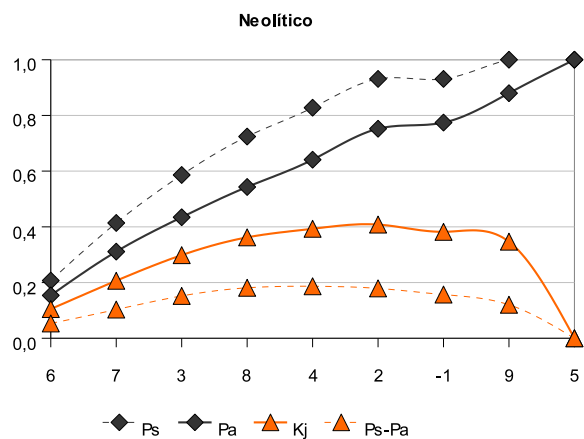
E. DEL COBRE	cat	Ps	Pa	Kj	Ps-Pa
	2	0,174	0,111	0,105	0,063
	4	0,304	0,209	0,170	0,095
	5	0,435	0,329	0,214	0,106
	3	0,565	0,453	0,252	0,113
	9	0,674	0,558	0,279	0,116
	-1	0,696	0,580	0,283	0,115
	6	0,826	0,734	0,275	0,092
	8	0,891	0,843	0,207	0,048
	7	1,000	1,000	0,000	0,000

E. DEL BRONCE	cat	Ps	Pa	Kj	Ps-Pa
	9	0,229	0,106	0,168	0,123
	8	0,400	0,214	0,273	0,186
	7	0,600	0,371	0,370	0,229
	2	0,743	0,482	0,440	0,261
	-1	0,771	0,505	0,454	0,267
	4	0,857	0,603	0,467	0,255
	3	0,943	0,726	0,452	0,217
	5	1,000	0,846	0,392	0,154
	6	1,000	1,000	0,000	0,000

BRONCE FINAL	cat	Ps	Pa	Kj	Ps-Pa
	7	0,250	0,157	0,152	0,093
	6	0,458	0,311	0,260	0,147
	9	0,625	0,416	0,361	0,209
	5	0,792	0,537	0,449	0,255
	8	0,875	0,645	0,448	0,230
	2	0,958	0,756	0,440	0,202
	1	0,958	0,779	0,415	0,180
	3	1,000	0,902	0,313	0,098
	4	1,000	1,000	0,000	0,000

E. DEL HIERRO	cat	Ps	Pa	Kj	Ps-Pa
	7	0,300	0,157	0,207	0,143
	5	0,500	0,277	0,334	0,223
	9	0,650	0,383	0,417	0,267
	6	0,800	0,537	0,459	0,263
	2	0,900	0,648	0,477	0,252
	-1	0,900	0,670	0,455	0,230
	4	0,950	0,768	0,416	0,182
	3	1,000	0,891	0,330	0,109
	8	1,000	1,000	0,000	0,000

ROMANO	cat	Ps	Pa	Kj	Ps-Pa
	5	0,170	0,120	0,092	0,050
	2	0,330	0,231	0,181	0,099
	7	0,500	0,388	0,236	0,112
	3	0,640	0,512	0,287	0,128
	-1	0,680	0,534	0,315	0,146
	4	0,760	0,632	0,312	0,128
	9	0,840	0,737	0,294	0,103
	8	0,920	0,846	0,261	0,074
	6	1,000	1,000	0,000	0,000



## Morfología

NEOLÍTICO	cat	Ps	Pa	Kj	Ps-Pa
	1	0,759	0,502	0,441	0,256
	4	0,759	0,503	0,441	0,256
	6	0,759	0,513	0,431	0,245
	5	0,931	0,788	0,365	0,143
	3	1,000	1,000	0,017	0,000

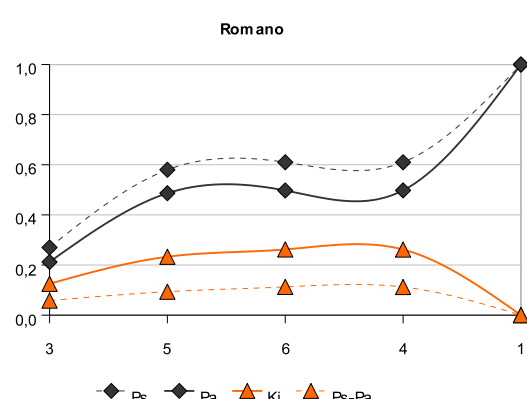
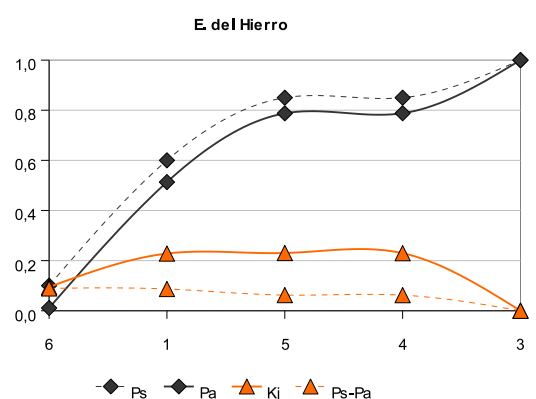
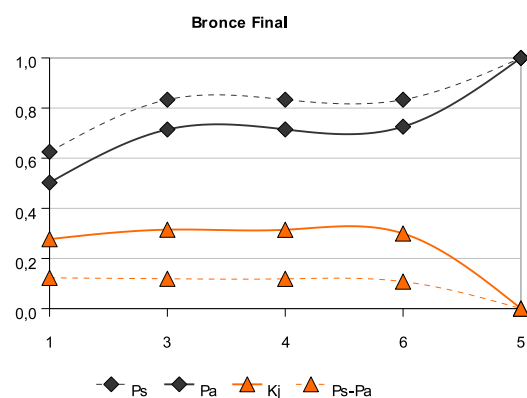
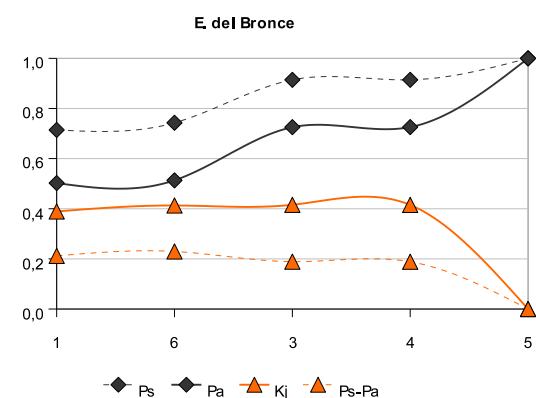
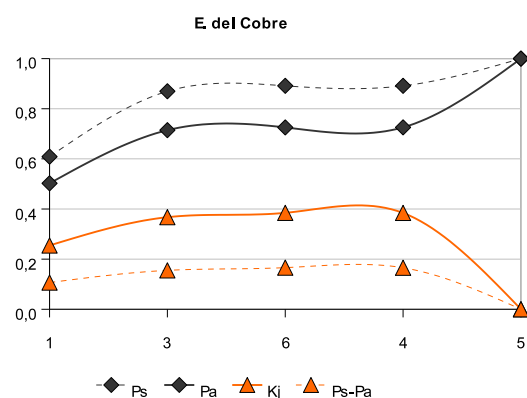
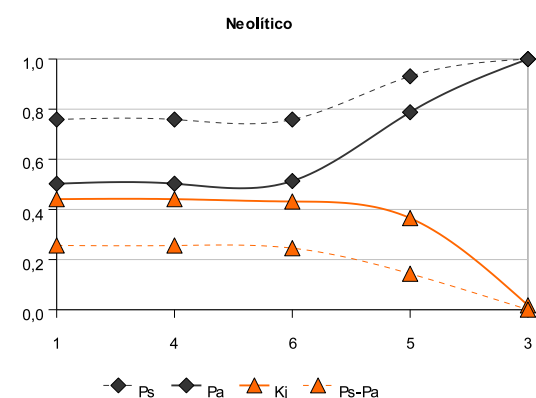
E. DEL BRONCE	cat	Ps	Pa	Kj	Ps-Pa
	1	0,714	0,502	0,389	0,212
	6	0,743	0,513	0,413	0,230
	3	0,914	0,725	0,416	0,189
	4	0,914	0,726	0,415	0,189
	5	1,000	1,000	0,000	0,000

E. DEL HIERRO	cat	Ps	Pa	Kj	Ps-Pa
	6	0,100	0,011	0,094	0,089
	1	0,600	0,513	0,228	0,087
	5	0,850	0,788	0,230	0,062
	4	0,850	0,788	0,230	0,062
	3	1,000	1,000	0,000	0,000

E. DEL COBRE	cat	Ps	Pa	Kj	Ps-Pa
	1	0,609	0,502	0,254	0,106
	3	0,870	0,714	0,367	0,155
	6	0,891	0,725	0,385	0,166
	4	0,891	0,726	0,384	0,166
	5	1,000	1,000	0,000	0,000

BRONCE FINAL	cat	Ps	Pa	Kj	Ps-Pa
	1	0,625	0,502	0,277	0,123
	3	0,833	0,714	0,315	0,119
	4	0,833	0,715	0,314	0,119
	6	0,833	0,726	0,300	0,108
	5	1,000	1,000	0,000	0,000

ROMANO	cat	Ps	Pa	Kj	Ps-Pa
	3	0,270	0,212	0,125	0,058
	5	0,580	0,486	0,233	0,094
	6	0,610	0,497	0,262	0,113
	4	0,610	0,498	0,262	0,112
	1	1,000	1,000	0,000	0,000



Litología

NEOLÍTICO	cat	Ps	Pa	Kj	Ps-Pa
	3	0,138	0,088	0,083	0,049
	1	0,448	0,388	0,165	0,060
	2	1,000	1,000	0,000	0,000

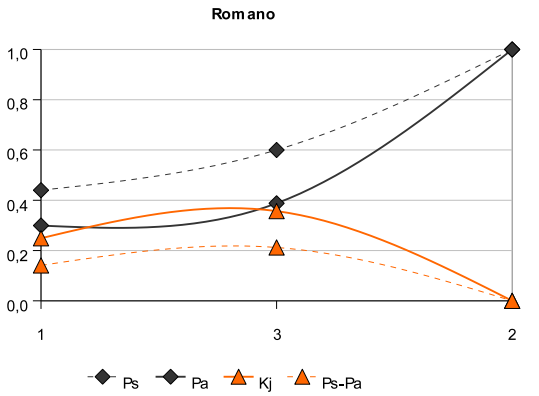
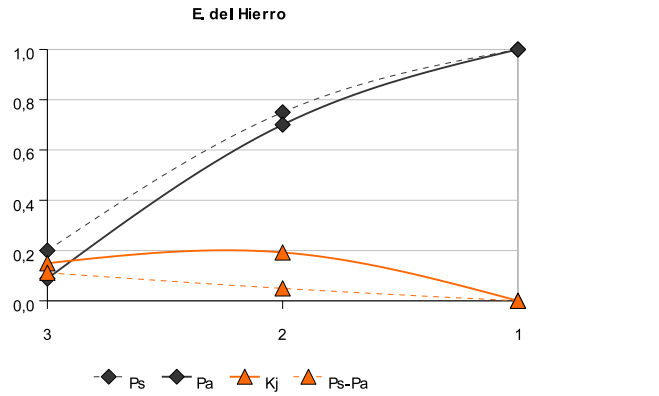
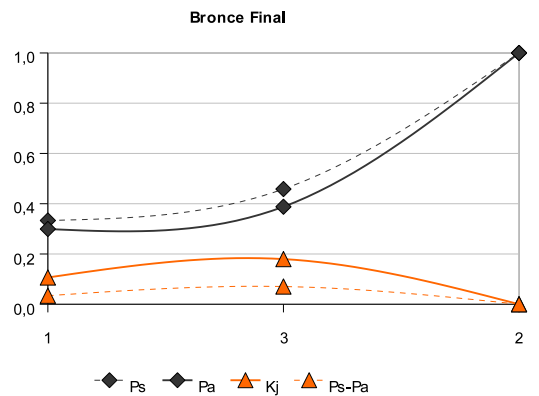
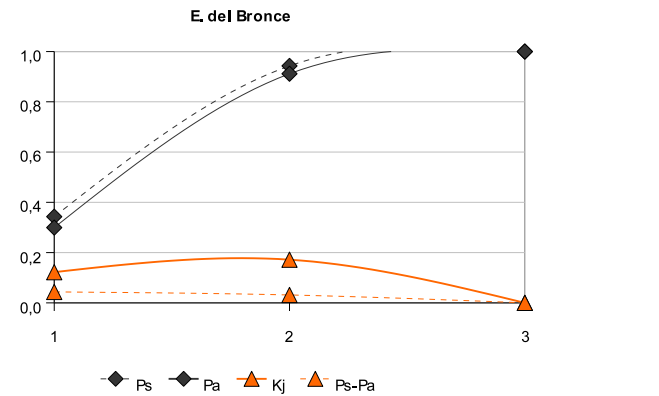
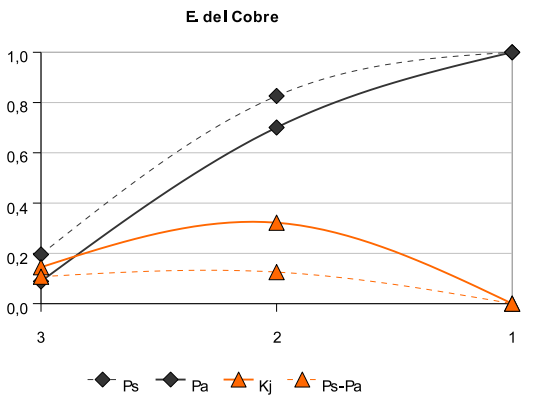
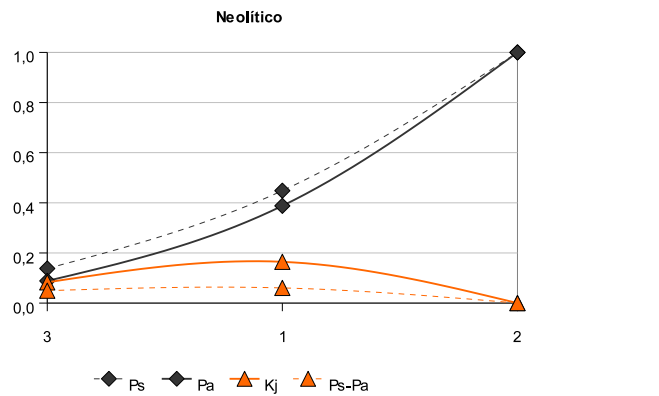
E. DEL BRONCE	cat	Ps	Pa	Kj	Ps-Pa
	1	0,343	0,299	0,122	0,043
	2	0,943	0,912	0,172	0,031
	3	1,000	1,000	0,000	0,000

E. DEL HIERRO	cat	Ps	Pa	Kj	Ps-Pa
	3	0,200	0,088	0,149	0,112
	2	0,750	0,701	0,192	0,049
	1	1,000	1,000	0,000	0,000

E DEL COBRE	cat	Ps	Pa	Kj	Ps-Pa
	3	0,196	0,088	0,145	0,107
	2	0,826	0,701	0,322	0,125
	1	1,000	1,000	0,000	0,000

BRONCE FINAL	cat	Ps	Pa	Kj	Ps-Pa
	1	0,333	0,299	0,106	0,034
	3	0,458	0,388	0,180	0,070
	2	1,000	1,000	0,000	0,000

ROMANO	cat	Ps	Pa	Kj	Ps-Pa
	1	0,440	0,299	0,249	0,141
	3	0,600	0,388	0,357	0,212
	2	1,000	1,000	0,000	0,000



## Vegetación potencial

NEOLÍTICO	cat	Ps	Pa	Kj	Ps-Pa
	2	0,483	0,122	0,418	0,361
	6	0,621	0,268	0,468	0,353
	3	0,621	0,268	0,468	0,352
	4	0,621	0,269	0,467	0,352
	5	1,000	1,000	0,000	0,000

E. DEL BRONCE	cat	Ps	Pa	Kj	Ps-Pa
	5	0,886	0,731	0,370	0,155
	2	1,000	0,853	0,384	0,147
	3	1,000	0,853	0,383	0,147
	4	1,000	0,854	0,383	0,146
	6	1,000	1,000	0,000	0,000

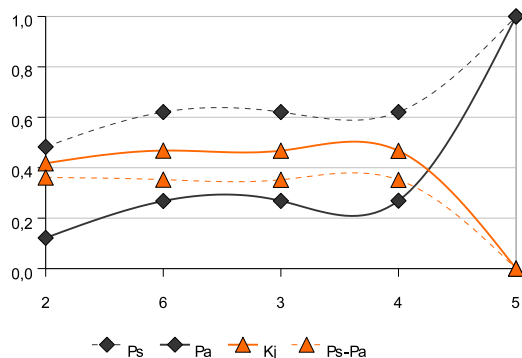
E. DEL HIERRO	cat	Ps	Pa	Kj	Ps-Pa
	5	0,750	0,731	0,119	0,019
	2	0,900	0,853	0,207	0,047
	3	0,900	0,853	0,206	0,047
	4	0,900	0,854	0,204	0,046
	6	1,000	1,000	0,000	0,000

E. DEL COBRE	cat	Ps	Pa	Kj	Ps-Pa
	2	0,457	0,122	0,391	0,335
	6	0,565	0,268	0,410	0,297
	3	0,565	0,268	0,410	0,297
	4	0,565	0,269	0,409	0,296
	5	1,000	1,000	0,000	0,000

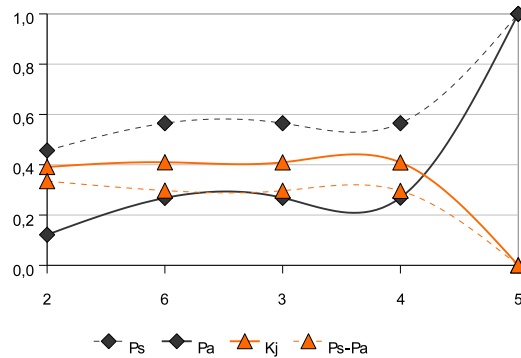
BRONCE FINAL	cat	Ps	Pa	Kj	Ps-Pa
	2	0,250	0,122	0,179	0,128
	6	0,375	0,268	0,200	0,107
	3	0,375	0,268	0,200	0,107
	4	0,375	0,269	0,199	0,106
	5	1,000	1,000	0,000	0,000

ROMANO	cat	Ps	Pa	Kj	Ps-Pa
	2	0,150	0,122	0,065	0,028
	6	0,320	0,268	0,129	0,052
	3	0,320	0,268	0,128	0,052
	4	0,320	0,269	0,128	0,051
	5	1,000	1,000	0,000	0,000

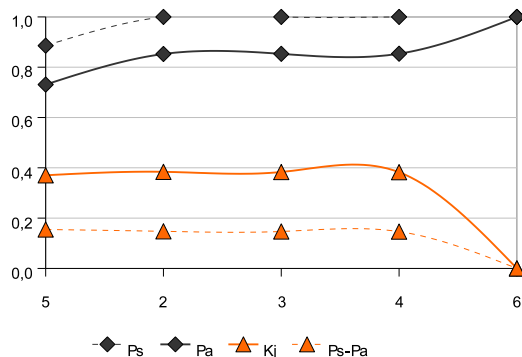
Neolítico



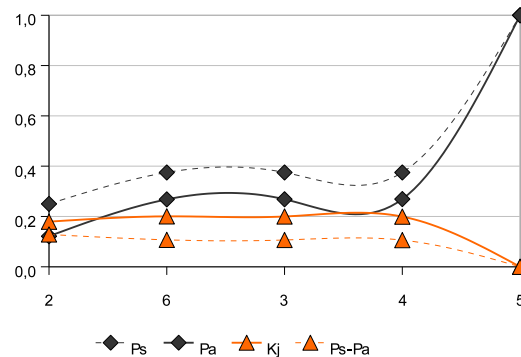
E. del Cobre



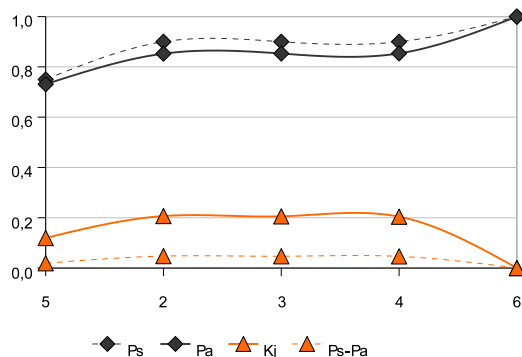
E. del Bronce



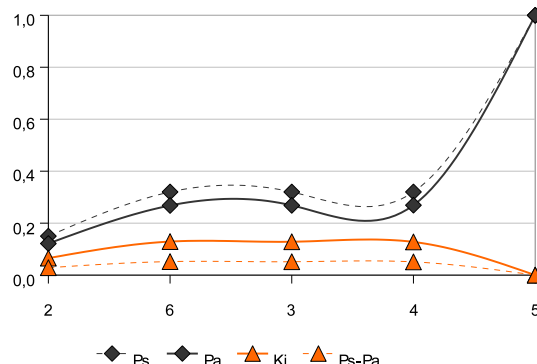
Bronce Final



E. del Hierro



Romano



## Landform

NEOLÍTICO	cat	Ps	Pa	Kj	Ps-Pa
	1	0,517	0,095	0,467	0,422
	2	0,655	0,253	0,514	0,403
	3	0,828	0,478	0,538	0,349
	6	0,862	0,558	0,512	0,304
	5	0,931	0,726	0,437	0,205
	4	1,000	1,000	0,000	0,000

E. DEL COBRE	cat	Ps	Pa	Kj	Ps-Pa
	1	0,478	0,095	0,428	0,383
	3	0,696	0,321	0,511	0,375
	5	0,826	0,489	0,528	0,337
	2	0,935	0,646	0,519	0,289
	6	0,978	0,726	0,497	0,252
	4	1,000	1,000	0,000	0,000

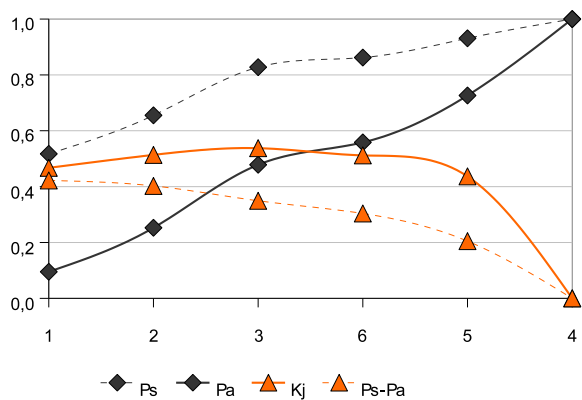
E. DEL BRONCE	cat	Ps	Pa	Kj	Ps-Pa
	1	0,343	0,095	0,291	0,248
	2	0,514	0,253	0,367	0,262
	3	0,714	0,478	0,411	0,236
	6	0,800	0,558	0,440	0,242
	5	0,943	0,726	0,452	0,217
	4	1,000	1,000	0,000	0,000

BRONCE FINAL	cat	Ps	Pa	Kj	Ps-Pa
	1	0,417	0,095	0,366	0,322
	5	0,625	0,263	0,476	0,362
	3	0,833	0,489	0,536	0,345
	6	0,917	0,569	0,565	0,348
	2	0,958	0,726	0,472	0,232
	4	1,000	1,000	0,000	0,000

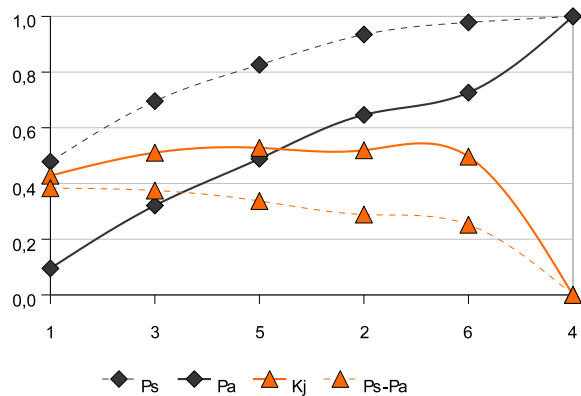
E. DEL HIERRO	cat	Ps	Pa	Kj	Ps-Pa
	1	0,450	0,095	0,400	0,355
	3	0,750	0,321	0,567	0,429
	6	0,800	0,401	0,565	0,399
	5	0,900	0,569	0,546	0,331
	4	1,000	0,843	0,397	0,157
	2	1,000	1,000	0,000	0,000

ROMANO	cat	Ps	Pa	Kj	Ps-Pa
	5	0,260	0,168	0,155	0,092
	4	0,560	0,442	0,257	0,118
	1	0,670	0,537	0,299	0,133
	6	0,760	0,617	0,330	0,143
	2	0,870	0,774	0,289	0,096
	3	1,000	1,000	0,000	0,000

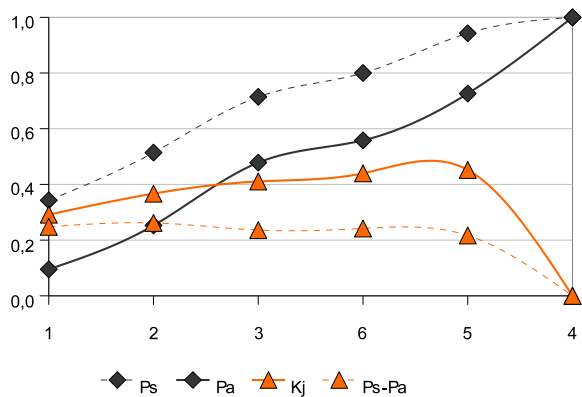
Neolítico



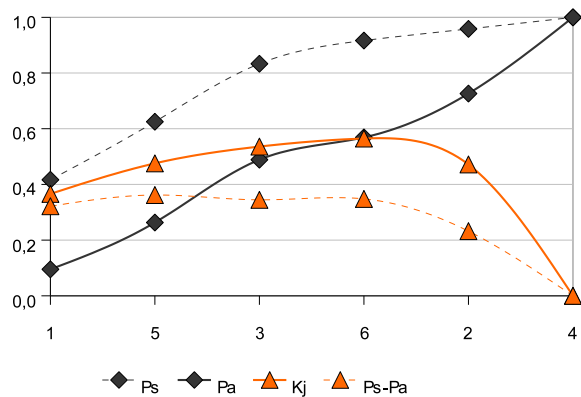
E. del Cobre



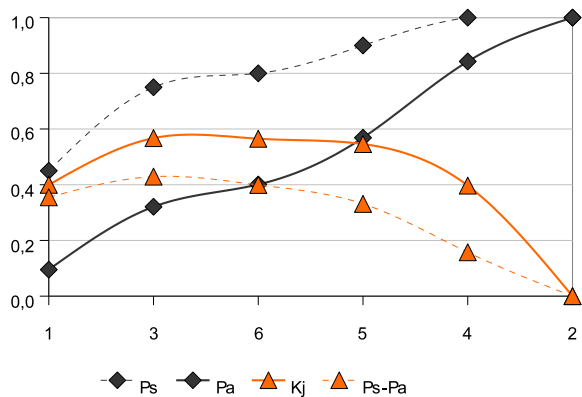
E. del Bronce



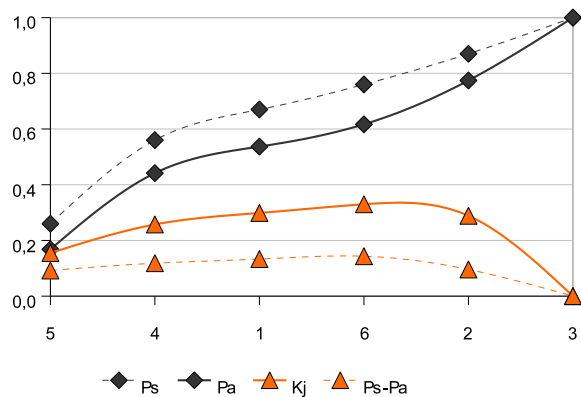
Bronce Final



E. del Hierro



Romano



## Aptitud agrícola del suelo

NEOLÍTICO	cat	Ps	Pa	Kj	Ps-Pa
	3	0,655	0,531	0,285	0,124
	0	0,690	0,541	0,321	0,149
	1	0,690	0,550	0,311	0,140
	2	1,000	1,000	0,000	0,000

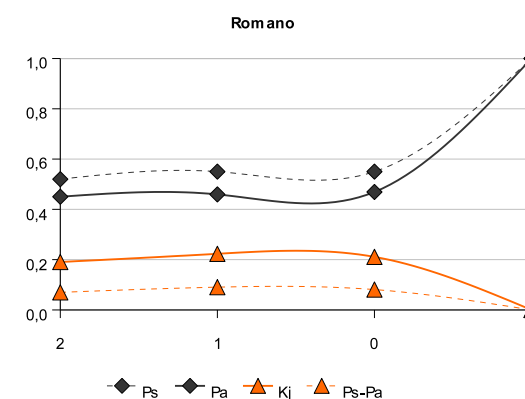
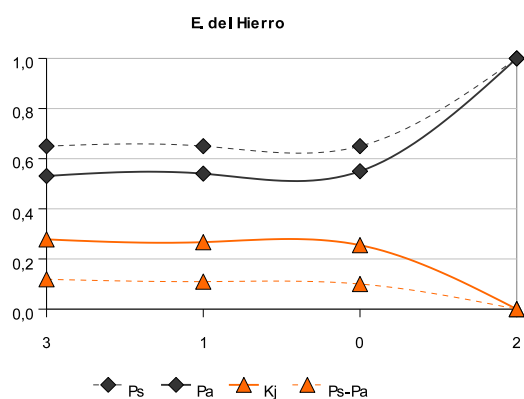
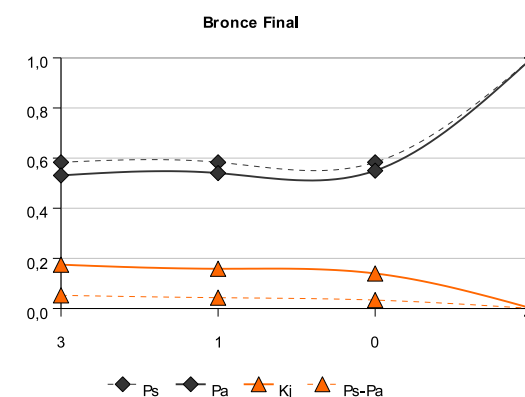
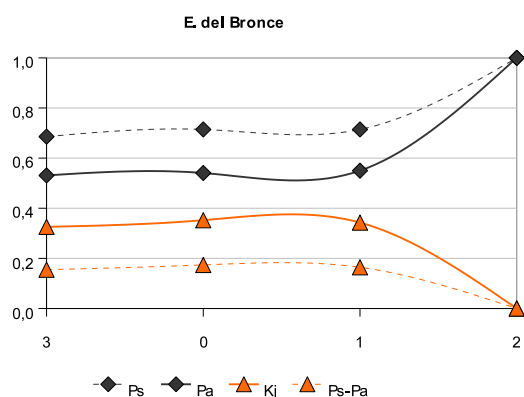
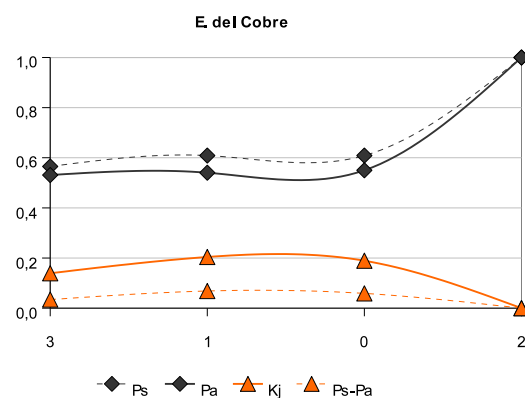
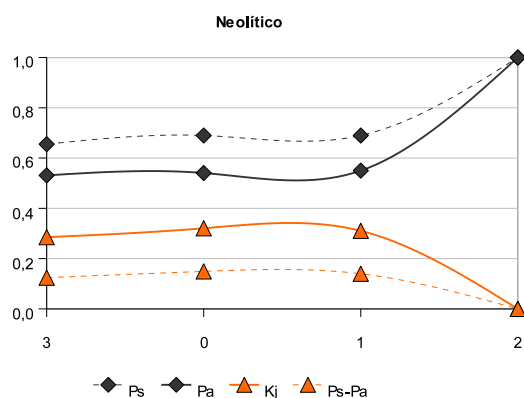
E. DEL BRONCE	cat	Ps	Pa	Kj	Ps-Pa
	3	0,686	0,531	0,326	0,155
	0	0,714	0,541	0,352	0,174
	1	0,714	0,550	0,343	0,164
	2	1,000	1,000	0,000	0,000

E. DEL HIERRO	cat	Ps	Pa	Kj	Ps-Pa
	3	0,650	0,531	0,278	0,119
	1	0,650	0,540	0,267	0,110
	0	0,650	0,550	0,255	0,100
	2	1,000	1,000	0,000	0,000

E. DEL COBRE	cat	Ps	Pa	Kj	Ps-Pa
	3	0,565	0,531	0,139	0,034
	1	0,609	0,540	0,204	0,068
	0	0,609	0,550	0,189	0,059
	2	1,000	1,000	0,000	0,000

BRONCE FINAL	cat	Ps	Pa	Kj	Ps-Pa
	3	0,583	0,531	0,175	0,052
	1	0,583	0,540	0,159	0,043
	0	0,583	0,550	0,140	0,033
	2	1,000	1,000	0,000	0,000

ROMANO	cat	Ps	Pa	Kj	Ps-Pa
	2	0,520	0,450	0,191	0,070
	1	0,550	0,459	0,223	0,091
	0	0,550	0,469	0,211	0,081
	3	1,000	1,000	0,000	0,000





# ÁMBITO SUBREGIÓN 2. VALLE DEL GUADALQUIVIR

## Altitud absoluta

NEOLÍTICO	cat	Ps	Pa	Kj	Ps-Pa
	3	0,094	0,043	0,069	0,051
	1	0,797	0,763	0,165	0,034
	4	0,797	0,763	0,164	0,034
	2	1,000	1,000	0,000	0,000

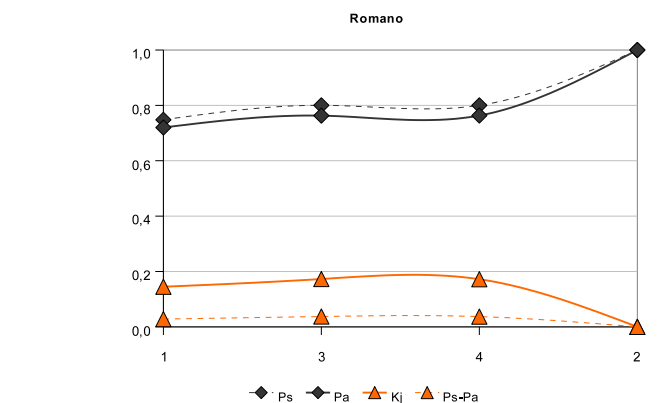
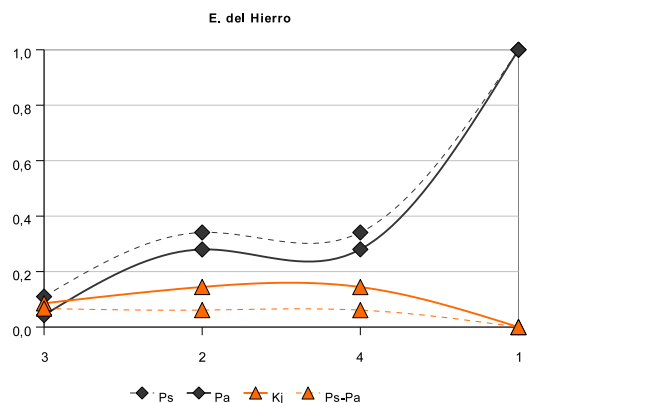
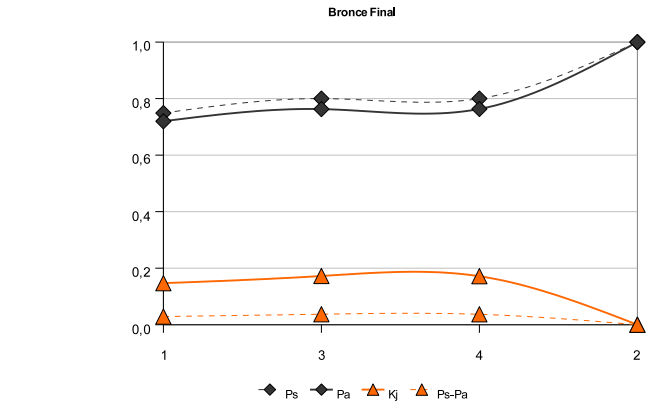
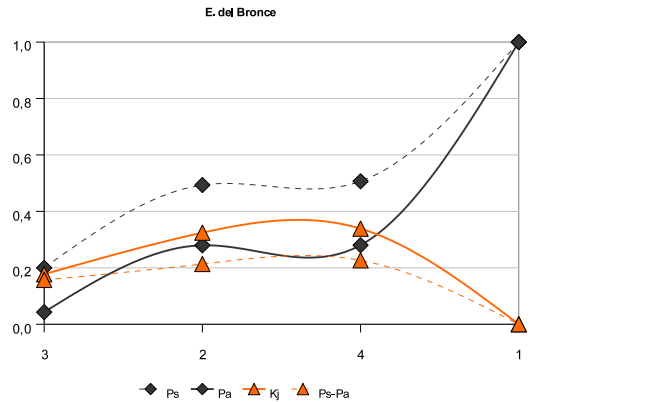
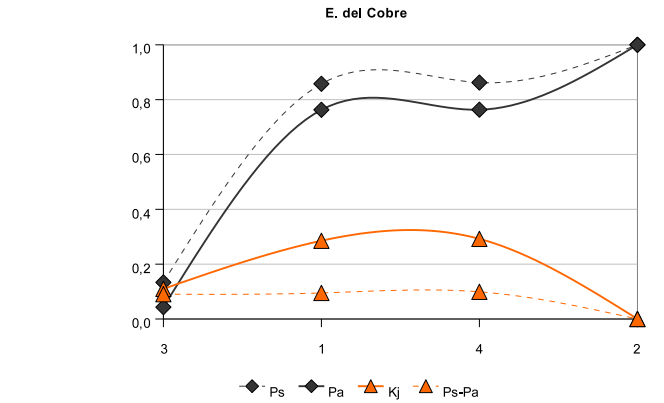
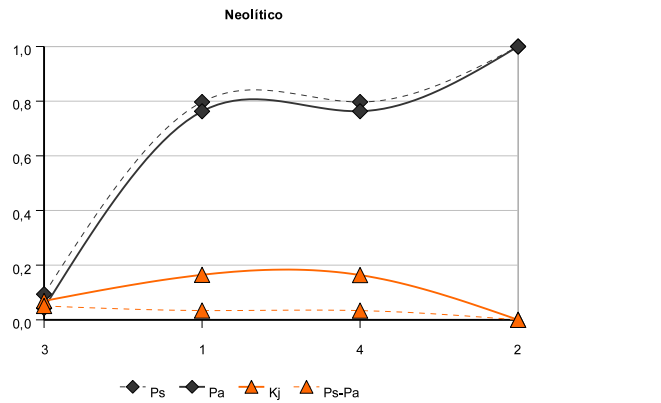
E. DEL COBRE	cat	Ps	Pa	Kj	Ps-Pa
	3	0,133	0,043	0,110	0,090
	1	0,858	0,763	0,285	0,095
	4	0,862	0,763	0,292	0,099
	2	1,000	1,000	0,000	0,000

E. DEL BRONCE	cat	Ps	Pa	Kj	Ps-Pa
	3	0,200	0,043	0,177	0,157
	2	0,493	0,280	0,325	0,213
	4	0,507	0,280	0,339	0,227
	1	1,000	1,000	0,000	0,000

BRONCE FINAL	cat	Ps	Pa	Kj	Ps-Pa
	1	0,749	0,720	0,147	0,029
	3	0,800	0,763	0,172	0,037
	4	0,800	0,763	0,172	0,037
	2	1,000	1,000	0,000	0,000

E. DEL HIERRO	cat	Ps	Pa	Kj	Ps-Pa
	3	0,110	0,043	0,086	0,067
	2	0,341	0,280	0,145	0,061
	4	0,341	0,280	0,144	0,061
	1	1,000	1,000	0,000	0,000

ROMANO	cat	Ps	Pa	Kj	Ps-Pa
	1	0,748	0,720	0,145	0,028
	3	0,800	0,763	0,173	0,037
	4	0,800	0,763	0,172	0,037
	2	1,000	1,000	0,000	0,000



## Altitud relativa

NEOLÍTICO	cat	Ps	Pa	Kj	Ps-Pa
	4	0,250	0,056	0,220	0,194
	5	0,328	0,060	0,296	0,268
	3	0,438	0,124	0,370	0,313
	1	0,469	0,173	0,372	0,295
	2	1,000	1,000	0,000	0,000

E. DEL BRONCE	cat	Ps	Pa	Kj	Ps-Pa
	4	0,253	0,056	0,224	0,197
	3	0,400	0,120	0,335	0,280
	5	0,467	0,124	0,400	0,342
	1	0,520	0,173	0,425	0,347
	2	1,000	1,000	0,000	0,000

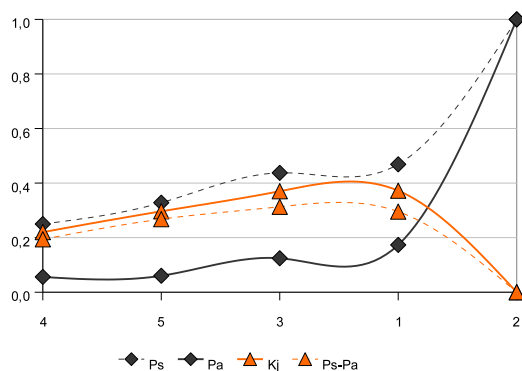
E. DEL HIERRO	cat	Ps	Pa	Kj	Ps-Pa
	4	0,220	0,056	0,190	0,164
	3	0,357	0,120	0,291	0,237
	5	0,407	0,124	0,339	0,282
	1	0,432	0,173	0,335	0,259
	2	1,000	1,000	0,000	0,000

E. DEL COBRE	cat	Ps	Pa	Kj	Ps-Pa
	4	0,218	0,056	0,188	0,162
	3	0,391	0,120	0,326	0,271
	5	0,453	0,124	0,386	0,329
	1	0,498	0,173	0,402	0,324
	2	1,000	1,000	0,000	0,000

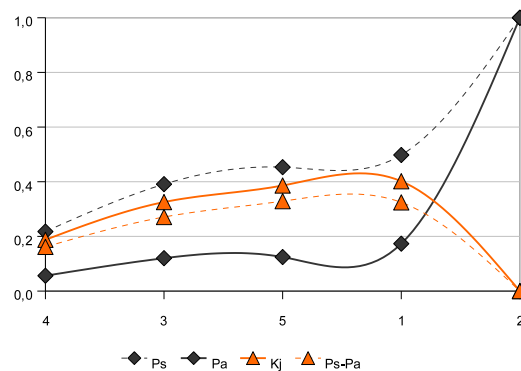
BRONCE FINAL	cat	Ps	Pa	Kj	Ps-Pa
	4	0,215	0,056	0,185	0,159
	3	0,400	0,120	0,335	0,280
	5	0,436	0,124	0,369	0,312
	1	0,451	0,173	0,354	0,278
	2	1,000	1,000	0,000	0,000

ROMANO	cat	Ps	Pa	Kj	Ps-Pa
	4	0,120	0,056	0,087	0,063
	3	0,237	0,120	0,167	0,117
	5	0,248	0,124	0,175	0,124
	1	0,275	0,173	0,168	0,102
	2	1,000	1,000	0,000	0,000

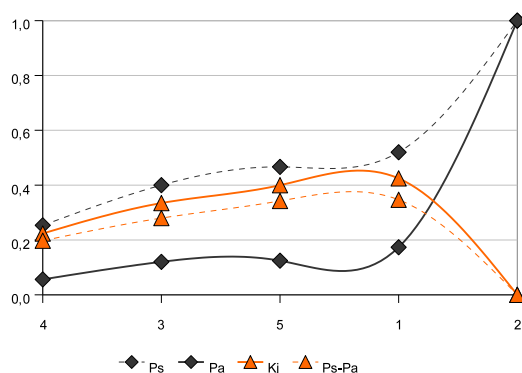
Neolítico



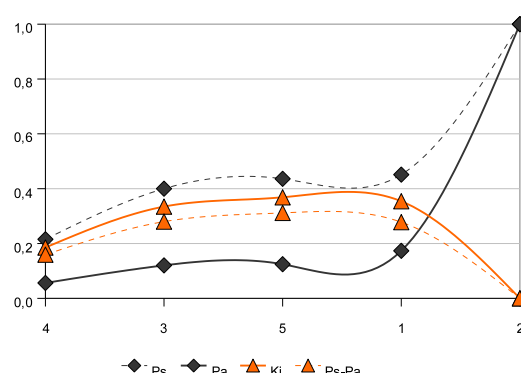
E. del Cobre



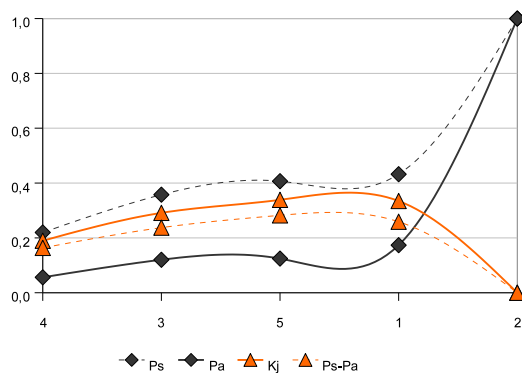
E. del Bronce



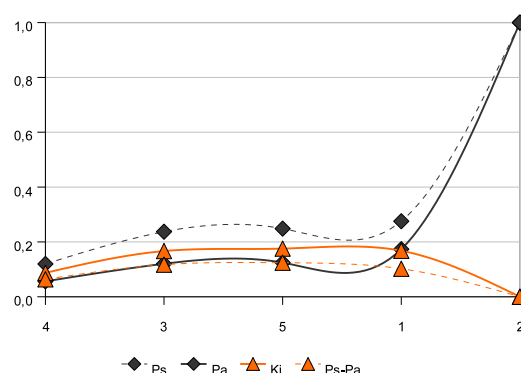
Bronce Final



E. del Hierro



Romano



Pendiente

NEOLÍTICO	cat	Ps	Pa	Kj	Ps-Pa
	2	0,094	0,074	0,044	0,020
	3	0,109	0,085	0,052	0,025
	1	1,000	1,000	0,000	0,000

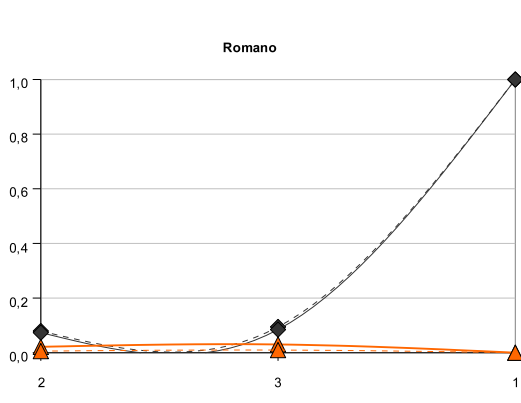
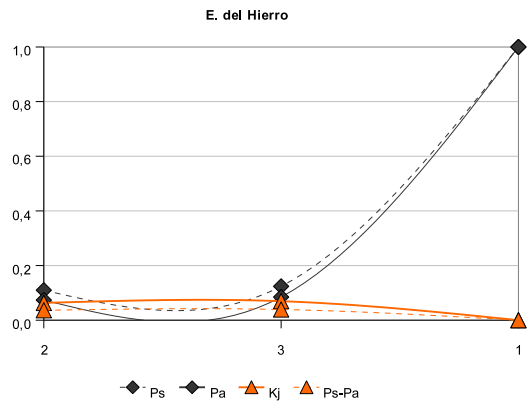
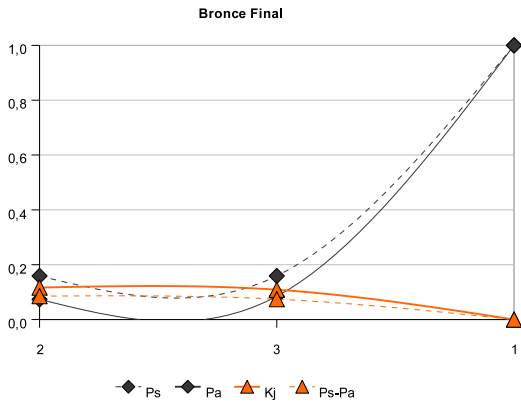
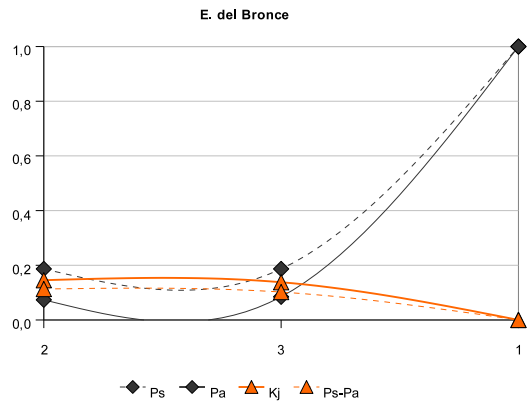
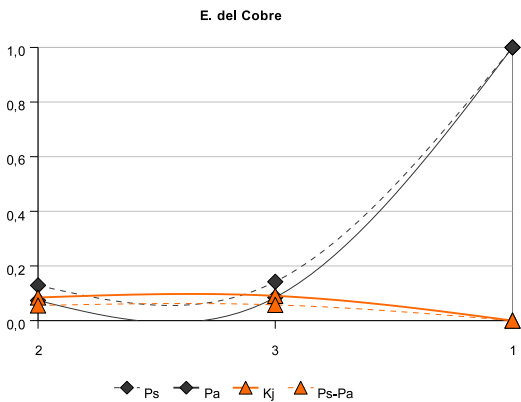
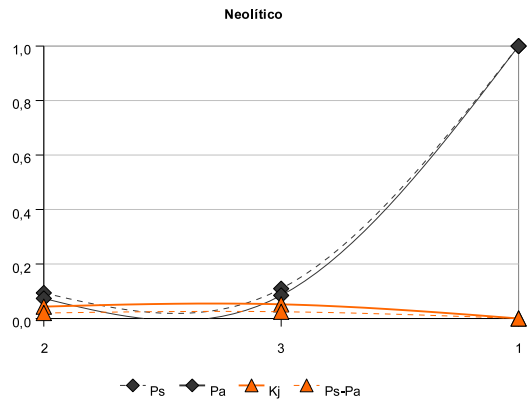
E. DEL BRONCE	cat	Ps	Pa	Kj	Ps-Pa
	2	0,187	0,074	0,145	0,113
	3	0,187	0,085	0,138	0,102
	1	1,000	1,000	0,000	0,000

E. DEL HIERRO	cat	Ps	Pa	Kj	Ps-Pa
	2	0,110	0,074	0,063	0,036
	3	0,124	0,085	0,070	0,039
	1	1,000	1,000	0,000	0,000

E DEL COBRE	cat	Ps	Pa	Kj	Ps-Pa
	2	0,129	0,074	0,084	0,055
	3	0,142	0,085	0,090	0,058
	1	1,000	1,000	0,000	0,000

BRONCE FINAL	cat	Ps	Pa	Kj	Ps-Pa
	2	0,159	0,074	0,117	0,085
	3	0,159	0,085	0,109	0,074
	1	1,000	1,000	0,000	0,000

ROMANO	cat	Ps	Pa	Kj	Ps-Pa
	2	0,079	0,074	0,021	0,006
	3	0,094	0,085	0,030	0,010
	1	1,000	1,000	0,000	0,000



## Distancia a red hidrográfica

NEOLÍTICO	cat	Ps	Pa	Kj	Ps-Pa
	1	0,469	0,423	0,146	0,046
	2	0,734	0,682	0,197	0,053
	4	0,891	0,854	0,181	0,037
	3	1,000	1,000	0,000	0,000

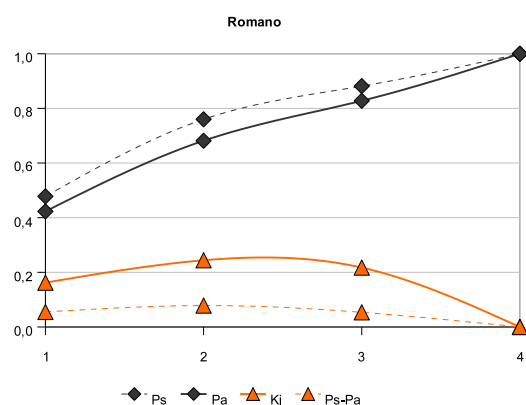
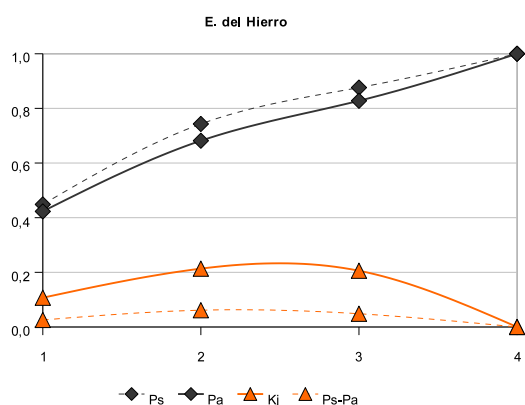
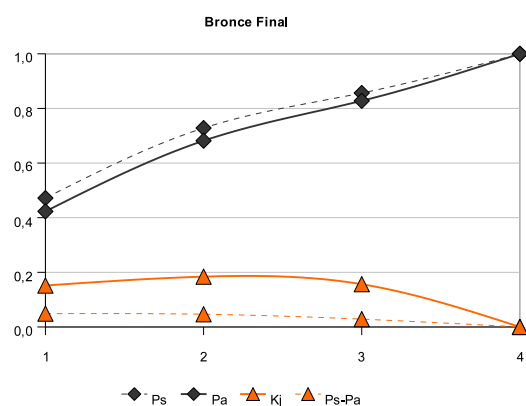
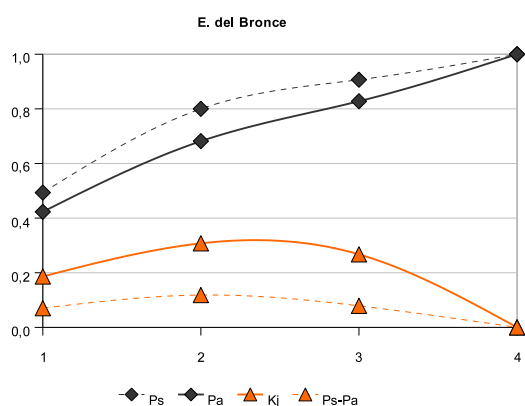
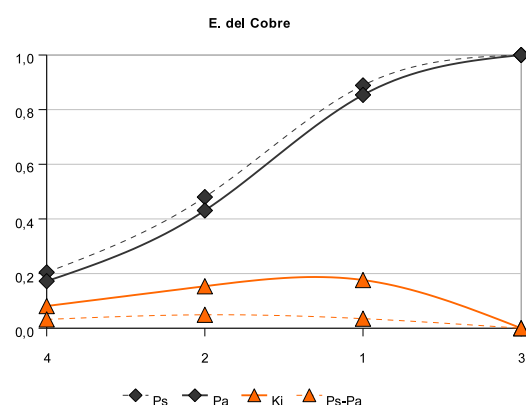
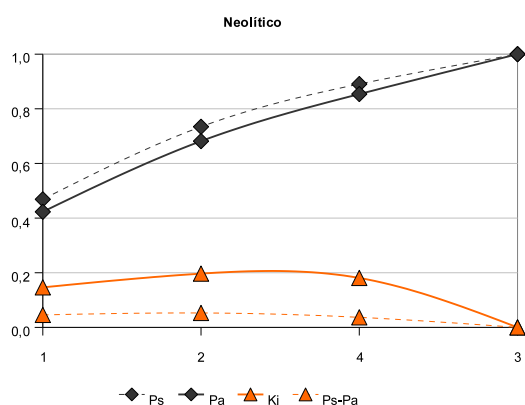
E. DEL BRONCE	cat	Ps	Pa	Kj	Ps-Pa
	1	0,493	0,423	0,186	0,070
	2	0,800	0,682	0,308	0,118
	3	0,907	0,828	0,267	0,079
	4	1,000	1,000	0,000	0,000

E. DEL HIERRO	cat	Ps	Pa	Kj	Ps-Pa
	1	0,449	0,423	0,107	0,026
	2	0,743	0,682	0,213	0,061
	3	0,876	0,828	0,206	0,048
	4	1,000	1,000	0,000	0,000

E. DEL COBRE	cat	Ps	Pa	Kj	Ps-Pa
	4	0,204	0,172	0,081	0,032
	2	0,480	0,431	0,154	0,049
	1	0,889	0,854	0,176	0,035
	3	1,000	1,000	0,000	0,000

BRONCE FINAL	cat	Ps	Pa	Kj	Ps-Pa
	1	0,472	0,423	0,152	0,049
	2	0,728	0,682	0,184	0,047
	3	0,856	0,828	0,157	0,029
	4	1,000	1,000	0,000	0,000

ROMANO	cat	Ps	Pa	Kj	Ps-Pa
	1	0,478	0,423	0,162	0,055
	2	0,760	0,682	0,244	0,078
	3	0,881	0,828	0,217	0,054
	4	1,000	1,000	0,000	0,000



## Orientación

NEOLÍTICO	cat	Ps	Pa	Kj	Ps-Pa
	6	0,203	0,125	0,126	0,078
	9	0,359	0,263	0,186	0,096
	3	0,469	0,354	0,232	0,115
	5	0,594	0,466	0,275	0,128
	8	0,719	0,584	0,312	0,135
	2	0,828	0,683	0,347	0,145
	4	0,875	0,756	0,322	0,119
	7	0,969	0,895	0,268	0,074
	-1	1,000	1,000	0,000	0,000

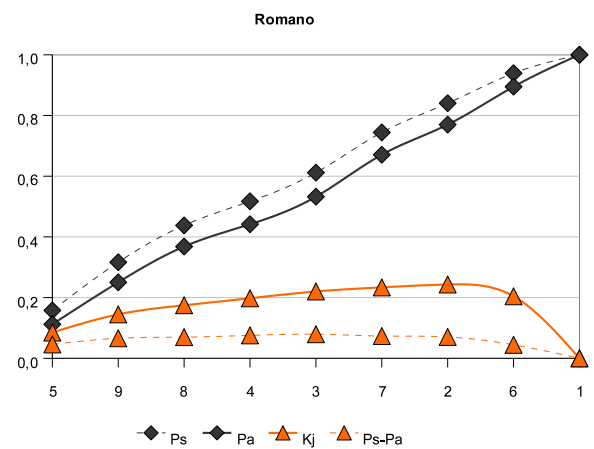
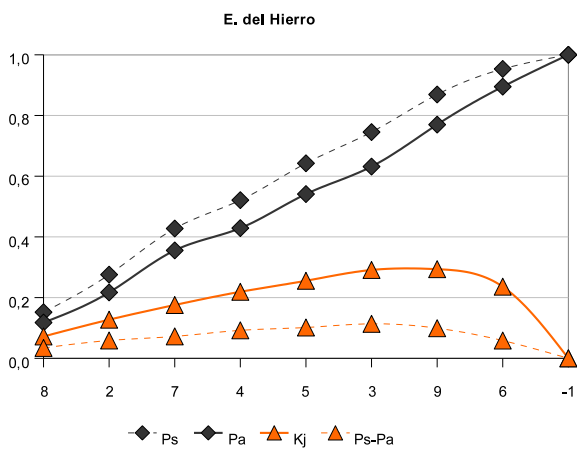
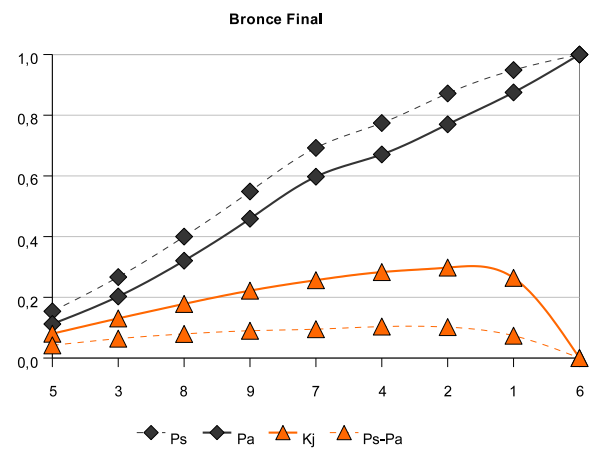
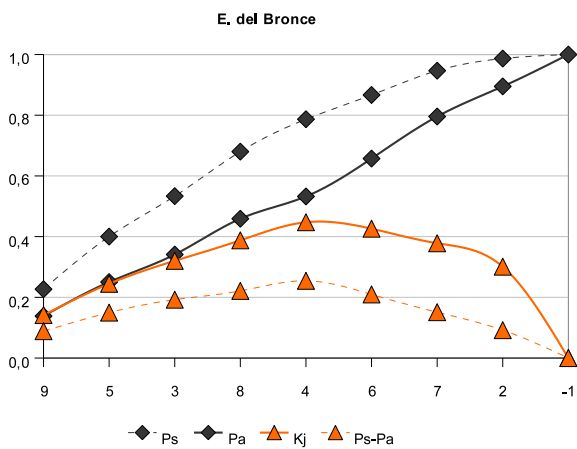
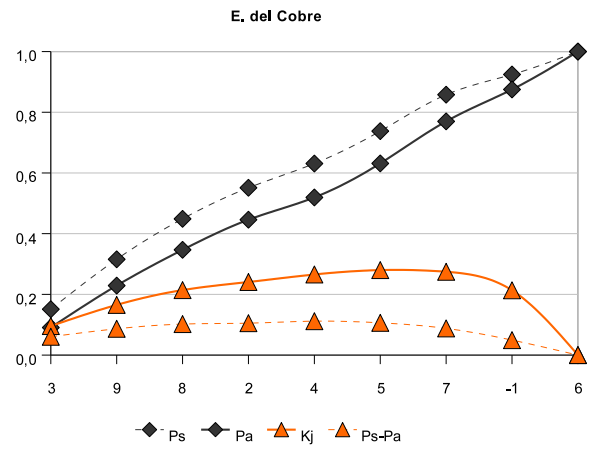
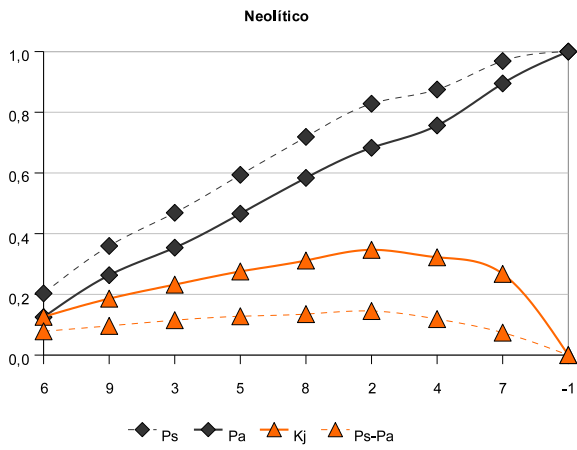
E. DEL COBRE	cat	Ps	Pa	Kj	Ps-Pa
	3	0,151	0,091	0,096	0,060
	9	0,316	0,229	0,165	0,087
	8	0,449	0,347	0,214	0,102
	2	0,551	0,446	0,241	0,105
	4	0,631	0,519	0,266	0,112
	5	0,738	0,632	0,280	0,106
	7	0,858	0,770	0,274	0,088
	-1	0,924	0,875	0,213	0,049
	6	1,000	1,000	0,000	0,000

E. DEL BRONCE	cat	Ps	Pa	Kj	Ps-Pa
	9	0,227	0,138	0,142	0,088
	5	0,400	0,250	0,245	0,150
	3	0,533	0,341	0,320	0,192
	8	0,680	0,459	0,388	0,221
	4	0,787	0,532	0,447	0,254
	6	0,867	0,657	0,426	0,210
	7	0,947	0,796	0,378	0,151
	2	0,987	0,895	0,301	0,092
	-1	1,000	1,000	0,000	0,000

BRONCE FINAL	cat	Ps	Pa	Kj	Ps-Pa
	5	0,154	0,112	0,080	0,042
	3	0,267	0,203	0,130	0,064
	8	0,400	0,321	0,178	0,079
	9	0,549	0,459	0,222	0,090
	7	0,692	0,597	0,256	0,095
	4	0,774	0,671	0,283	0,104
	2	0,872	0,770	0,298	0,102
	1	0,949	0,875	0,264	0,074
	6	1,000	1,000	0,000	0,000

E. DEL HIERRO	cat	Ps	Pa	Kj	Ps-Pa
	8	0,152	0,118	0,072	0,034
	2	0,276	0,217	0,127	0,059
	7	0,428	0,355	0,176	0,072
	4	0,521	0,429	0,219	0,092
	5	0,643	0,541	0,255	0,102
	3	0,745	0,632	0,291	0,114
	9	0,869	0,770	0,294	0,099
	6	0,953	0,895	0,236	0,058
	-1	1,000	1,000	0,000	0,000

ROMANO	cat	Ps	Pa	Kj	Ps-Pa
	5	0,158	0,112	0,085	0,046
	9	0,317	0,250	0,145	0,066
	8	0,438	0,368	0,175	0,070
	4	0,517	0,442	0,198	0,076
	3	0,612	0,532	0,220	0,079
	7	0,744	0,671	0,234	0,073
	2	0,840	0,770	0,243	0,070
	6	0,939	0,895	0,204	0,044
	1	1,000	1,000	0,000	0,000



## Morfología

NEOLÍTICO	cat	Ps	Pa	Kj	Ps-Pa
	3	0,594	0,520	0,210	0,074
	1	0,641	0,541	0,253	0,100
	2	0,656	0,551	0,263	0,105
	5	0,766	0,674	0,265	0,092
	4	0,859	0,782	0,258	0,078
	6	1,000	1,000	0,000	0,000

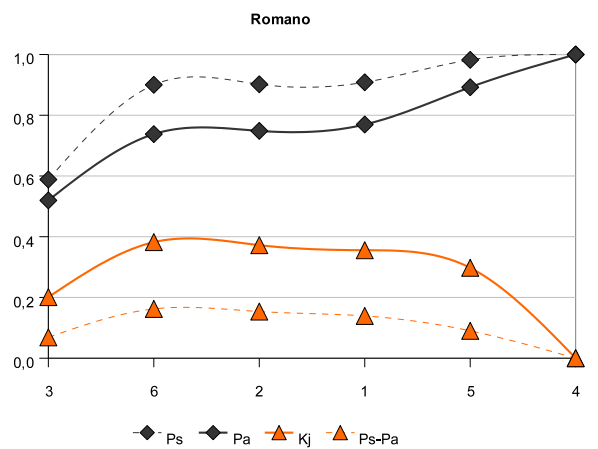
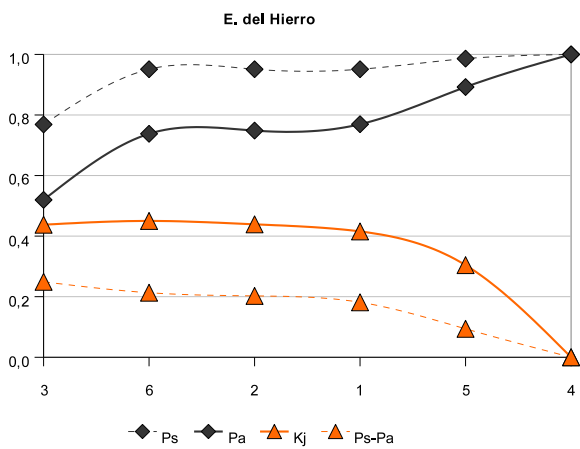
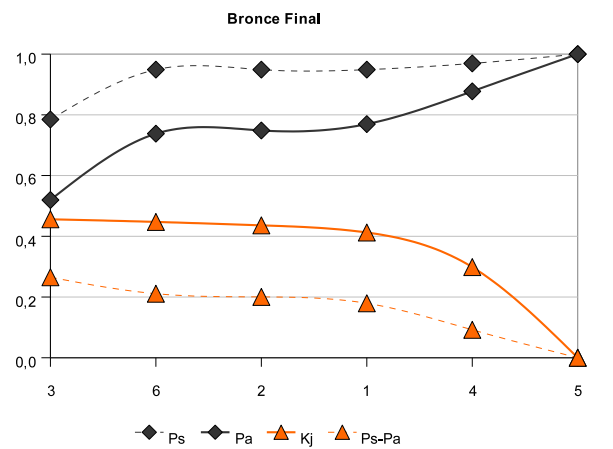
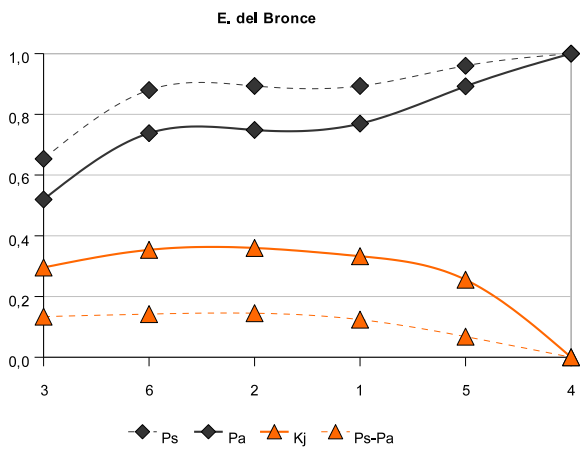
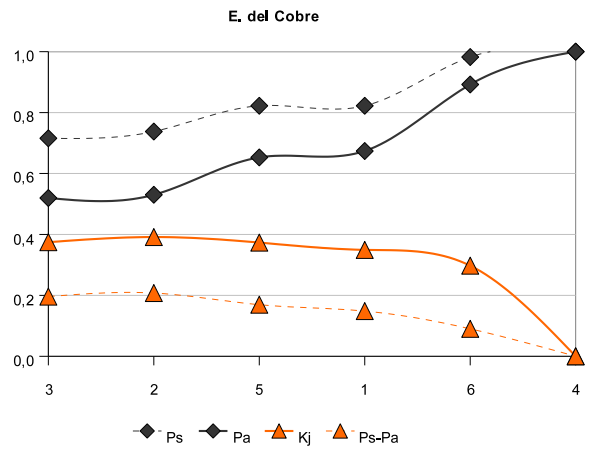
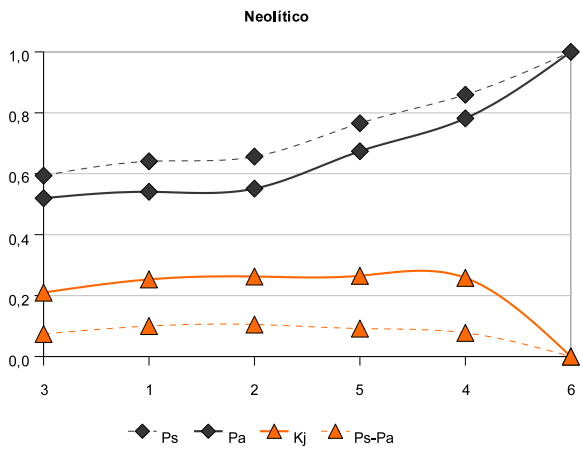
E. DEL COBRE	cat	Ps	Pa	Kj	Ps-Pa
	3	0,716	0,520	0,374	0,196
	2	0,738	0,530	0,391	0,208
	5	0,822	0,653	0,373	0,169
	1	0,822	0,674	0,349	0,148
	6	0,982	0,892	0,298	0,090
	4	1,000	1,000	0,000	0,000

E. DEL BRONCE	cat	Ps	Pa	Kj	Ps-Pa
	3	0,653	0,520	0,296	0,134
	6	0,880	0,738	0,354	0,142
	2	0,893	0,748	0,360	0,145
	1	0,893	0,769	0,333	0,124
	5	0,960	0,892	0,255	0,068
	4	1,000	1,000	0,000	0,000

BRONCE FINAL	cat	Ps	Pa	Kj	Ps-Pa
	3	0,785	0,520	0,456	0,265
	6	0,949	0,738	0,447	0,211
	2	0,949	0,748	0,436	0,200
	1	0,949	0,769	0,412	0,179
	4	0,969	0,877	0,299	0,092
	5	1,000	1,000	0,000	0,000

E. DEL HIERRO	cat	Ps	Pa	Kj	Ps-Pa
	3	0,769	0,520	0,438	0,249
	6	0,951	0,738	0,450	0,213
	2	0,951	0,748	0,439	0,203
	1	0,951	0,769	0,415	0,182
	5	0,986	0,892	0,304	0,094
	4	1,000	1,000	0,000	0,000

ROMANO	cat	Ps	Pa	Kj	Ps-Pa
	3	0,588	0,520	0,201	0,069
	6	0,900	0,738	0,382	0,162
	2	0,902	0,748	0,372	0,154
	1	0,908	0,769	0,355	0,139
	5	0,982	0,892	0,298	0,090
	4	1,000	1,000	0,000	0,000





## Vegetación potencial

NEOLÍTICO	cat	Ps	Pa	Kj	Ps-Pa
	9	0,172	0,036	0,153	0,135
	6	0,609	0,474	0,287	0,135
	5	0,750	0,597	0,338	0,153
	2	0,906	0,759	0,366	0,148
	1	0,938	0,815	0,339	0,123
	3	1,000	1,000	0,000	0,000

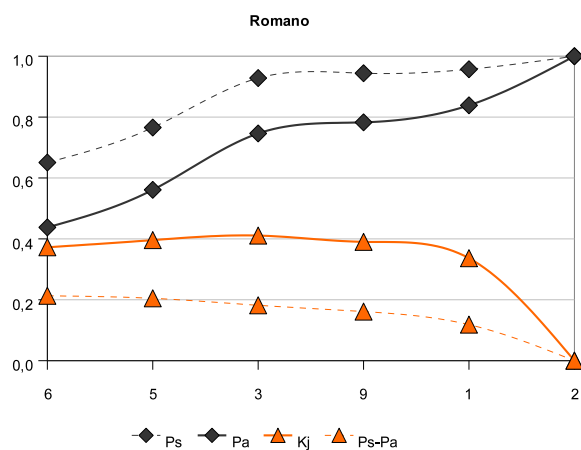
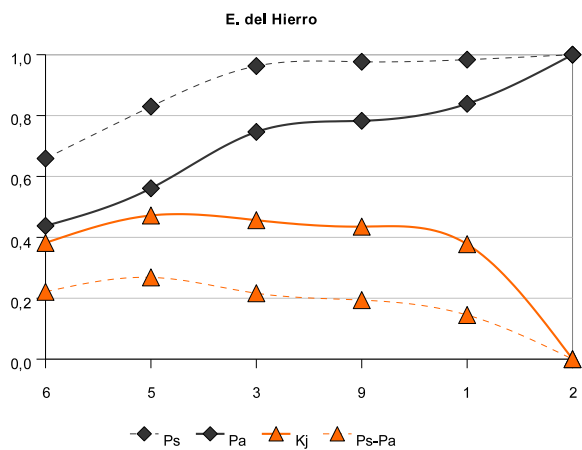
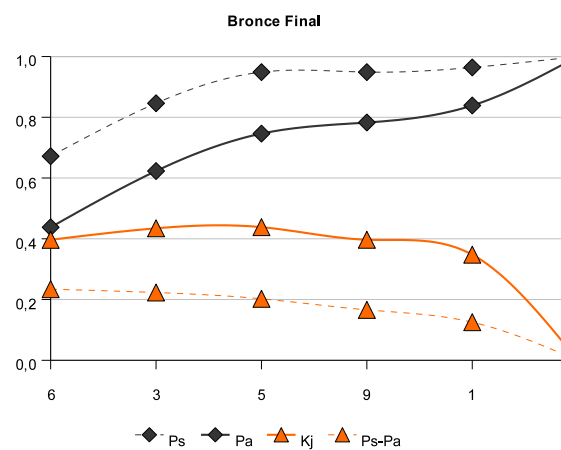
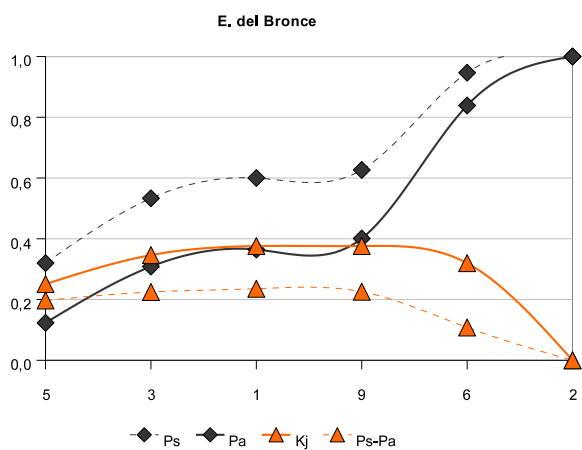
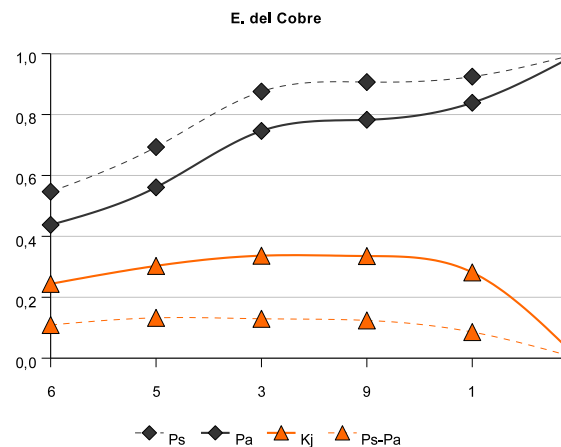
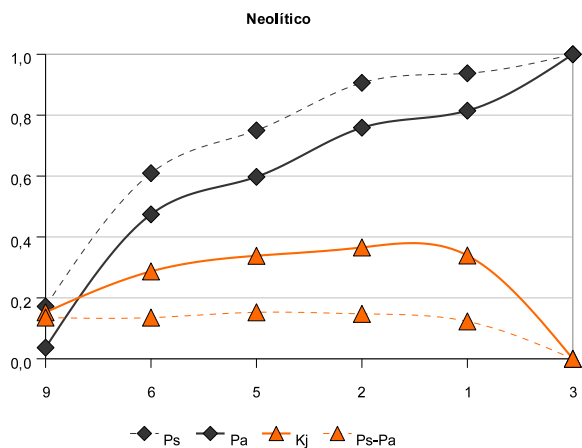
E. DEL COBRE	cat	Ps	Pa	Kj	Ps-Pa
	6	0,547	0,438	0,244	0,109
	5	0,693	0,561	0,303	0,132
	3	0,876	0,746	0,336	0,129
	9	0,907	0,783	0,335	0,124
	1	0,924	0,839	0,282	0,086
	2	1,000	1,000	0,000	0,000

E. DEL BRONCE	cat	Ps	Pa	Kj	Ps-Pa
	5	0,320	0,123	0,251	0,197
	3	0,533	0,308	0,346	0,225
	1	0,600	0,364	0,376	0,236
	9	0,627	0,401	0,376	0,226
	6	0,947	0,839	0,320	0,108
	2	1,000	1,000	0,000	0,000

BRONCE FINAL	cat	Ps	Pa	Kj	Ps-Pa
	6	0,672	0,438	0,397	0,234
	3	0,846	0,623	0,434	0,223
	5	0,949	0,746	0,438	0,202
	9	0,949	0,783	0,397	0,166
	1	0,964	0,839	0,348	0,125
	2	1,000	1,000	0,000	0,000

E. DEL HIERRO	cat	Ps	Pa	Kj	Ps-Pa
	6	0,659	0,438	0,382	0,221
	5	0,829	0,561	0,472	0,269
	3	0,963	0,746	0,456	0,216
	9	0,977	0,783	0,435	0,194
	1	0,984	0,839	0,378	0,145
	2	1,000	1,000	0,000	0,000

ROMANO	cat	Ps	Pa	Kj	Ps-Pa
	6	0,651	0,438	0,372	0,213
	5	0,766	0,561	0,396	0,205
	3	0,928	0,746	0,411	0,182
	9	0,944	0,783	0,390	0,161
	1	0,957	0,839	0,337	0,118
	2	1,000	1,000	0,000	0,000



## Landform

NEOLÍTICO	cat	Ps	Pa	Kj	Ps-Pa
	1	0,313	0,082	0,268	0,230
	3	0,375	0,126	0,305	0,249
	2	0,484	0,265	0,326	0,220
	6	0,516	0,311	0,324	0,204
	4	0,922	0,846	0,264	0,076
	5	1,000	1,000	0,000	0,000

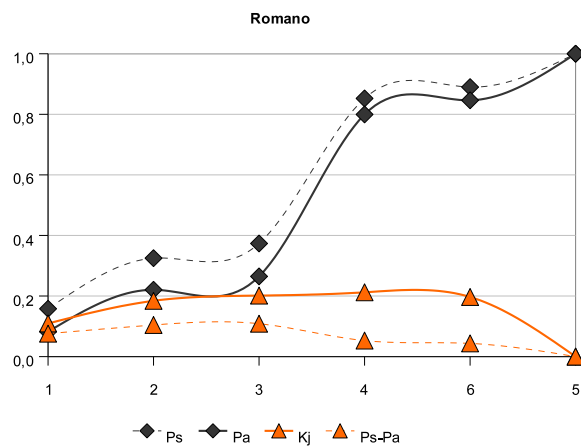
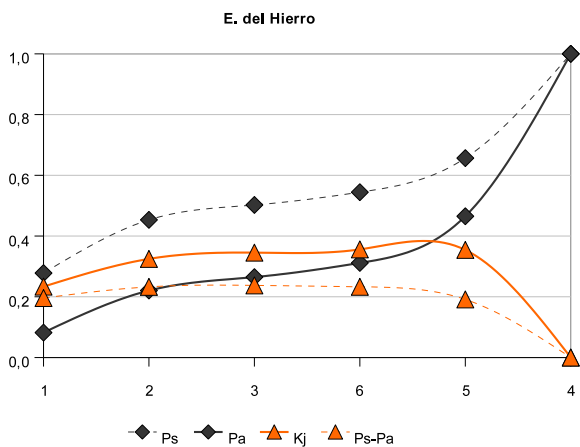
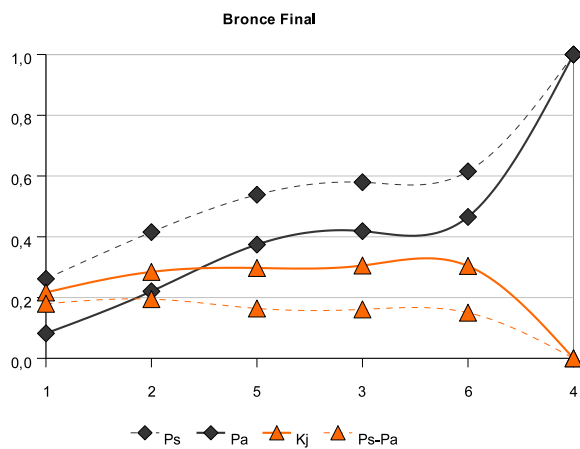
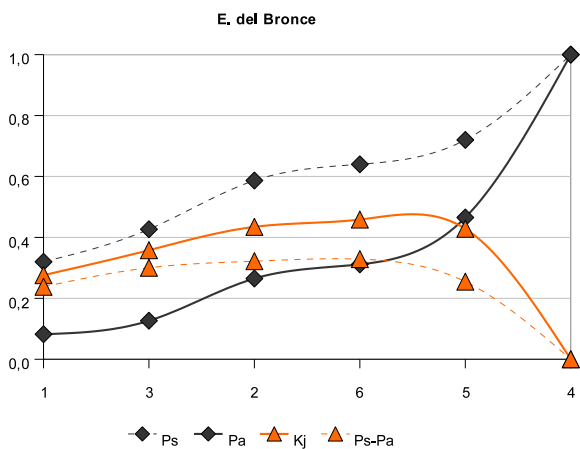
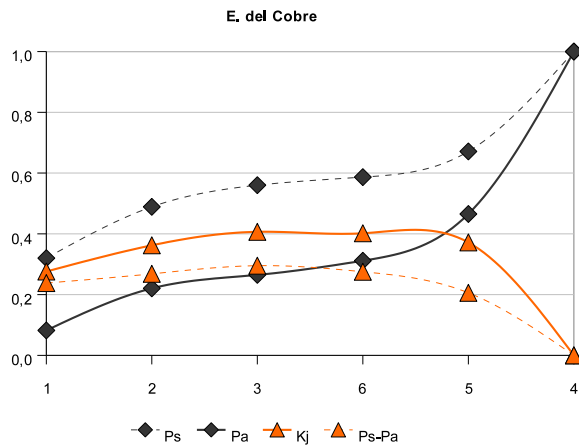
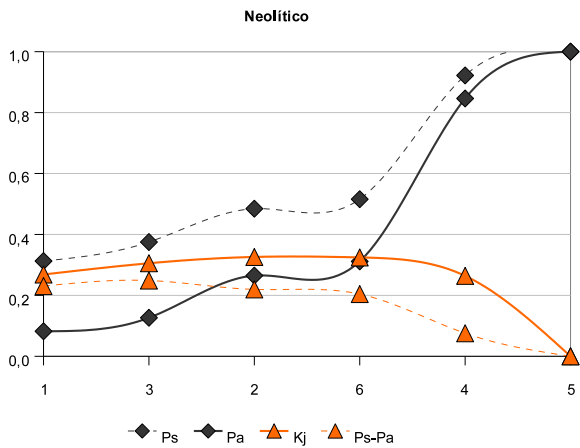
E. DEL COBRE	cat	Ps	Pa	Kj	Ps-Pa
	1	0,320	0,082	0,276	0,238
	2	0,489	0,221	0,362	0,268
	3	0,560	0,265	0,407	0,295
	6	0,587	0,311	0,402	0,275
	5	0,671	0,465	0,372	0,206
	4	1,000	1,000	0,000	0,000

E. DEL BRONCE	cat	Ps	Pa	Kj	Ps-Pa
	1	0,320	0,082	0,276	0,238
	3	0,427	0,126	0,358	0,300
	2	0,587	0,265	0,435	0,322
	6	0,640	0,311	0,459	0,329
	5	0,720	0,465	0,428	0,255
	4	1,000	1,000	0,000	0,000

BRONCE FINAL	cat	Ps	Pa	Kj	Ps-Pa
	1	0,262	0,082	0,217	0,179
	2	0,415	0,221	0,284	0,195
	5	0,538	0,374	0,297	0,164
	3	0,579	0,419	0,305	0,161
	6	0,615	0,465	0,304	0,150
	4	1,000	1,000	0,000	0,000

E. DEL HIERRO	cat	Ps	Pa	Kj	Ps-Pa
	1	0,278	0,082	0,233	0,196
	2	0,453	0,221	0,325	0,233
	3	0,502	0,265	0,345	0,238
	6	0,544	0,311	0,356	0,233
	5	0,657	0,465	0,354	0,191
	4	1,000	1,000	0,000	0,000

ROMANO	cat	Ps	Pa	Kj	Ps-Pa
	1	0,158	0,082	0,109	0,076
	2	0,325	0,221	0,184	0,104
	3	0,373	0,265	0,201	0,109
	4	0,852	0,800	0,212	0,053
	6	0,890	0,846	0,197	0,044
	5	1,000	1,000	0,000	0,000



## Aptitud agrícola del suelo

NEOLÍTICO	cat	Ps	Pa	Kj	Ps-Pa
	3	0,156	0,108	0,087	0,048
	0	0,234	0,115	0,167	0,119
	2	0,453	0,349	0,217	0,104
	1	1,000	1,000	0,000	0,000

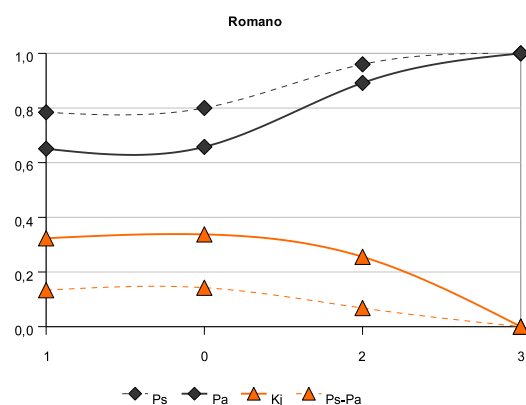
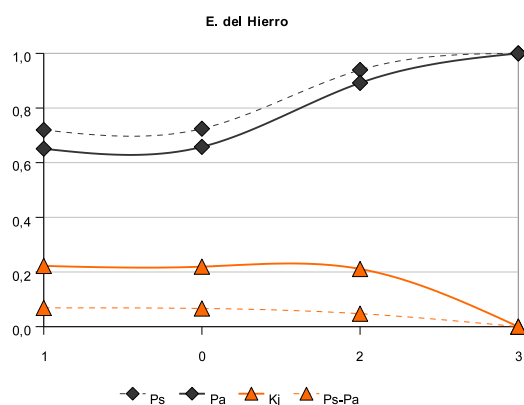
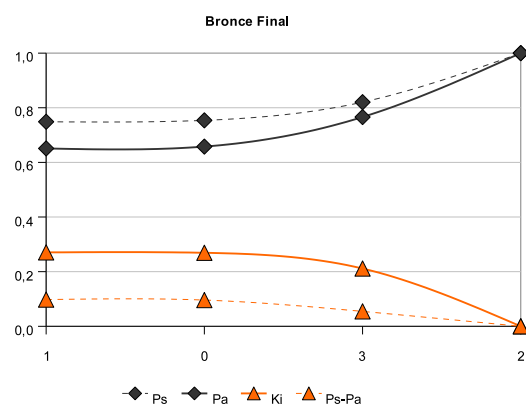
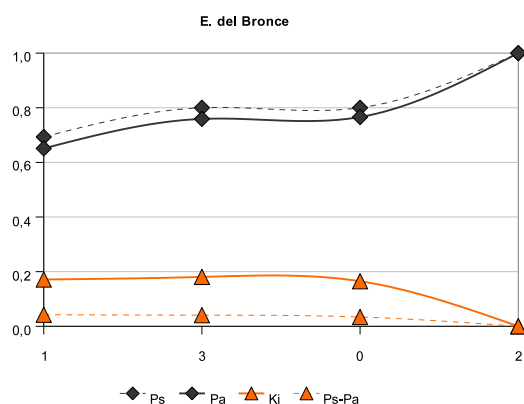
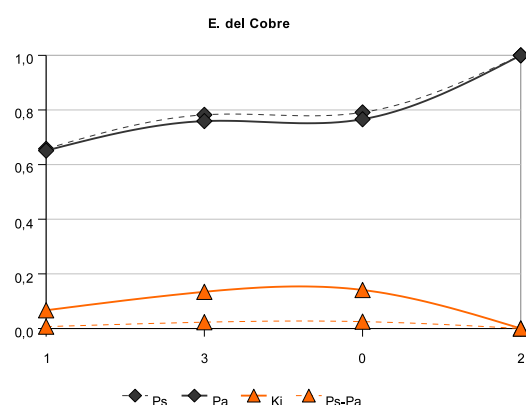
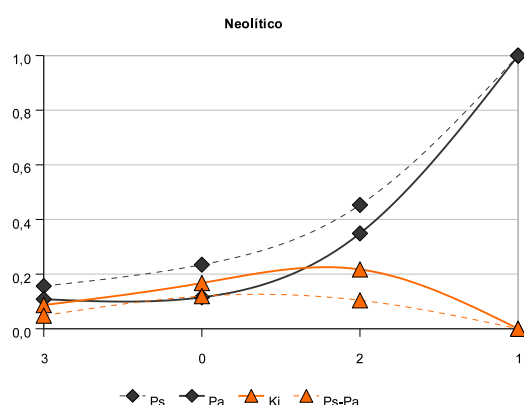
E. DEL BRONCE	cat	Ps	Pa	Kj	Ps-Pa
	1	0,693	0,651	0,171	0,042
	3	0,800	0,759	0,181	0,041
	0	0,800	0,766	0,165	0,034
	2	1,000	1,000	0,000	0,000

E. DEL HIERRO	cat	Ps	Pa	Kj	Ps-Pa
	1	0,720	0,651	0,222	0,069
	0	0,724	0,658	0,219	0,066
	2	0,939	0,892	0,211	0,047
	3	1,000	1,000	0,000	0,000

E. DEL COBRE	cat	Ps	Pa	Kj	Ps-Pa
	1	0,658	0,651	0,067	0,007
	3	0,782	0,759	0,134	0,023
	0	0,791	0,766	0,141	0,025
	2	1,000	1,000	0,000	0,000

BRONCE FINAL	cat	Ps	Pa	Kj	Ps-Pa
	1	0,749	0,651	0,270	0,098
	0	0,754	0,658	0,269	0,096
	3	0,821	0,766	0,212	0,055
	2	1,000	1,000	0,000	0,000

ROMANO	cat	Ps	Pa	Kj	Ps-Pa
	1	0,784	0,651	0,323	0,133
	0	0,800	0,658	0,338	0,142
	2	0,960	0,892	0,256	0,068
	3	1,000	1,000	0,000	0,000



## ÁMBITO SUBREGIÓN 3. SUBBÉTICAS

### Altitud absoluta

NEOLÍTICO	cat	Ps	Pa	Kj	Ps-Pa
	4	0,293	0,255	0,106	0,039
	2	0,507	0,430	0,197	0,077
	5	0,707	0,634	0,226	0,073
	3	0,987	0,950	0,191	0,037
	1	1,000	1,000	0,000	0,000

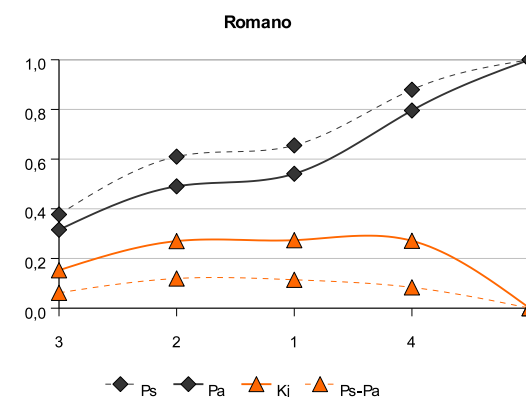
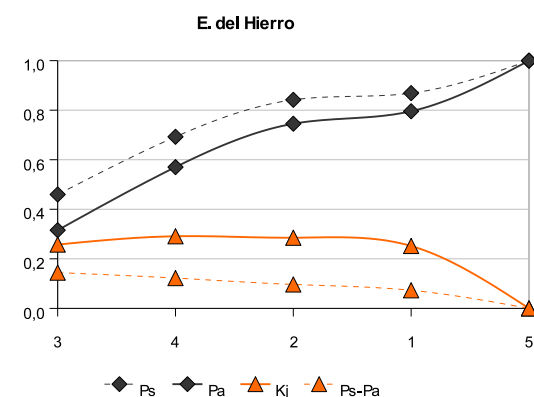
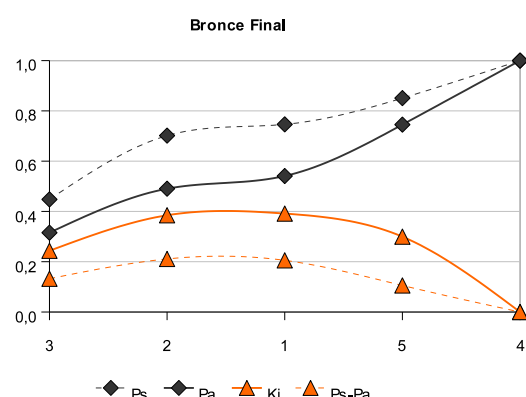
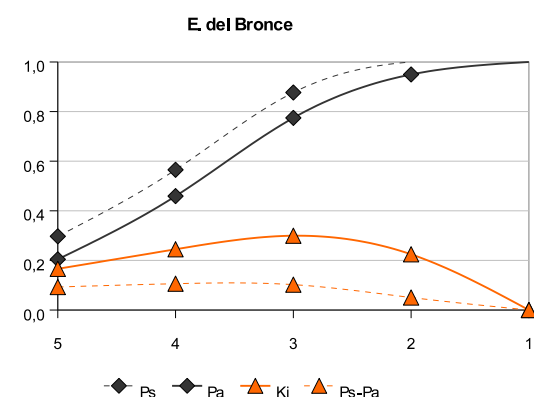
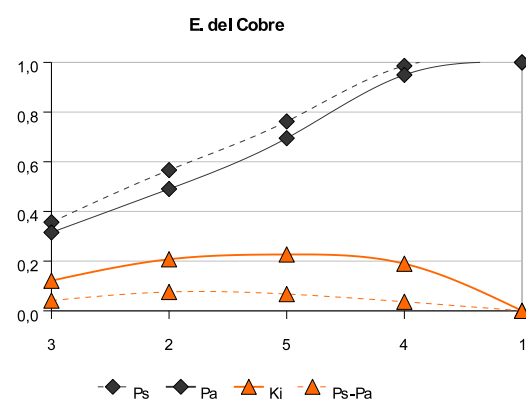
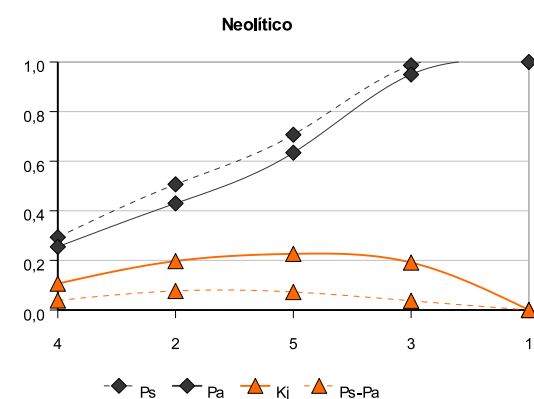
E. DEL BRONCE	cat	Ps	Pa	Kj	Ps-Pa
	5	0,297	0,204	0,166	0,093
	4	0,565	0,459	0,245	0,106
	3	0,877	0,775	0,299	0,102
	2	1,000	0,950	0,225	0,050
	1	1,000	1,000	0,000	0,000

E. DEL HIERRO	cat	Ps	Pa	Kj	Ps-Pa
	3	0,460	0,315	0,258	0,144
	4	0,693	0,570	0,291	0,122
	2	0,842	0,745	0,285	0,097
	1	0,869	0,796	0,252	0,073
	5	1,000	1,000	0,000	0,000

E. DEL COBRE	cat	Ps	Pa	Kj	Ps-Pa
	3	0,357	0,315	0,121	0,041
	2	0,566	0,490	0,207	0,076
	5	0,762	0,695	0,227	0,067
	4	0,986	0,950	0,190	0,036
	1	1,000	1,000	0,000	0,000

BRONCE FINAL	cat	Ps	Pa	Kj	Ps-Pa
	3	0,448	0,315	0,243	0,132
	2	0,701	0,490	0,385	0,211
	1	0,746	0,541	0,392	0,205
	5	0,851	0,745	0,300	0,106
	4	1,000	1,000	0,000	0,000

ROMANO	cat	Ps	Pa	Kj	Ps-Pa
	3	0,377	0,315	0,153	0,062
	2	0,610	0,490	0,270	0,119
	1	0,655	0,541	0,274	0,114
	4	0,879	0,796	0,271	0,084
	5	1,000	1,000	0,000	0,000



## Altitud relativa

NEOLÍTICO	cat	Ps	Pa	Kj	Ps-Pa
	4	0,360	0,156	0,271	0,204
	5	0,547	0,196	0,438	0,351
	3	0,667	0,290	0,501	0,377
	1	0,773	0,498	0,462	0,275
	2	1,000	1,000	0,000	0,000

E. DEL COBRE	cat	Ps	Pa	Kj	Ps-Pa
	4	0,294	0,156	0,201	0,138
	5	0,503	0,196	0,394	0,308
	3	0,594	0,290	0,425	0,304
	2	0,923	0,792	0,348	0,131
	1	1,000	1,000	0,000	0,000

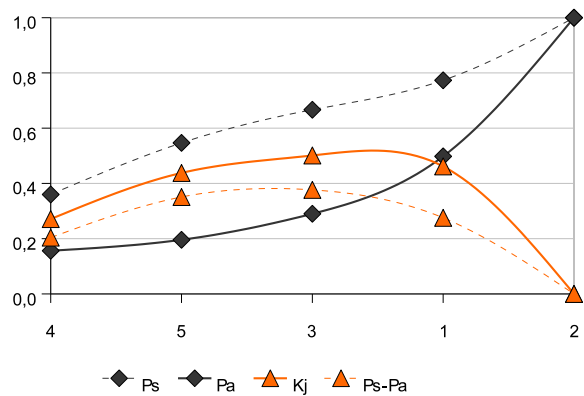
E. DEL BRONCE	cat	Ps	Pa	Kj	Ps-Pa
	5	0,275	0,040	0,255	0,236
	4	0,522	0,196	0,412	0,326
	3	0,623	0,290	0,456	0,333
	1	0,725	0,498	0,405	0,227
	2	1,000	1,000	0,000	0,000

BRONCE FINAL	cat	Ps	Pa	Kj	Ps-Pa
	4	0,388	0,156	0,300	0,232
	5	0,597	0,196	0,489	0,401
	3	0,657	0,290	0,491	0,367
	1	0,746	0,498	0,431	0,248
	2	1,000	1,000	0,000	0,000

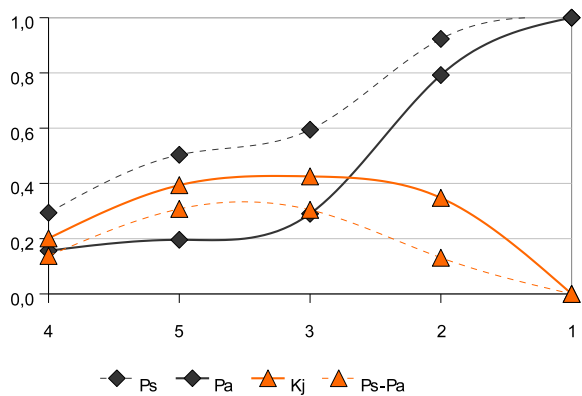
E. DEL HIERRO	cat	Ps	Pa	Kj	Ps-Pa
	5	0,224	0,040	0,203	0,184
	4	0,507	0,196	0,398	0,312
	3	0,579	0,290	0,409	0,289
	1	0,669	0,498	0,338	0,171
	2	1,000	1,000	0,000	0,000

ROMANO	cat	Ps	Pa	Kj	Ps-Pa
	4	0,241	0,156	0,143	0,085
	5	0,375	0,196	0,259	0,179
	3	0,472	0,290	0,293	0,182
	2	0,875	0,792	0,269	0,083
	1	1,000	1,000	0,000	0,000

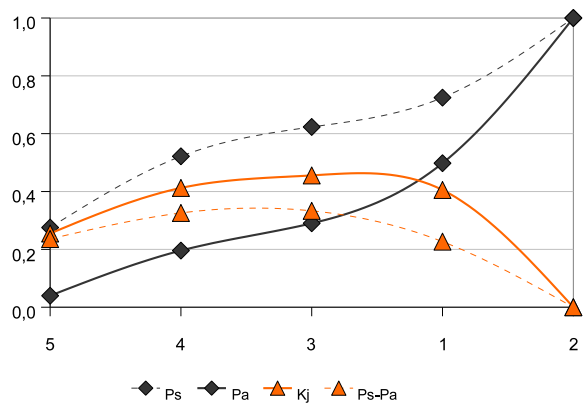
Neolítico



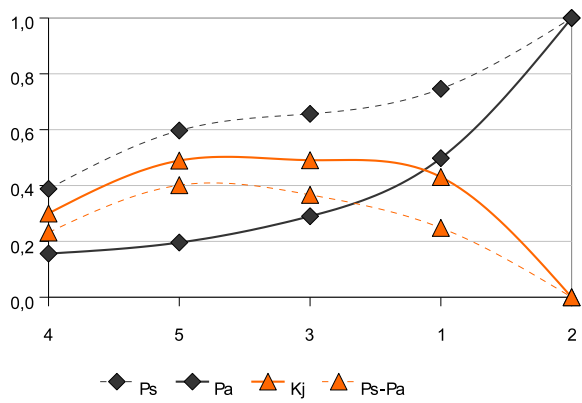
E. del Cobre



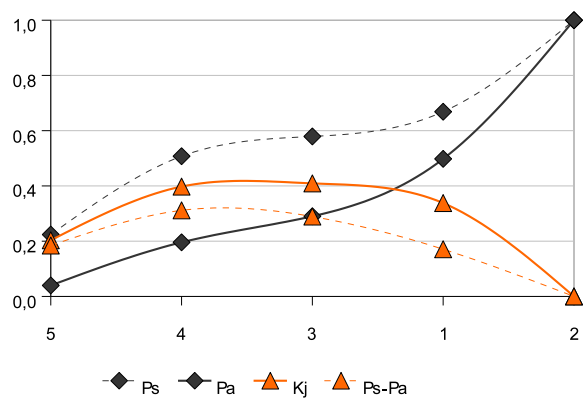
E. del Bronce



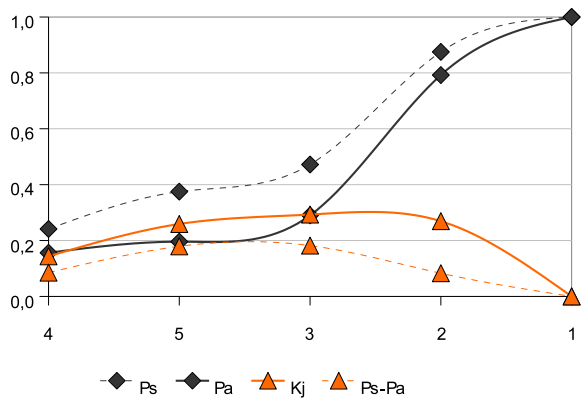
Bronce Final



E. del Hierro



Romano





## Pendiente

NEOLÍTICO	cat	Ps	Pa	Kj	Ps-Pa
	3	0,147	0,130	0,049	0,017
	1	0,707	0,690	0,107	0,016
	2	1,000	1,000	0,000	0,000

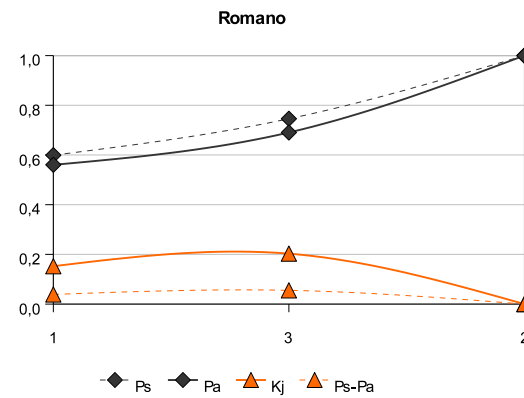
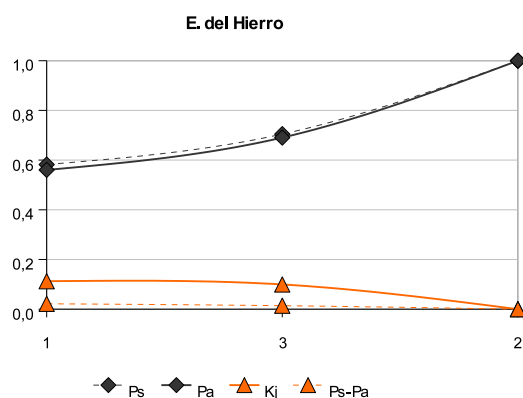
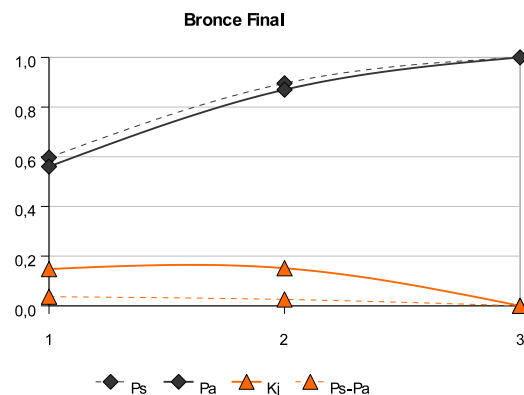
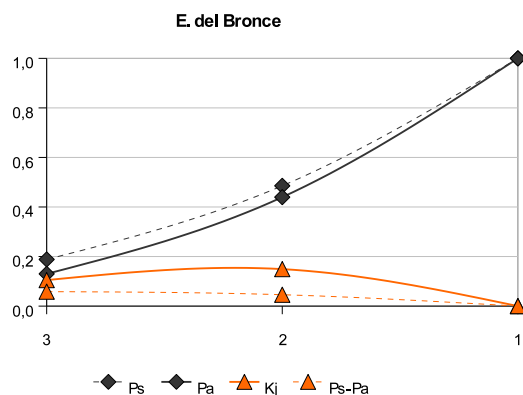
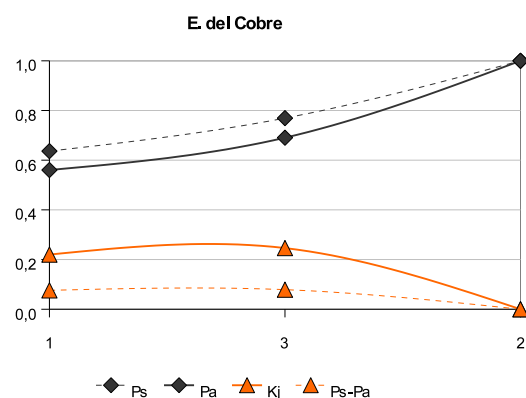
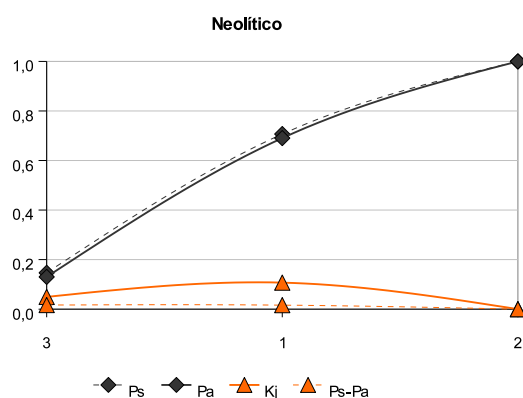
E. DEL BRONCE	cat	Ps	Pa	Kj	Ps-Pa
	3	0,188	0,130	0,105	0,058
	2	0,486	0,440	0,149	0,046
	1	1,000	1,000	0,000	0,000

E. DEL HIERRO	cat	Ps	Pa	Kj	Ps-Pa
	1	0,582	0,560	0,112	0,022
	3	0,704	0,690	0,099	0,014
	2	1,000	1,000	0,000	0,000

E. DEL COBRE	cat	Ps	Pa	Kj	Ps-Pa
	1	0,636	0,560	0,220	0,076
	3	0,769	0,690	0,246	0,079
	2	1,000	1,000	0,000	0,000

BRONCE FINAL	cat	Ps	Pa	Kj	Ps-Pa
	1	0,597	0,560	0,148	0,037
	2	0,896	0,870	0,151	0,026
	3	1,000	1,000	0,000	0,000

ROMANO	cat	Ps	Pa	Kj	Ps-Pa
	1	0,599	0,560	0,152	0,039
	3	0,746	0,690	0,203	0,055
	2	1,000	1,000	0,000	0,000



## Distancia a red hidrográfica

NEOLÍTICO	cat	Ps	Pa	Kj	Ps-Pa
	2	0,293	0,286	0,045	0,007
	3	0,440	0,422	0,090	0,018
	1	0,933	0,922	0,102	0,011
	4	1,000	1,000	0,000	0,000

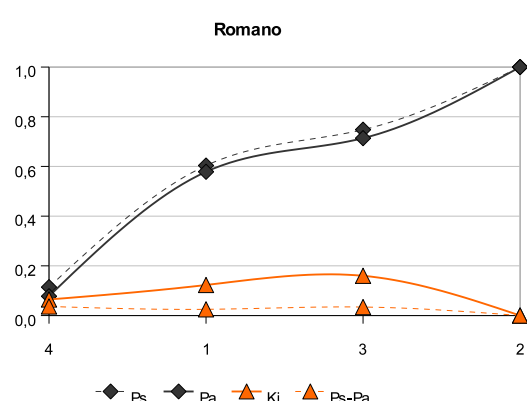
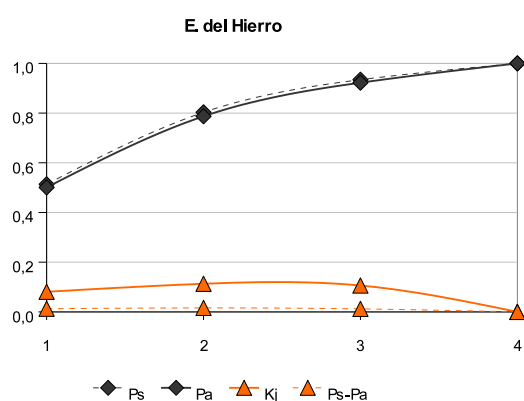
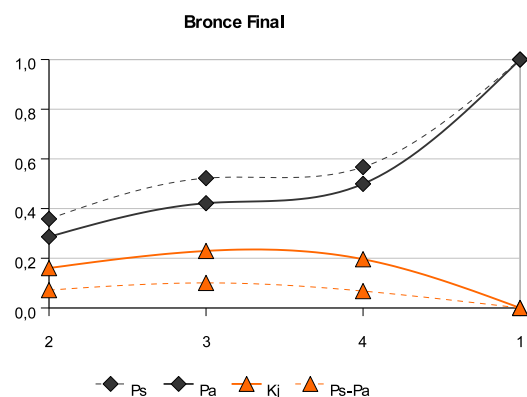
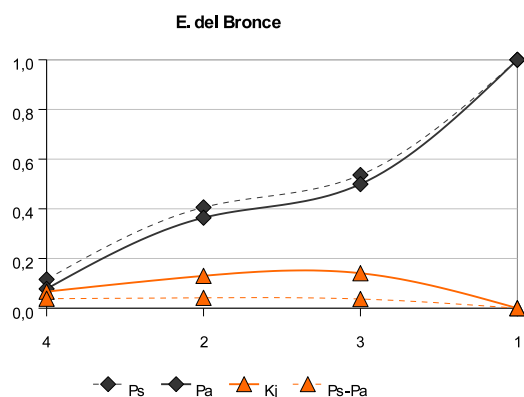
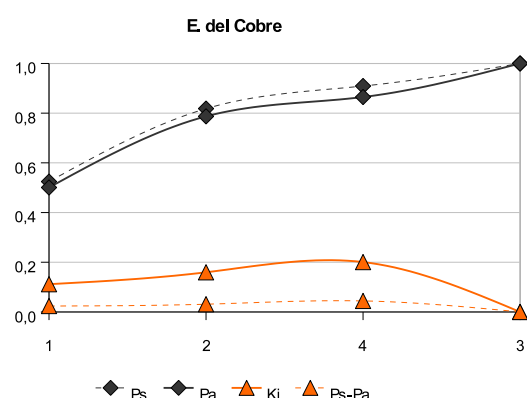
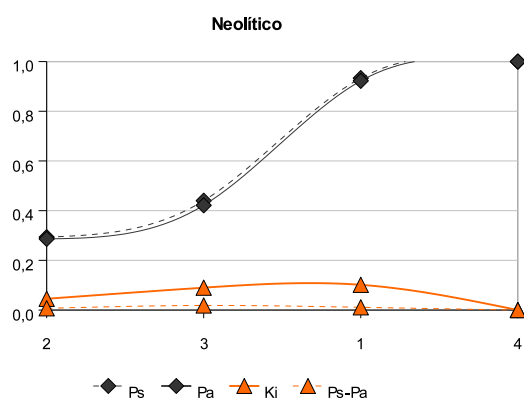
E DEL COBRE	cat	Ps	Pa	Kj	Ps-Pa
	1	0,524	0,501	0,112	0,024
	2	0,818	0,787	0,160	0,031
	4	0,909	0,865	0,201	0,044
	3	1,000	1,000	0,000	0,000

E. DEL BRONCE	cat	Ps	Pa	Kj	Ps-Pa
	4	0,116	0,078	0,067	0,038
	2	0,406	0,364	0,130	0,042
	3	0,536	0,499	0,141	0,037
	1	1,000	1,000	0,000	0,000

BRONCE FINAL	cat	Ps	Pa	Kj	Ps-Pa
	2	0,358	0,286	0,160	0,072
	3	0,522	0,422	0,229	0,101
	4	0,567	0,499	0,196	0,068
	1	1,000	1,000	0,000	0,000

E DEL HIERRO	cat	Ps	Pa	Kj	Ps-Pa
	1	0,513	0,501	0,081	0,013
	2	0,803	0,787	0,113	0,016
	3	0,934	0,922	0,106	0,012
	4	1,000	1,000	0,000	0,000

ROMANO	cat	Ps	Pa	Kj	Ps-Pa
	4	0,114	0,078	0,065	0,037
	1	0,603	0,578	0,123	0,025
	3	0,748	0,714	0,160	0,034
	2	1,000	1,000	0,000	0,000



## Orientación

NEOLÍTICO	cat	Ps	Pa	Kj	Ps-Pa
	2	0,173	0,139	0,077	0,034
	4	0,293	0,224	0,143	0,070
	-1	0,360	0,242	0,206	0,118
	3	0,493	0,345	0,270	0,148
	8	0,627	0,484	0,299	0,143
	7	0,747	0,611	0,319	0,136
	6	0,827	0,727	0,287	0,100
	5	0,893	0,836	0,227	0,058
	9	1,000	1,000	0,000	0,000

E. DEL COBRE	cat	Ps	Pa	Kj	Ps-Pa
	7	0,182	0,127	0,100	0,055
	2	0,350	0,266	0,171	0,084
	4	0,469	0,351	0,235	0,118
	3	0,601	0,454	0,297	0,147
	8	0,734	0,593	0,322	0,141
	-1	0,748	0,611	0,321	0,138
	9	0,888	0,775	0,317	0,113
	6	0,958	0,891	0,253	0,067
	5	1,000	1,000	0,000	0,000

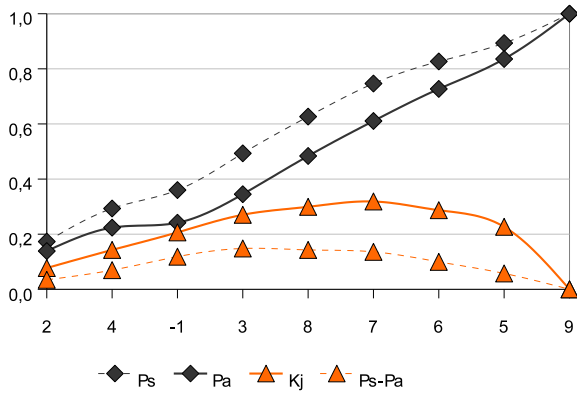
E. DEL BRONCE	cat	Ps	Pa	Kj	Ps-Pa
	9	0,188	0,164	0,067	0,024
	6	0,333	0,281	0,133	0,053
	7	0,471	0,408	0,173	0,063
	3	0,572	0,511	0,187	0,061
	5	0,674	0,620	0,191	0,054
	1	0,688	0,638	0,187	0,051
	4	0,761	0,723	0,171	0,038
	2	0,884	0,861	0,141	0,023
	8	1,000	1,000	0,000	0,000

BRONCE FINAL	cat	Ps	Pa	Kj	Ps-Pa
	2	0,209	0,139	0,121	0,070
	4	0,328	0,224	0,185	0,105
	7	0,478	0,351	0,246	0,127
	-1	0,522	0,369	0,284	0,154
	6	0,642	0,485	0,317	0,157
	8	0,761	0,623	0,324	0,138
	5	0,851	0,732	0,318	0,119
	3	0,925	0,836	0,288	0,090
	9	1,000	1,000	0,000	0,000

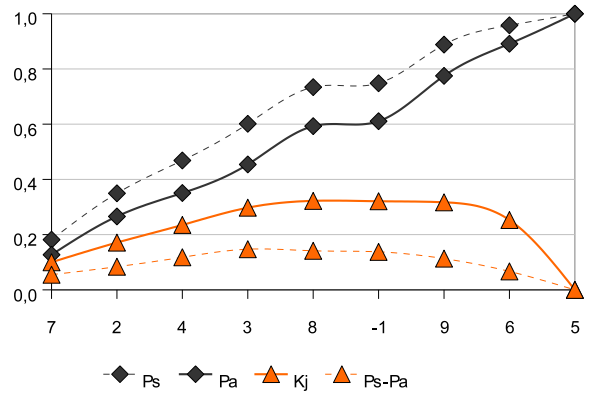
E. DEL HIERRO	cat	Ps	Pa	Kj	Ps-Pa
	3	0,134	0,104	0,064	0,031
	2	0,284	0,242	0,108	0,041
	4	0,382	0,327	0,145	0,055
	6	0,501	0,444	0,170	0,058
	8	0,639	0,582	0,190	0,057
	-1	0,663	0,600	0,204	0,063
	7	0,782	0,727	0,208	0,055
	9	0,922	0,891	0,169	0,031
	5	1,000	1,000	0,000	0,000

ROMANO	cat	Ps	Pa	Kj	Ps-Pa
	6	0,151	0,116	0,072	0,035
	2	0,313	0,255	0,134	0,057
	3	0,433	0,359	0,179	0,074
	7	0,565	0,486	0,211	0,079
	-1	0,586	0,504	0,220	0,083
	5	0,683	0,612	0,220	0,071
	4	0,756	0,697	0,212	0,059
	9	0,892	0,861	0,166	0,031
	8	1,000	1,000	0,000	0,000

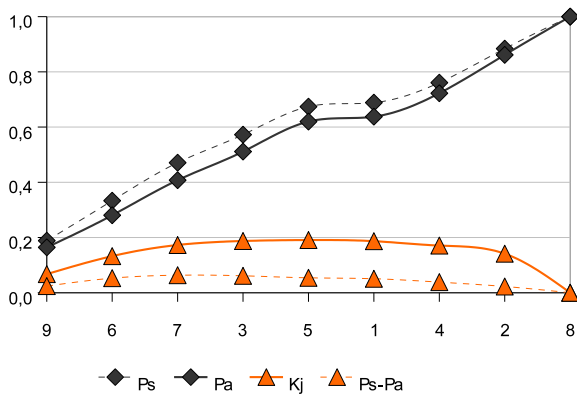
Neolítico



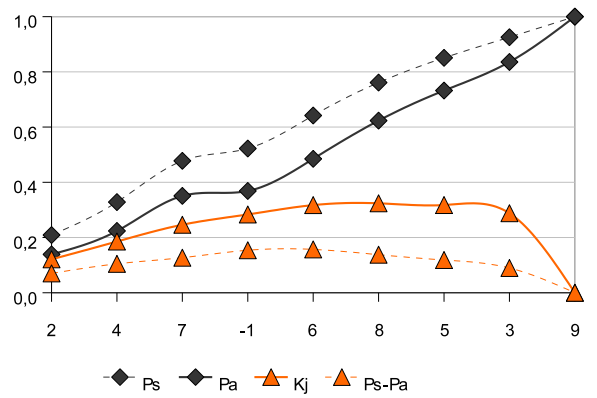
E. del Cobre



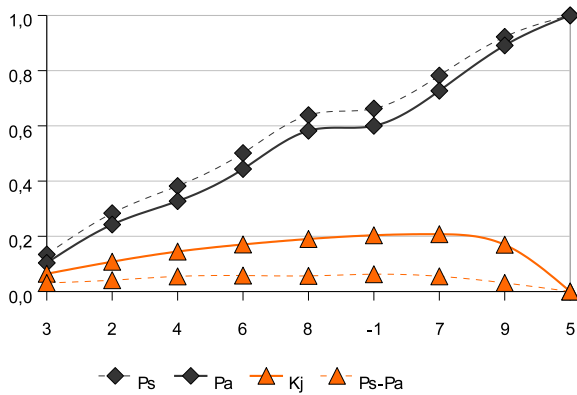
E. del Bronce



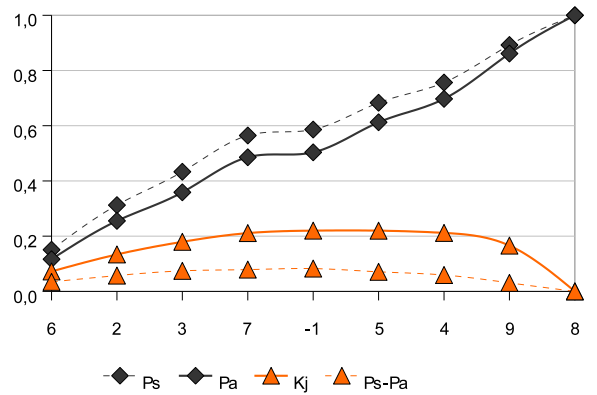
Bronce Final



E. del Hierro



Romano



## Morfología

NEOLÍTICO	cat	Ps	Pa	Kj	Ps-Pa
	6	0,107	0,049	0,078	0,058
	3	0,907	0,863	0,199	0,043
	1	0,973	0,899	0,268	0,074
	4	0,973	0,900	0,268	0,074
	5	1,000	1,000	0,000	0,000

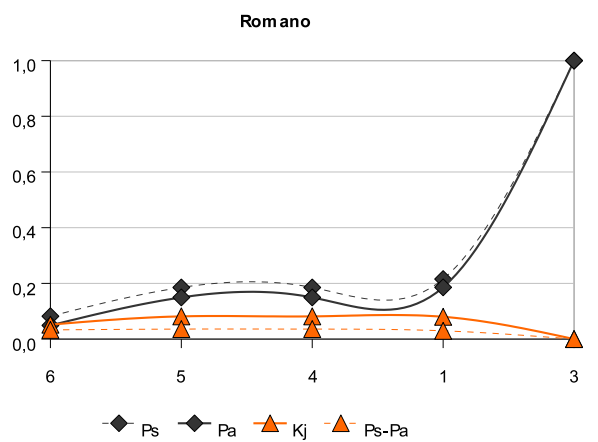
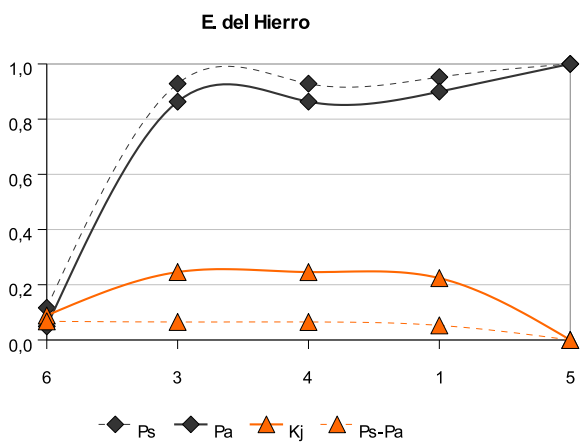
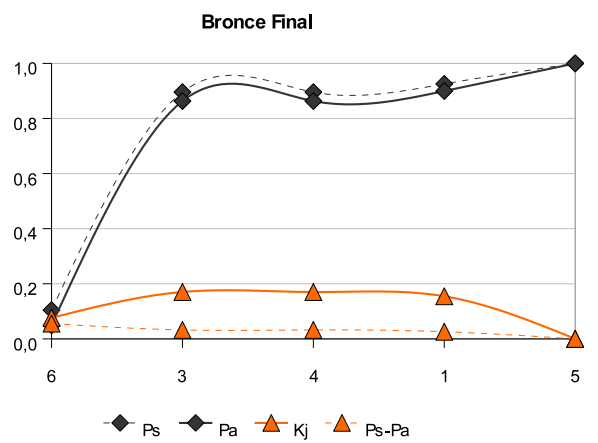
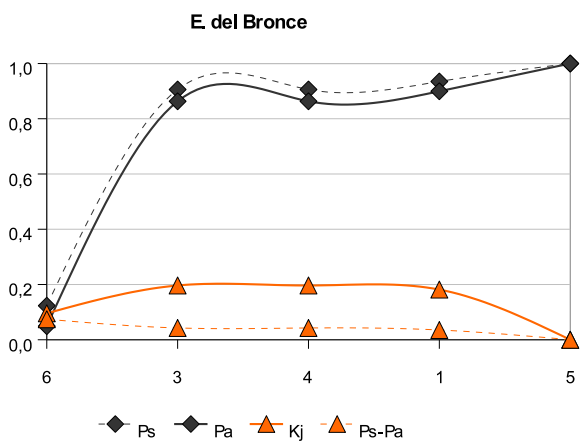
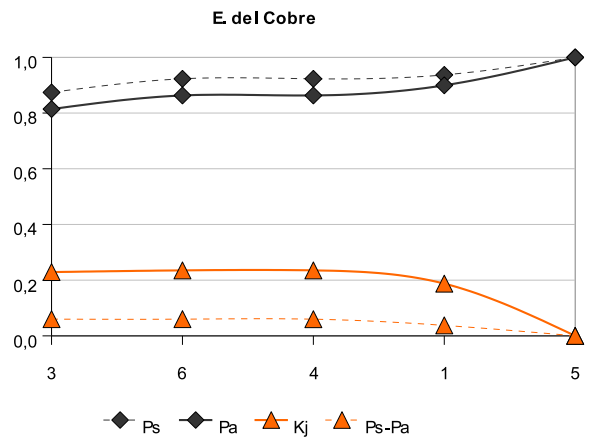
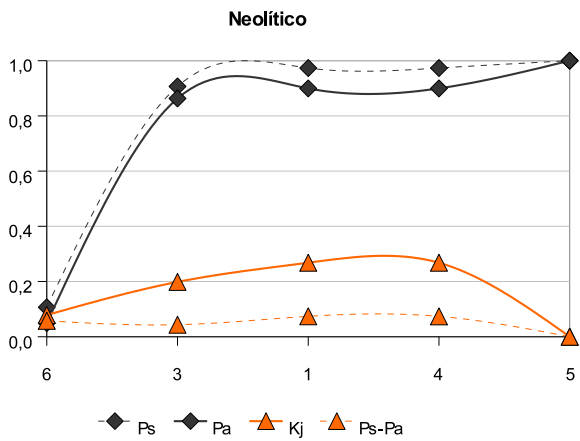
E. DEL COBRE	cat	Ps	Pa	Kj	Ps-Pa
	3	0,874	0,814	0,229	0,060
	6	0,923	0,863	0,235	0,060
	4	0,923	0,863	0,235	0,060
	1	0,937	0,900	0,188	0,038
	5	1,000	1,000	0,000	0,000

E. DEL BRONCE	cat	Ps	Pa	Kj	Ps-Pa
	6	0,123	0,049	0,096	0,074
	3	0,906	0,863	0,196	0,043
	4	0,906	0,863	0,196	0,043
	1	0,935	0,900	0,182	0,035
	5	1,000	1,000	0,000	0,000

BRONCE FINAL	cat	Ps	Pa	Kj	Ps-Pa
	6	0,104	0,049	0,076	0,055
	3	0,896	0,863	0,170	0,032
	4	0,896	0,863	0,170	0,032
	1	0,925	0,900	0,155	0,026
	5	1,000	1,000	0,000	0,000

E. DEL HIERRO	cat	Ps	Pa	Kj	Ps-Pa
	6	0,116	0,049	0,089	0,067
	3	0,928	0,863	0,246	0,065
	4	0,928	0,863	0,246	0,065
	1	0,952	0,900	0,224	0,053
	5	1,000	1,000	0,000	0,000

ROMANO	cat	Ps	Pa	Kj	Ps-Pa
	6	0,082	0,049	0,052	0,033
	5	0,185	0,149	0,082	0,036
	4	0,185	0,150	0,081	0,036
	1	0,216	0,186	0,080	0,030
	3	1,000	1,000	0,000	0,000



## Vegetación potencial

NEOLÍTICO	cat	Ps	Pa	Kj	Ps-Pa
	5	0,867	0,759	0,305	0,107
	2	0,880	0,767	0,316	0,113
	4	0,893	0,782	0,316	0,112
	1	0,893	0,792	0,300	0,101
	3	0,893	0,805	0,281	0,088
	6	1,000	1,000	0,000	0,000

E. DEL COBRE	cat	Ps	Pa	Kj	Ps-Pa
	5	0,846	0,759	0,271	0,087
	3	0,895	0,772	0,332	0,123
	2	0,902	0,779	0,333	0,123
	1	0,902	0,790	0,318	0,112
	4	0,902	0,805	0,296	0,097
	6	1,000	1,000	0,000	0,000

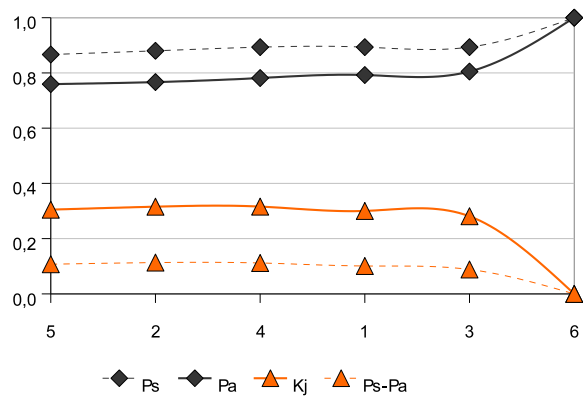
E. DEL BRONCE	cat	Ps	Pa	Kj	Ps-Pa
	5	0,957	0,759	0,434	0,197
	3	0,986	0,772	0,459	0,214
	2	0,986	0,779	0,451	0,206
	1	0,986	0,790	0,439	0,195
	4	0,986	0,805	0,422	0,181
	6	1,000	1,000	0,000	0,000

BRONCE FINAL	cat	Ps	Pa	Kj	Ps-Pa
	5	0,881	0,759	0,327	0,121
	3	0,910	0,772	0,355	0,139
	2	0,910	0,779	0,346	0,131
	1	0,910	0,790	0,331	0,120
	4	0,910	0,805	0,310	0,105
	6	1,000	1,000	0,000	0,000

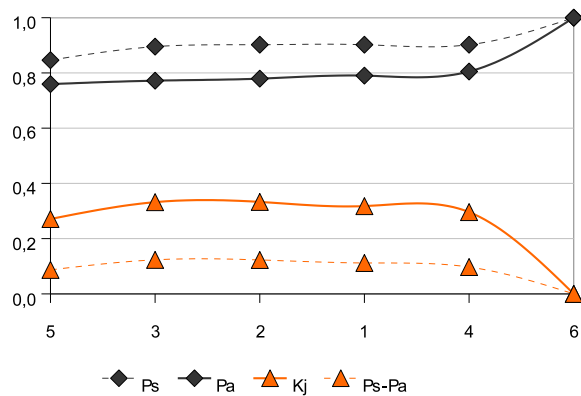
E. DEL HIERRO	cat	Ps	Pa	Kj	Ps-Pa
	5	0,881	0,759	0,327	0,121
	3	0,922	0,772	0,373	0,150
	4	0,931	0,787	0,367	0,145
	2	0,931	0,794	0,358	0,137
	1	0,931	0,805	0,343	0,126
	6	1,000	1,000	0,000	0,000

ROMANO	cat	Ps	Pa	Kj	Ps-Pa
	5	0,864	0,759	0,301	0,105
	3	0,886	0,772	0,318	0,114
	2	0,886	0,779	0,307	0,107
	4	0,890	0,794	0,292	0,096
	1	0,890	0,805	0,275	0,085
	6	1,000	1,000	0,000	0,000

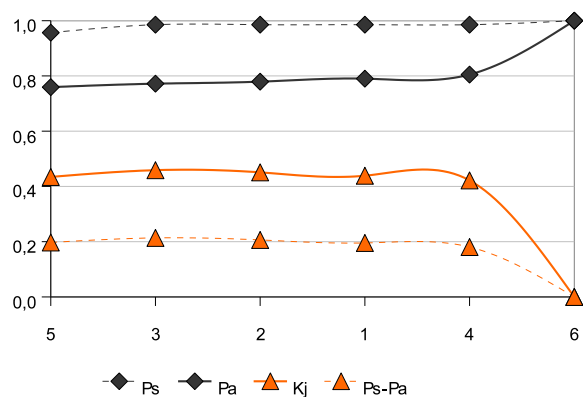
Neolítico



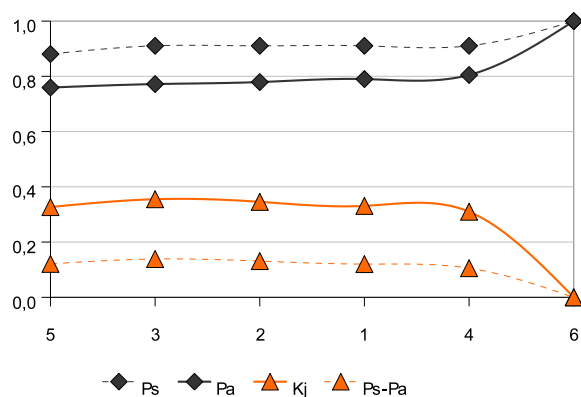
E. del Cobre



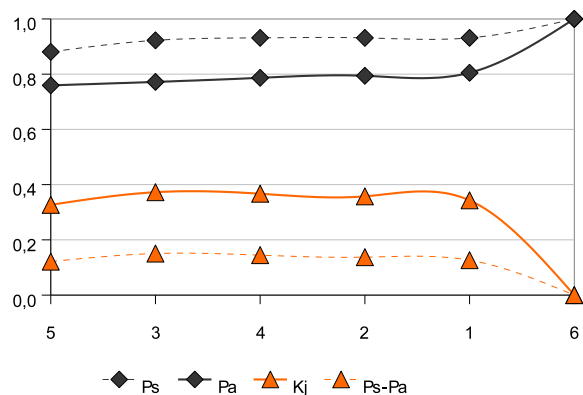
E. del Bronce



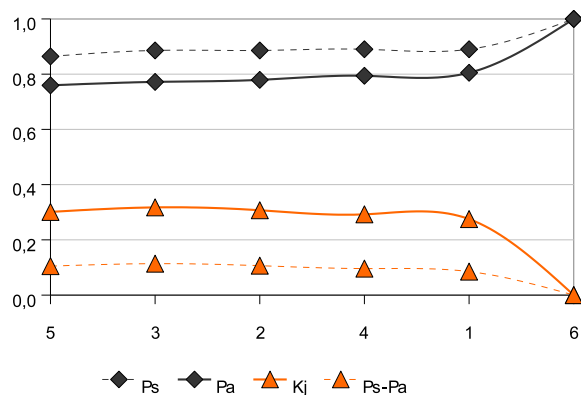
Bronce Final



E. del Hierro



Romano





## Landform

NEOLÍTICO	cat	Ps	Pa	Kj	Ps-Pa
	1	0,280	0,084	0,234	0,196
	3	0,573	0,323	0,378	0,250
	2	0,707	0,455	0,422	0,252
	4	0,947	0,760	0,421	0,187
	6	0,960	0,822	0,364	0,138
	5	1,000	1,000	0,000	0,000

E. DEL COBRE	cat	Ps	Pa	Kj	Ps-Pa
	1	0,287	0,084	0,241	0,202
	2	0,455	0,216	0,329	0,239
	4	0,706	0,520	0,362	0,186
	3	0,895	0,760	0,348	0,136
	6	0,902	0,822	0,269	0,080
	5	1,000	1,000	0,000	0,000

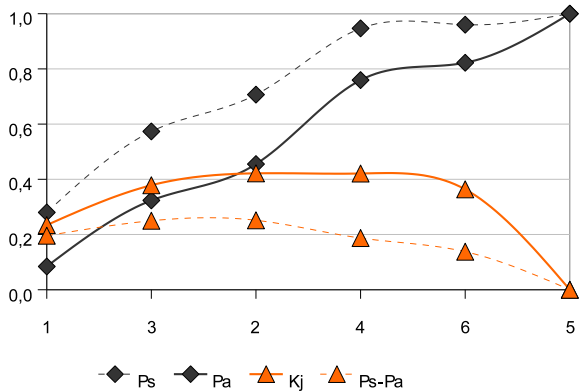
E. DEL BRONCE	cat	Ps	Pa	Kj	Ps-Pa
	1	0,297	0,084	0,251	0,213
	3	0,572	0,323	0,378	0,249
	2	0,725	0,455	0,442	0,270
	5	0,841	0,633	0,418	0,208
	6	0,855	0,696	0,369	0,159
	4	1,000	1,000	0,000	0,000

BRONCE FINAL	cat	Ps	Pa	Kj	Ps-Pa
	1	0,328	0,084	0,283	0,244
	2	0,552	0,216	0,431	0,336
	3	0,761	0,455	0,483	0,306
	6	0,791	0,518	0,465	0,273
	5	0,881	0,696	0,404	0,185
	4	1,000	1,000	0,000	0,000

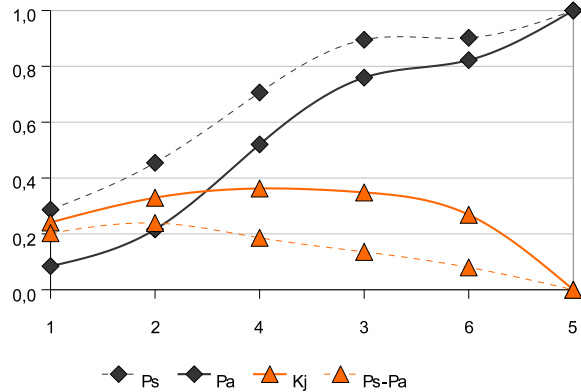
E. DEL HIERRO	cat	Ps	Pa	Kj	Ps-Pa
	1	0,260	0,084	0,213	0,175
	2	0,421	0,216	0,294	0,205
	3	0,651	0,455	0,357	0,196
	5	0,788	0,633	0,350	0,155
	6	0,803	0,696	0,294	0,107
	4	1,000	1,000	0,000	0,000

ROMANO	cat	Ps	Pa	Kj	Ps-Pa
	1	0,168	0,084	0,119	0,084
	4	0,481	0,389	0,210	0,092
	2	0,627	0,520	0,259	0,107
	6	0,679	0,583	0,255	0,096
	3	0,881	0,822	0,229	0,059
	5	1,000	1,000	0,000	0,000

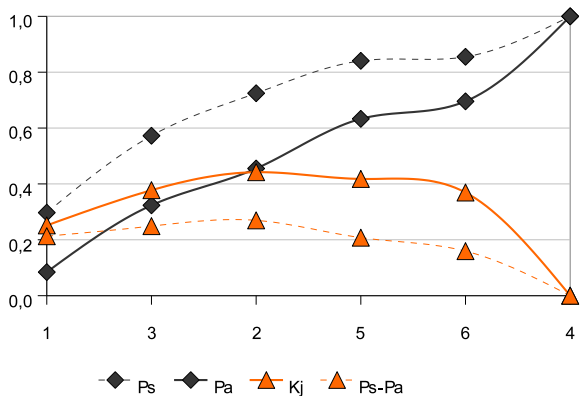
Neolítico



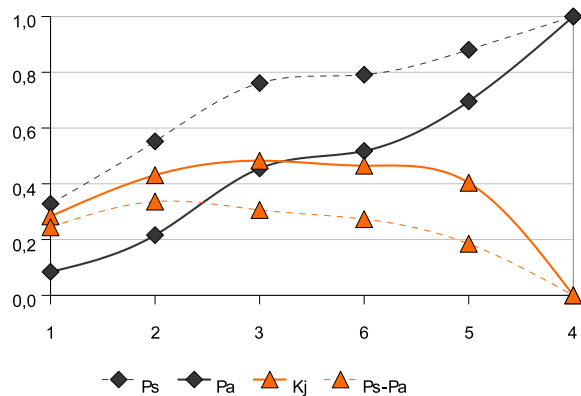
E. del Cobre



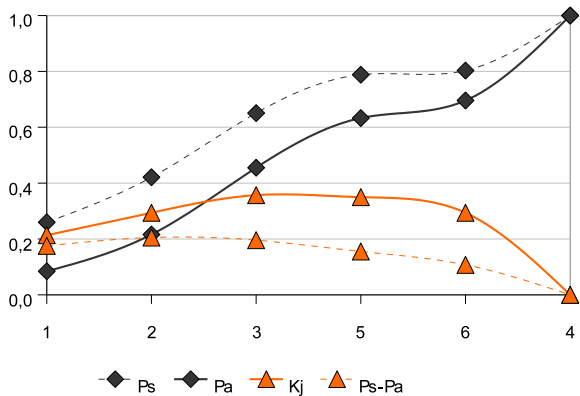
E. del Bronce



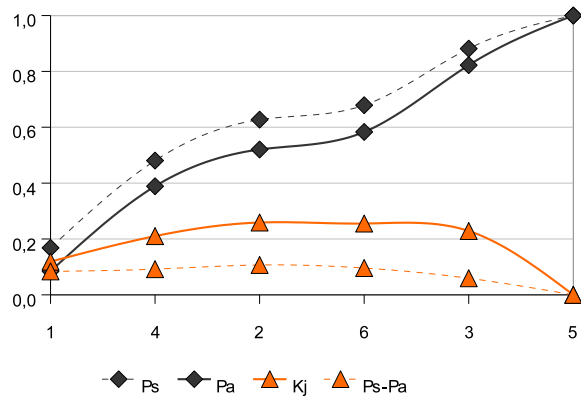
Bronce Final



E. del Hierro



Romano



## Aptitud agrícola del suelo

NEOLÍTICO	cat	Ps	Pa	Kj	Ps-Pa
	3	0,320	0,239	0,161	0,081
	1	0,720	0,618	0,272	0,102
	0	0,733	0,622	0,286	0,111
	2	1,000	1,000	0,000	0,000

E. DEL BRONCE	cat	Ps	Pa	Kj	Ps-Pa
	3	0,297	0,239	0,131	0,058
	1	0,652	0,618	0,150	0,035
	0	0,659	0,622	0,157	0,038
	2	1,000	1,000	0,000	0,000

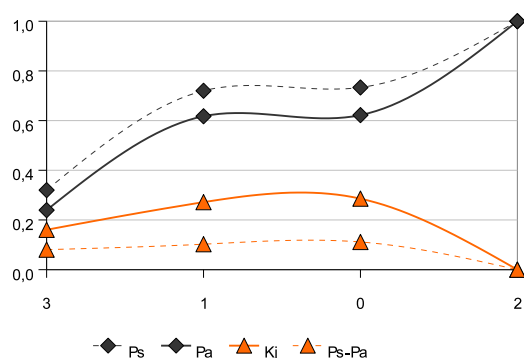
E. DEL HIERRO	cat	Ps	Pa	Kj	Ps-Pa
	1	0,451	0,378	0,181	0,073
	3	0,696	0,618	0,233	0,078
	0	0,701	0,622	0,236	0,080
	2	1,000	1,000	0,000	0,000

E. DEL COBRE	cat	Ps	Pa	Kj	Ps-Pa
	1	0,427	0,378	0,144	0,049
	0	0,455	0,382	0,181	0,072
	3	0,678	0,622	0,196	0,056
	2	1,000	1,000	0,000	0,000

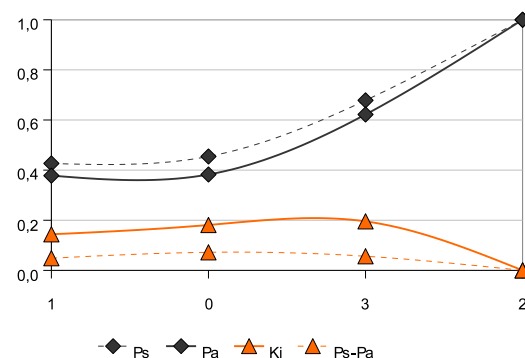
BRONCE FINAL	cat	Ps	Pa	Kj	Ps-Pa
	1	0,478	0,378	0,218	0,100
	3	0,761	0,618	0,331	0,144
	0	0,761	0,622	0,326	0,139
	2	1,000	1,000	0,000	0,000

ROMANO	cat	Ps	Pa	Kj	Ps-Pa
	1	0,541	0,378	0,297	0,163
	0	0,550	0,382	0,303	0,167
	3	0,748	0,622	0,307	0,126
	2	1,000	1,000	0,000	0,000

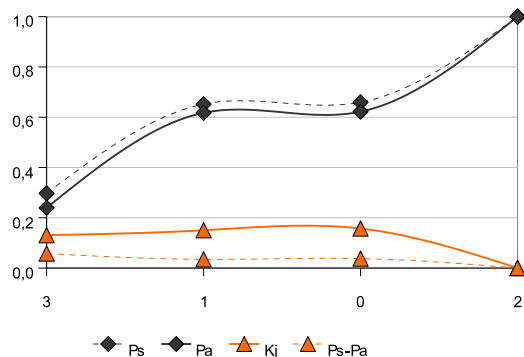
Neolítico



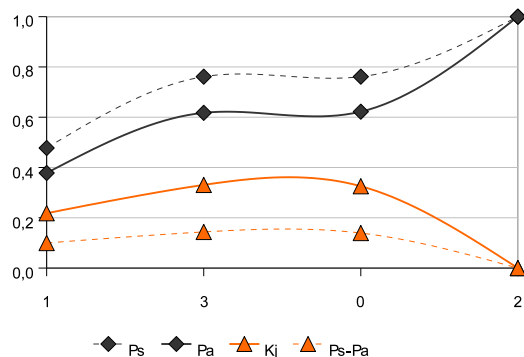
E. del Cobre



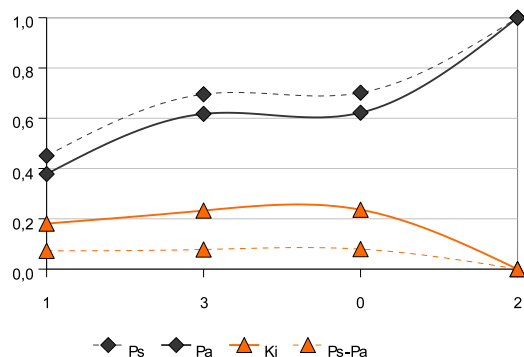
E. del Bronce



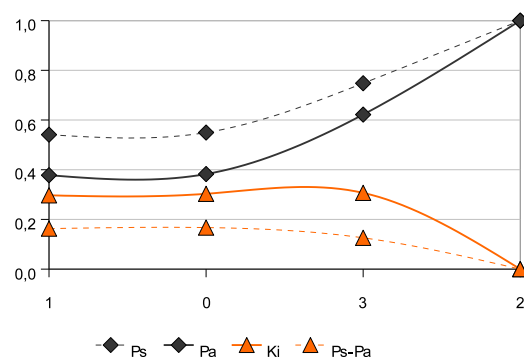
Bronce Final



E. del Hierro



Romano



## ÁMBITO SUBREGIÓN 4. BÉTICAS

### Altitud absoluta

NEOLÍTICO	cat	Ps	Pa	Kj	Ps-Pa
	5	0,886	0,741	0,359	0,145
	4	0,975	0,843	0,358	0,132
	2	0,981	0,882	0,312	0,099
	1	0,987	0,936	0,225	0,051
	3	1,000	1,000	0,000	0,000

E. DEL COBRE	cat	Ps	Pa	Kj	Ps-Pa
	5	0,852	0,741	0,307	0,111
	4	0,956	0,843	0,328	0,112
	3	0,993	0,907	0,291	0,086
	2	1,000	0,946	0,233	0,054
	1	1,000	1,000	0,000	0,000

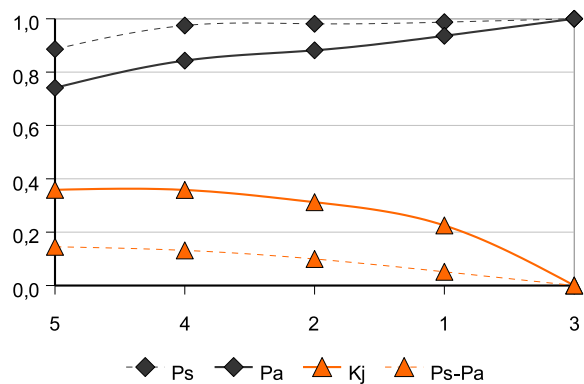
E. DEL BRONCE	cat	Ps	Pa	Kj	Ps-Pa
	5	0,917	0,741	0,402	0,176
	4	0,983	0,843	0,372	0,140
	2	0,983	0,882	0,317	0,102
	1	0,992	0,936	0,235	0,056
	3	1,000	1,000	0,000	0,000

BRONCE FINAL	cat	Ps	Pa	Kj	Ps-Pa
	4	0,185	0,102	0,124	0,083
	3	0,296	0,166	0,196	0,130
	5	0,963	0,907	0,232	0,056
	1	1,000	0,961	0,196	0,039
	2	1,000	1,000	0,000	0,000

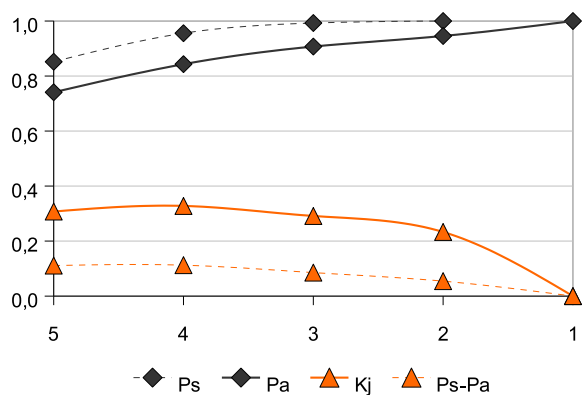
E. DEL HIERRO	cat	Ps	Pa	Kj	Ps-Pa
	4	0,158	0,102	0,094	0,056
	1	0,248	0,157	0,150	0,091
	3	0,327	0,221	0,186	0,106
	5	1,000	0,961	0,196	0,039
	2	1,000	1,000	0,000	0,000

ROMANO	cat	Ps	Pa	Kj	Ps-Pa
	4	0,184	0,102	0,123	0,082
	3	0,262	0,166	0,159	0,096
	5	0,942	0,907	0,181	0,035
	1	0,985	0,961	0,154	0,024
	2	1,000	1,000	0,000	0,000

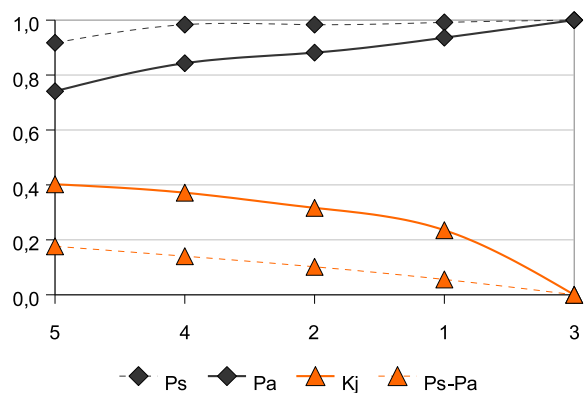
**Neolítico**



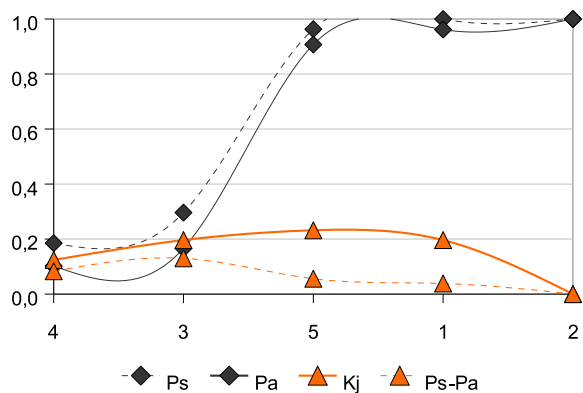
**E. del Cobre**



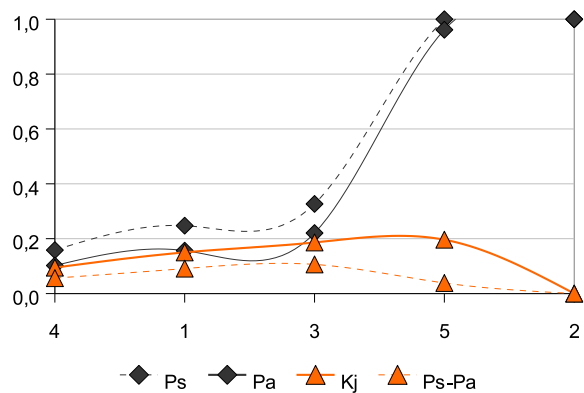
**E. del Bronce**



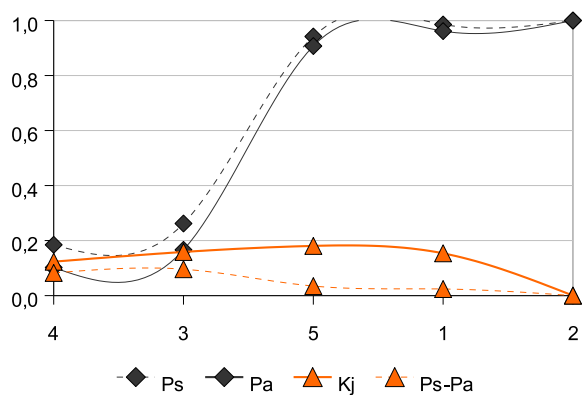
**Bronce Final**



**E. del Hierro**



**Romano**



## Altitud relativa

NEOLÍTICO	cat	Ps	Pa	Kj	Ps-Pa
	5	0,222	0,100	0,164	0,121
	4	0,437	0,245	0,289	0,191
	1	0,696	0,517	0,354	0,180
	3	0,772	0,589	0,376	0,183
	2	1,000	1,000	0,000	0,000

E. DEL COBRE	cat	Ps	Pa	Kj	Ps-Pa
	4	0,252	0,145	0,164	0,107
	5	0,444	0,245	0,298	0,199
	3	0,548	0,318	0,356	0,231
	2	0,844	0,729	0,313	0,116
	1	1,000	1,000	0,000	0,000

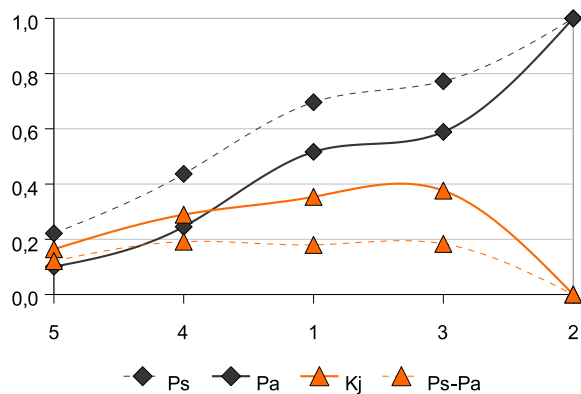
E. DEL BRONCE	cat	Ps	Pa	Kj	Ps-Pa
	5	0,256	0,100	0,200	0,156
	4	0,479	0,245	0,335	0,234
	3	0,587	0,318	0,397	0,269
	1	0,785	0,589	0,393	0,196
	2	1,000	1,000	0,000	0,000

BRONCE FINAL	cat	Ps	Pa	Kj	Ps-Pa
	4	0,296	0,145	0,212	0,151
	5	0,444	0,245	0,298	0,199
	3	0,556	0,318	0,364	0,238
	2	0,852	0,729	0,324	0,123
	1	1,000	1,000	0,000	0,000

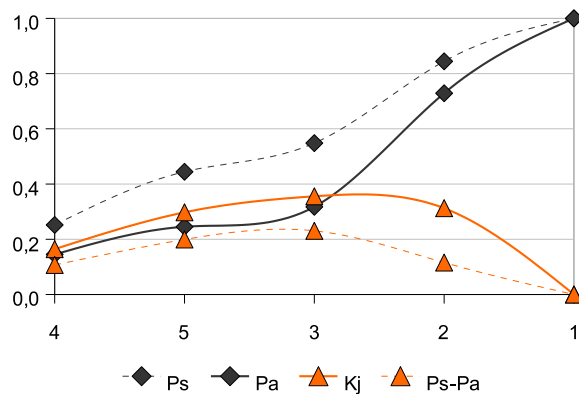
E. DEL HIERRO	cat	Ps	Pa	Kj	Ps-Pa
	5	0,178	0,100	0,118	0,078
	4	0,376	0,245	0,222	0,131
	2	0,762	0,657	0,284	0,106
	3	0,861	0,729	0,338	0,133
	1	1,000	1,000	0,000	0,000

ROMANO	cat	Ps	Pa	Kj	Ps-Pa
	1	0,311	0,271	0,111	0,039
	5	0,422	0,372	0,146	0,051
	4	0,573	0,517	0,180	0,056
	3	0,641	0,589	0,183	0,052
	2	1,000	1,000	0,000	0,000

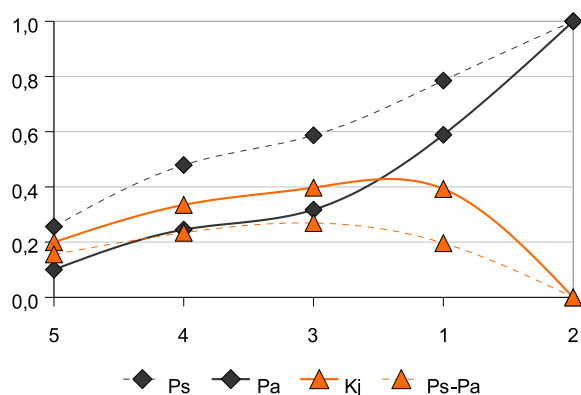
**Neolítico**



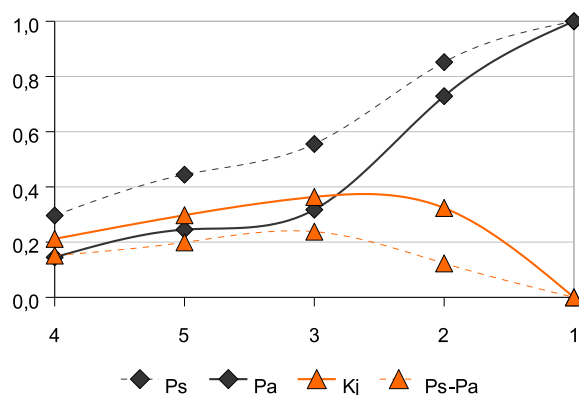
**E. del Cobre**



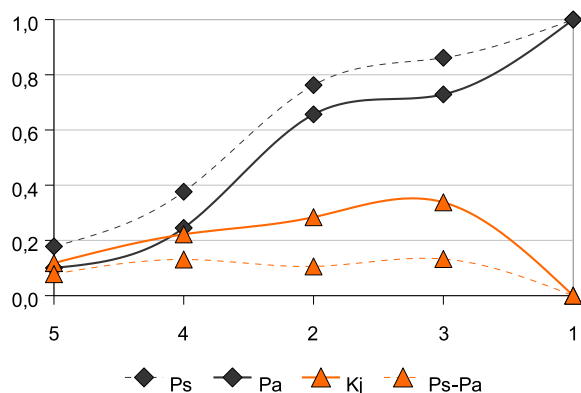
**E. del Bronce**



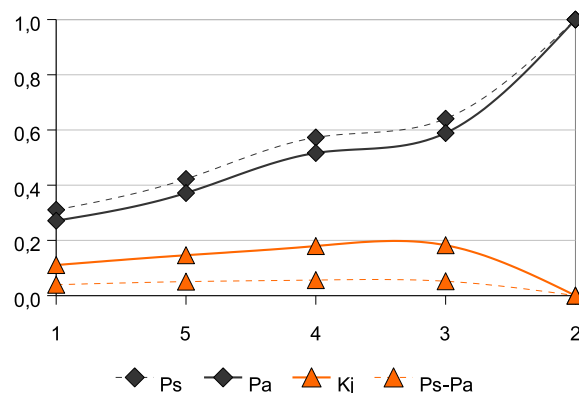
**Bronce Final**



**E. del Hierro**



**Romano**



## Pendiente

NEOLÍTICO	cat	Ps	Pa	Kj	Ps-Pa
	3	0,430	0,341	0,196	0,090
	2	0,709	0,618	0,254	0,091
	1	1,000	1,000	0,000	0,000

E DEL COBRE	cat	Ps	Pa	Kj	Ps-Pa
	3	0,356	0,341	0,072	0,015
	2	0,630	0,618	0,087	0,012
	1	1,000	1,000	0,000	0,000

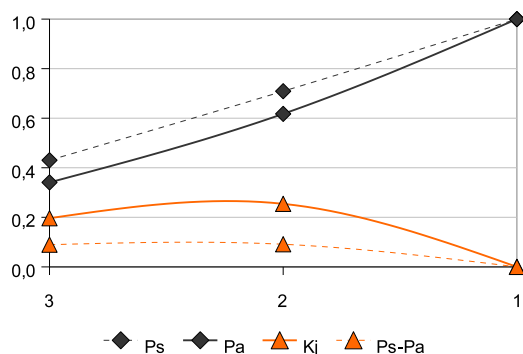
E DEL BRONCE	cat	Ps	Pa	Kj	Ps-Pa
	2	0,347	0,277	0,156	0,070
	3	0,702	0,618	0,244	0,085
	1	1,000	1,000	0,000	0,000

BRONCE FINAL	cat	Ps	Pa	Kj	Ps-Pa
	2	0,333	0,277	0,137	0,057
	1	0,704	0,659	0,177	0,045
	3	1,000	1,000	0,000	0,000

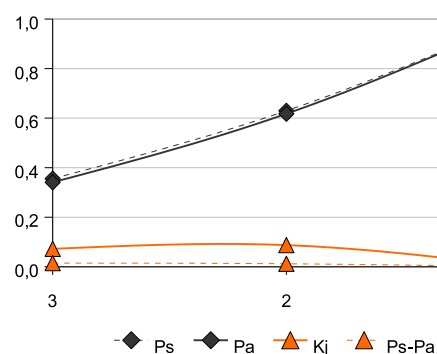
E DEL HIERRO	cat	Ps	Pa	Kj	Ps-Pa
	2	0,386	0,277	0,206	0,110
	1	0,772	0,659	0,296	0,113
	3	1,000	1,000	0,000	0,000

ROMANO	cat	Ps	Pa	Kj	Ps-Pa
	2	0,408	0,277	0,231	0,131
	1	0,728	0,659	0,224	0,069
	3	1,000	1,000	0,000	0,000

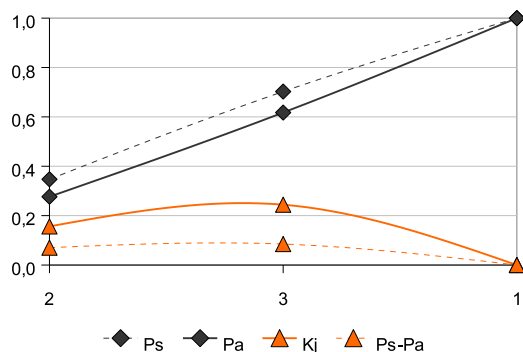
Neolítico



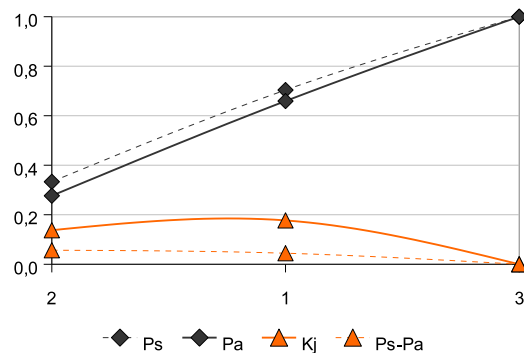
E. del Cobre



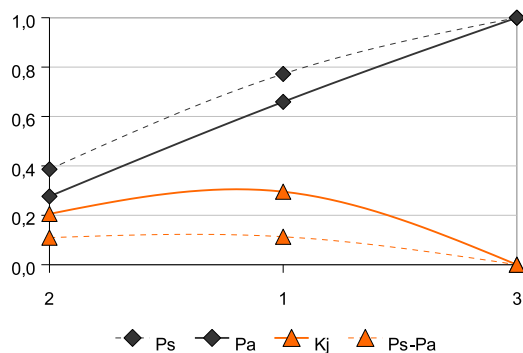
E. del Bronce



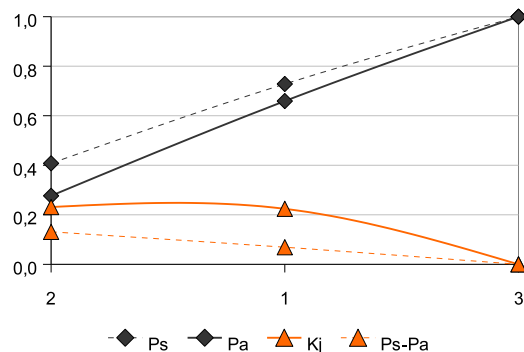
Bronce Final



E. del Hierro



Romano





## Distancia a red hidrográfica

NEOLÍTICO	cat	Ps	Pa	Kj	Ps-Pa
	1	0,551	0,478	0,200	0,073
	3	0,709	0,607	0,269	0,102
	4	0,804	0,731	0,241	0,072
	2	1,000	1,000	0,000	0,000

E DEL COBRE	cat	Ps	Pa	Kj	Ps-Pa
	1	0,630	0,478	0,309	0,152
	2	0,852	0,747	0,299	0,105
	3	0,933	0,875	0,232	0,058
	4	1,000	1,000	0,000	0,000

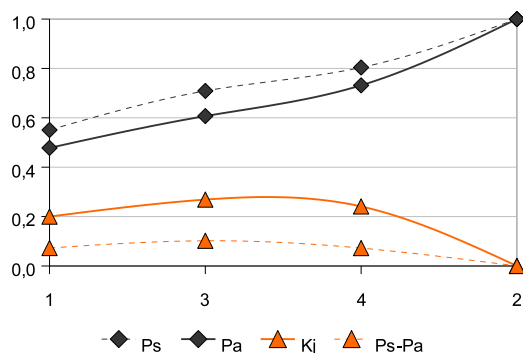
E. DEL BRONCE	cat	Ps	Pa	Kj	Ps-Pa
	1	0,529	0,478	0,164	0,051
	2	0,785	0,747	0,174	0,039
	4	0,901	0,871	0,163	0,030
	3	1,000	1,000	0,000	0,000

BRONCE FINAL	cat	Ps	Pa	Kj	Ps-Pa
	1	0,704	0,478	0,398	0,226
	4	0,778	0,603	0,369	0,175
	2	0,963	0,871	0,297	0,092
	3	1,000	1,000	0,000	0,000

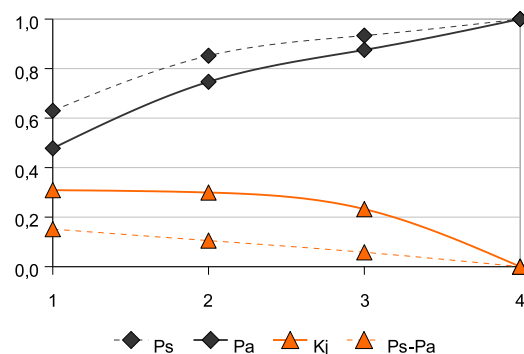
E. DEL HIERRO	cat	Ps	Pa	Kj	Ps-Pa
	1	0,653	0,478	0,339	0,175
	4	0,752	0,603	0,336	0,150
	2	0,970	0,871	0,310	0,099
	3	1,000	1,000	0,000	0,000

ROMANO	cat	Ps	Pa	Kj	Ps-Pa
	1	0,534	0,478	0,173	0,056
	3	0,684	0,607	0,230	0,078
	2	0,913	0,875	0,184	0,037
	4	1,000	1,000	0,000	0,000

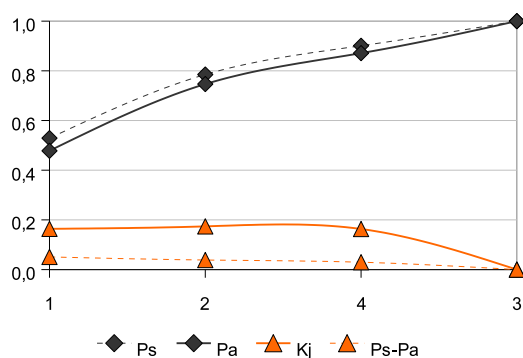
Neolítico



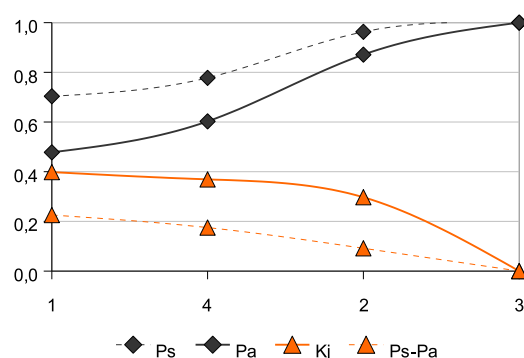
E. del Cobre



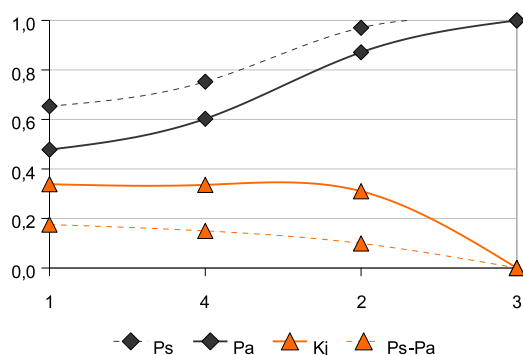
E. del Bronce



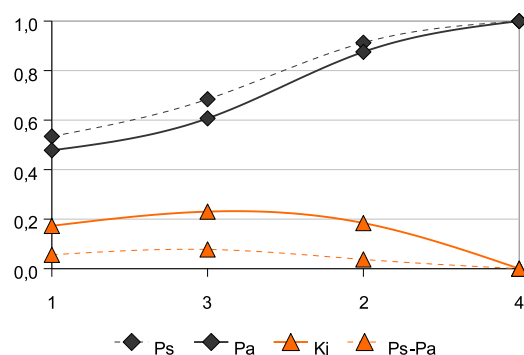
Bronce Final



E. del Hierro



Romano



## Orientación

NEOLÍTICO	cat	Ps	Pa	Kj	Ps-Pa
	7	0,165	0,120	0,085	0,044
	3	0,291	0,226	0,137	0,065
	6	0,424	0,347	0,181	0,077
	4	0,544	0,454	0,221	0,090
	9	0,696	0,603	0,255	0,093
	-1	0,703	0,613	0,250	0,089
	2	0,810	0,737	0,243	0,073
	5	0,918	0,872	0,206	0,046
	8	1,000	1,000	0,000	0,000

E. DEL COBRE	cat	Ps	Pa	Kj	Ps-Pa
	3	0,185	0,106	0,121	0,079
	2	0,326	0,230	0,177	0,096
	5	0,467	0,365	0,218	0,102
	4	0,585	0,472	0,257	0,113
	8	0,711	0,600	0,280	0,111
	6	0,822	0,721	0,289	0,101
	1	0,822	0,731	0,274	0,091
	7	0,919	0,851	0,249	0,067
	9	1,000	1,000	0,000	0,000

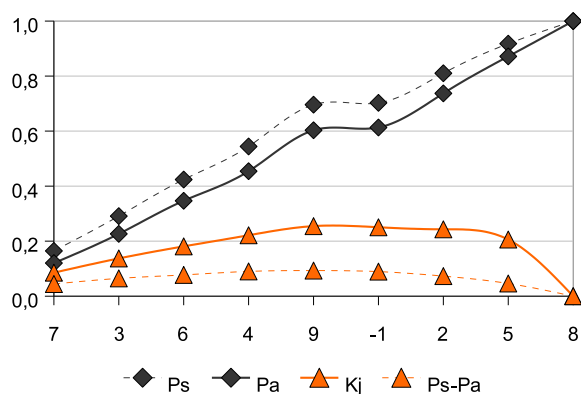
E. DEL BRONCE	cat	Ps	Pa	Kj	Ps-Pa
	3	0,140	0,106	0,069	0,034
	9	0,314	0,255	0,136	0,059
	6	0,463	0,375	0,201	0,087
	4	0,587	0,483	0,247	0,104
	8	0,711	0,611	0,266	0,100
	7	0,826	0,731	0,280	0,095
	-1	0,826	0,742	0,265	0,085
	2	0,909	0,866	0,199	0,043
	5	1,000	1,000	0,000	0,000

BRONCE FINAL	cat	Ps	Pa	Kj	Ps-Pa
	5	0,222	0,134	0,140	0,088
	3	0,407	0,241	0,261	0,167
	4	0,556	0,348	0,340	0,208
	7	0,704	0,468	0,407	0,235
	6	0,815	0,589	0,429	0,226
	-1	0,815	0,599	0,420	0,216
	2	0,889	0,723	0,384	0,166
	8	0,963	0,851	0,328	0,112
	9	1,000	1,000	0,000	0,000

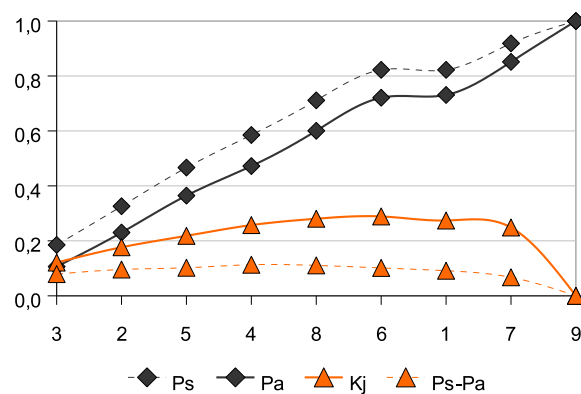
E. DEL HIERRO	cat	Ps	Pa	Kj	Ps-Pa
	3	0,149	0,106	0,079	0,042
	4	0,297	0,214	0,157	0,083
	8	0,436	0,342	0,202	0,094
	6	0,564	0,462	0,240	0,102
	2	0,693	0,586	0,272	0,107
	9	0,822	0,735	0,267	0,087
	1	0,822	0,745	0,251	0,076
	7	0,911	0,866	0,203	0,045
	5	1,000	1,000	0,000	0,000

ROMANO	cat	Ps	Pa	Kj	Ps-Pa
	4	0,165	0,107	0,097	0,058
	3	0,301	0,214	0,162	0,087
	9	0,447	0,362	0,194	0,084
	2	0,568	0,486	0,215	0,081
	7	0,684	0,607	0,231	0,078
	8	0,806	0,735	0,239	0,071
	-1	0,806	0,745	0,221	0,060
	5	0,913	0,880	0,173	0,033
	6	1,000	1,000	0,000	0,000

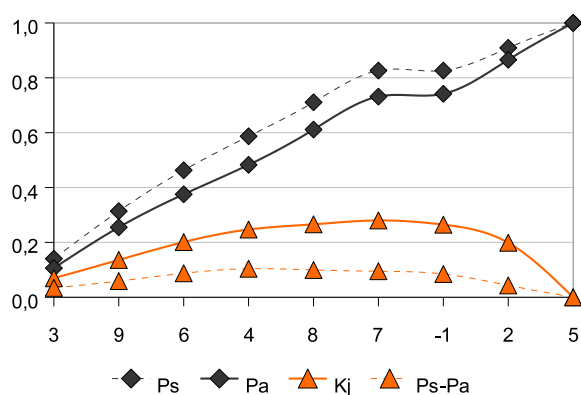
**Neolítico**



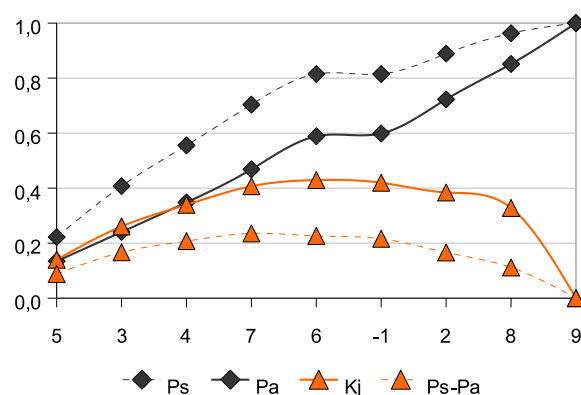
**E. del Cobre**



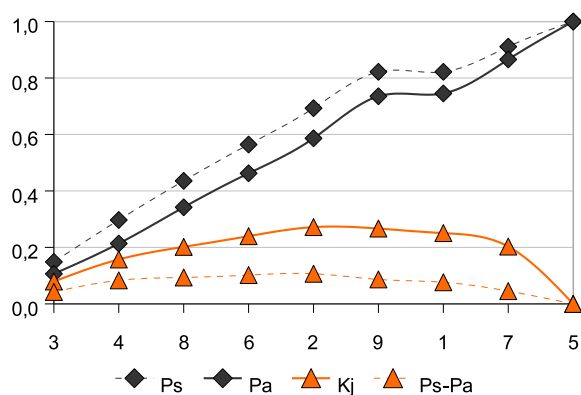
**E. del Bronce**



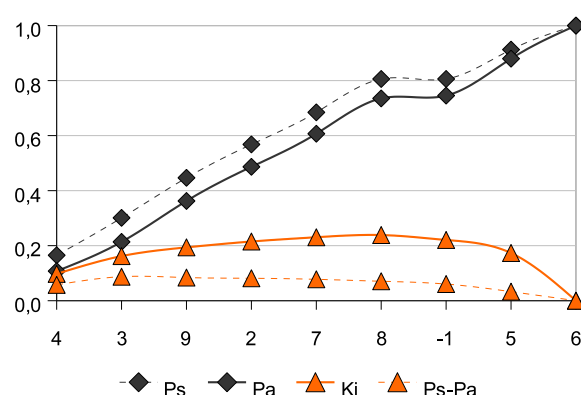
**Bronce Final**



**E. del Hierro**



**Romano**



## Morfología

NEOLÍTICO	cat	Ps	Pa	Kj	Ps-Pa
	6	0,196	0,087	0,146	0,109
	5	0,354	0,224	0,215	0,130
	3	0,791	0,720	0,236	0,071
	2	0,791	0,721	0,236	0,070
	4	0,791	0,722	0,235	0,070
	1	1,000	1,000	0,000	0,000

E. DEL COBRE	cat	Ps	Pa	Kj	Ps-Pa
	3	0,556	0,496	0,181	0,059
	6	0,756	0,584	0,360	0,172
	5	0,911	0,720	0,417	0,191
	2	0,911	0,721	0,416	0,190
	4	0,911	0,722	0,416	0,190
	1	1,000	1,000	0,000	0,000

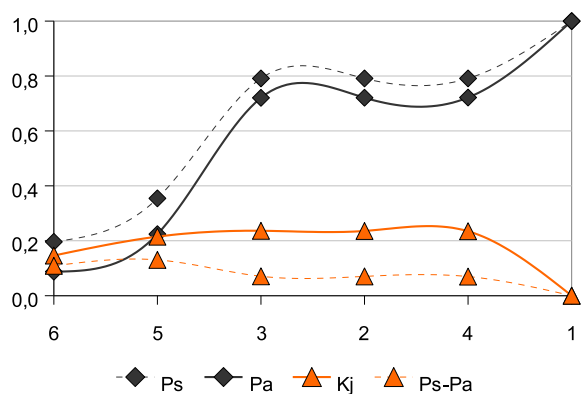
E. DEL BRONCE	cat	Ps	Pa	Kj	Ps-Pa
	6	0,215	0,087	0,165	0,127
	5	0,347	0,224	0,207	0,123
	3	0,777	0,720	0,209	0,056
	2	0,777	0,721	0,208	0,056
	4	0,777	0,722	0,207	0,055
	1	1,000	1,000	0,000	0,000

BRONCE FINAL	cat	Ps	Pa	Kj	Ps-Pa
	6	0,259	0,087	0,211	0,172
	3	0,741	0,584	0,341	0,157
	2	0,741	0,584	0,340	0,156
	4	0,741	0,585	0,340	0,156
	5	0,852	0,722	0,333	0,130
	1	1,000	1,000	0,000	0,000

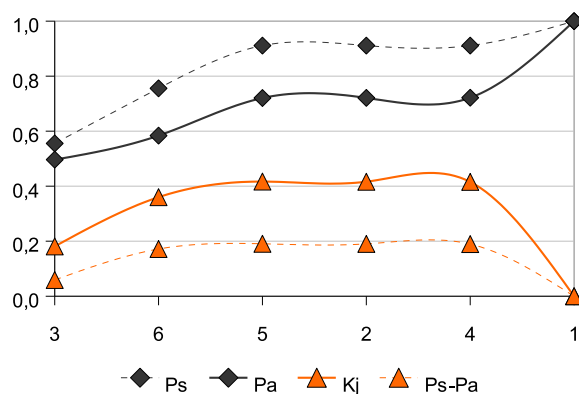
E. DEL HIERRO	cat	Ps	Pa	Kj	Ps-Pa
	6	0,248	0,087	0,199	0,160
	3	0,762	0,584	0,369	0,178
	2	0,772	0,584	0,381	0,188
	4	0,772	0,585	0,380	0,187
	5	0,881	0,722	0,375	0,160
	1	1,000	1,000	0,000	0,000

ROMANO	cat	Ps	Pa	Kj	Ps-Pa
	3	0,587	0,496	0,231	0,091
	6	0,752	0,584	0,356	0,169
	4	0,767	0,584	0,374	0,183
	2	0,772	0,585	0,380	0,187
	5	0,864	0,722	0,351	0,143
	1	1,000	1,000	0,000	0,000

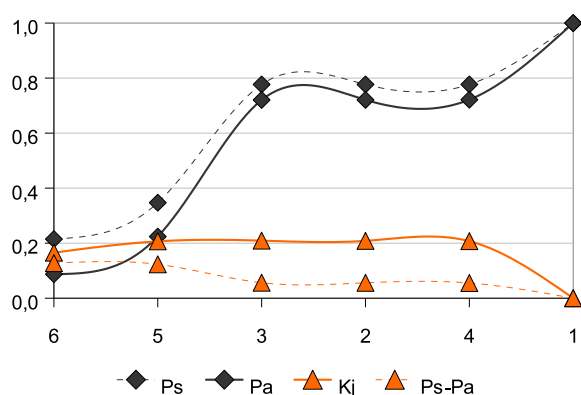
**Neolítico**



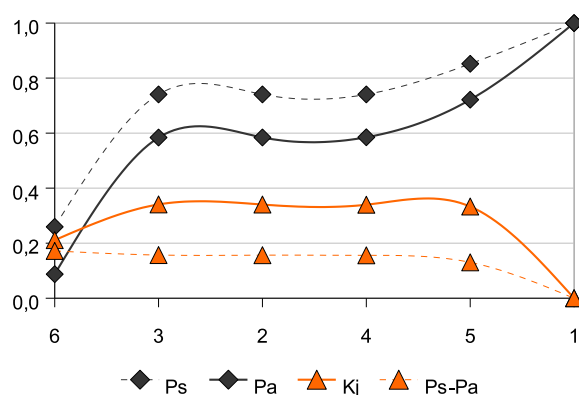
**E. del Cobre**



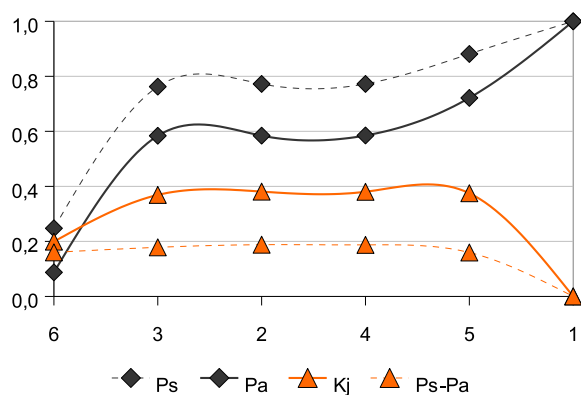
**E. del Bronce**



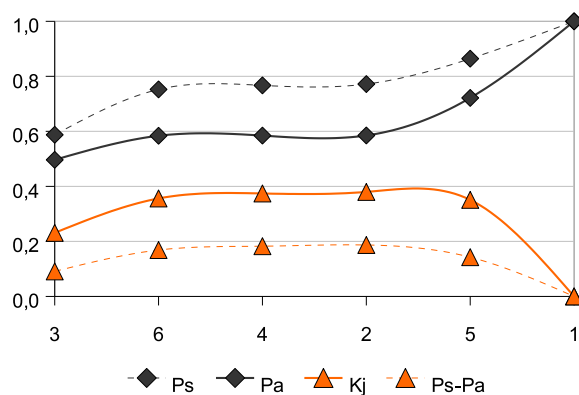
**Bronce Final**



**E. del Hierro**



**Romano**



## Vegetación potencial

NEOLÍTICO	cat	Ps	Pa	Kj	Ps-Pa
	5	0,753	0,590	0,351	0,163
	3	0,829	0,613	0,423	0,216
	9	0,829	0,614	0,423	0,215
	6	0,848	0,643	0,417	0,205
	1	0,854	0,658	0,410	0,196
	8	0,854	0,681	0,385	0,173
	4	0,994	0,896	0,312	0,098
	2	1,000	1,000	0,000	0,000

E. DEL COBRE	cat	Ps	Pa	Kj	Ps-Pa
	5	0,748	0,590	0,344	0,158
	3	0,800	0,613	0,386	0,187
	6	0,837	0,643	0,403	0,194
	9	0,837	0,643	0,403	0,194
	1	0,837	0,658	0,387	0,179
	8	0,837	0,681	0,361	0,156
	4	0,993	0,896	0,310	0,097
	2	1,000	1,000	0,000	0,000

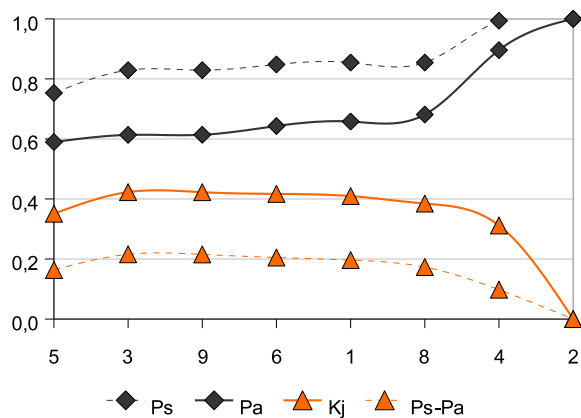
E. DEL BRONCE	cat	Ps	Pa	Kj	Ps-Pa
	5	0,678	0,590	0,244	0,088
	3	0,810	0,613	0,399	0,196
	9	0,810	0,614	0,399	0,196
	4	0,983	0,828	0,391	0,155
	1	0,983	0,843	0,371	0,140
	8	0,983	0,867	0,339	0,117
	6	0,983	0,896	0,294	0,088
	2	1,000	1,000	0,000	0,000

BRONCE FINAL	cat	Ps	Pa	Kj	Ps-Pa
	3	0,185	0,024	0,173	0,161
	5	0,778	0,613	0,358	0,164
	6	0,852	0,643	0,422	0,209
	1	0,889	0,658	0,453	0,231
	9	0,889	0,658	0,453	0,231
	8	0,889	0,681	0,430	0,208
	2	0,926	0,785	0,361	0,141
	4	1,000	1,000	0,000	0,000

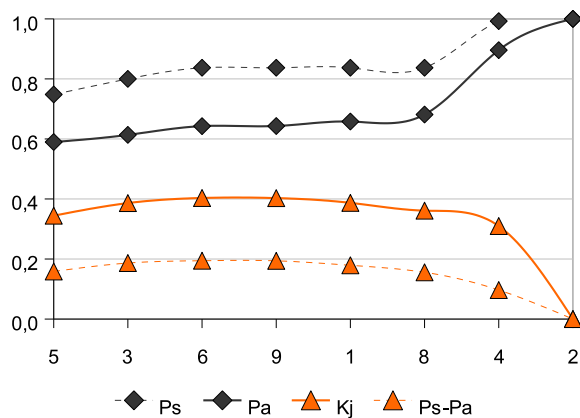
E. DEL HIERRO	cat	Ps	Pa	Kj	Ps-Pa
	5	0,713	0,590	0,296	0,123
	3	0,762	0,613	0,337	0,149
	1	0,802	0,628	0,373	0,174
	6	0,842	0,658	0,393	0,184
	9	0,842	0,658	0,393	0,184
	8	0,842	0,681	0,367	0,160
	2	0,901	0,785	0,323	0,116
	4	1,000	1,000	0,000	0,000

ROMANO	cat	Ps	Pa	Kj	Ps-Pa
	5	0,811	0,590	0,423	0,221
	6	0,854	0,619	0,448	0,235
	3	0,879	0,643	0,455	0,236
	1	0,893	0,658	0,459	0,236
	9	0,893	0,658	0,458	0,235
	8	0,893	0,681	0,435	0,212
	2	0,942	0,785	0,384	0,156
	4	1,000	1,000	0,000	0,000

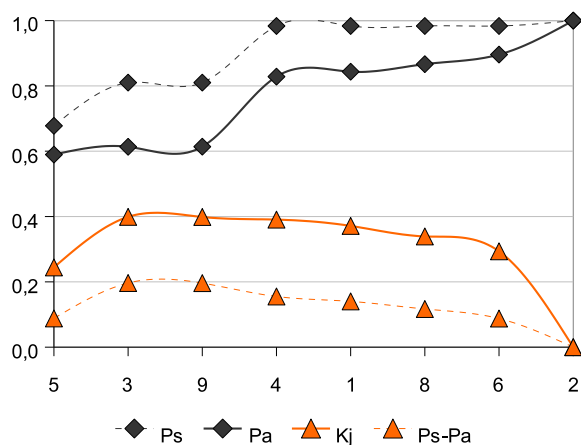
**Neolítico**



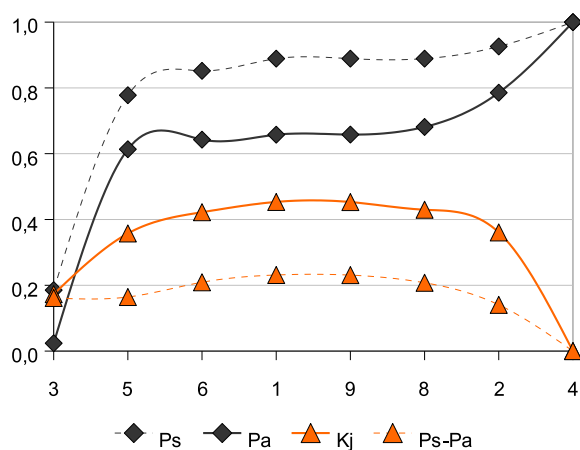
**E. del Cobre**



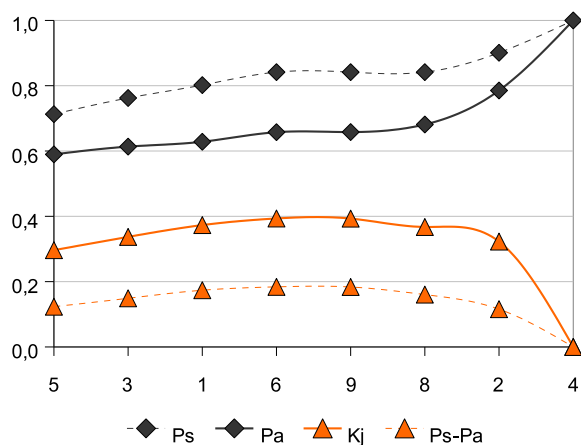
**E. del Bronce**



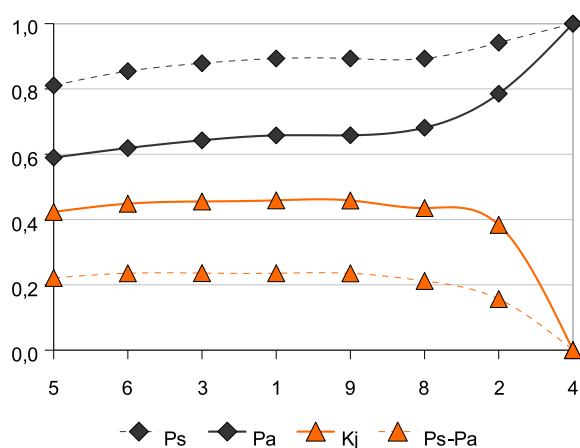
**Bronce Final**



**E. del Hierro**



**Romano**



## Landform

NEOLÍTICO	cat	Ps	Pa	Kj	Ps-Pa
	5	0,209	0,166	0,095	0,043
	1	0,348	0,241	0,193	0,107
	3	0,684	0,566	0,283	0,117
	2	0,829	0,700	0,327	0,129
	6	0,880	0,760	0,325	0,120
	4	1,000	1,000	0,000	0,000

E. DEL COBRE	cat	Ps	Pa	Kj	Ps-Pa
	2	0,185	0,134	0,097	0,051
	3	0,519	0,460	0,175	0,059
	1	0,607	0,535	0,210	0,072
	5	0,770	0,700	0,232	0,070
	6	0,815	0,760	0,212	0,055
	4	1,000	1,000	0,000	0,000

E. DEL BRONCE	cat	Ps	Pa	Kj	Ps-Pa
	1	0,165	0,075	0,122	0,090
	2	0,347	0,209	0,219	0,138
	3	0,678	0,535	0,311	0,143
	6	0,744	0,594	0,333	0,149
	5	0,868	0,760	0,306	0,108
	4	1,000	1,000	0,000	0,000

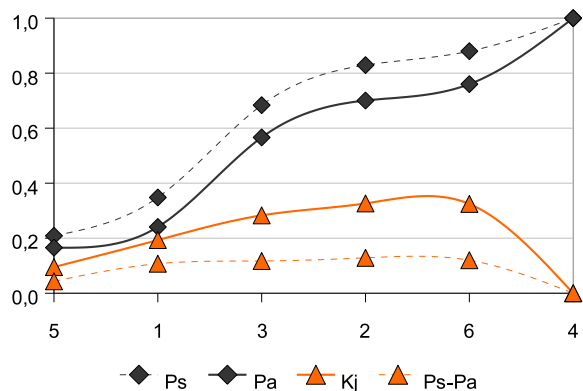
BRONCE FINAL	cat	Ps	Pa	Kj	Ps-Pa
	3	0,444	0,326	0,230	0,119
	5	0,667	0,491	0,342	0,176
	4	0,889	0,731	0,374	0,158
	1	0,926	0,806	0,333	0,119
	2	1,000	0,941	0,244	0,059
	6	1,000	1,000	0,000	0,000

E. DEL HIERRO	cat	Ps	Pa	Kj	Ps-Pa
	4	0,287	0,240	0,116	0,047
	1	0,426	0,315	0,217	0,110
	3	0,762	0,641	0,304	0,121
	6	0,822	0,700	0,316	0,121
	5	0,931	0,866	0,246	0,065
	2	1,000	1,000	0,000	0,000

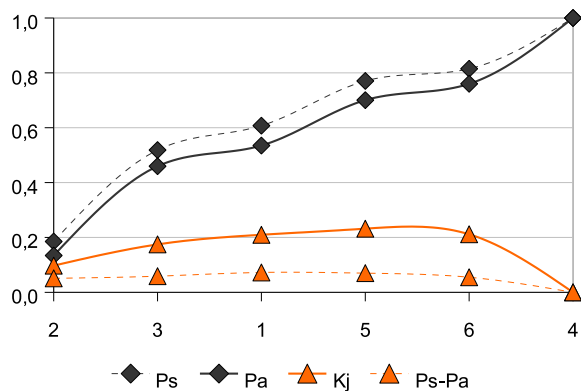
ROMANO	cat	Ps	Pa	Kj	Ps-Pa
	5	0,243	0,166	0,137	0,077
	1	0,364	0,241	0,212	0,123
	4	0,607	0,481	0,276	0,126
	3	0,913	0,806	0,311	0,106
	6	0,937	0,866	0,258	0,071
	2	1,000	1,000	0,000	0,000



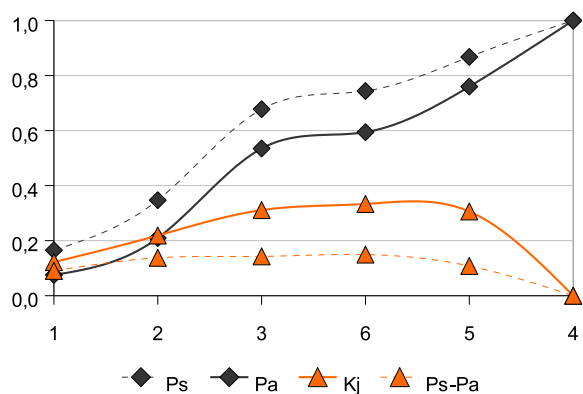
**Neolítico**



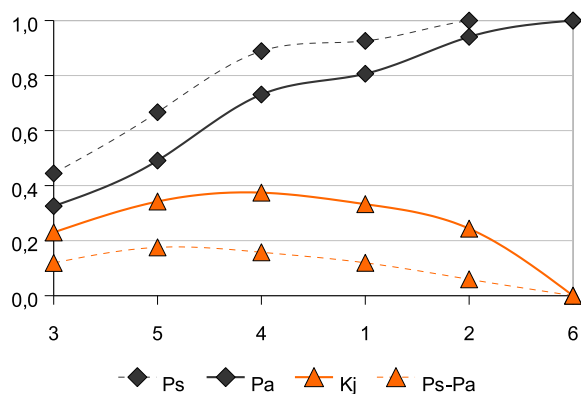
**E. del Cobre**



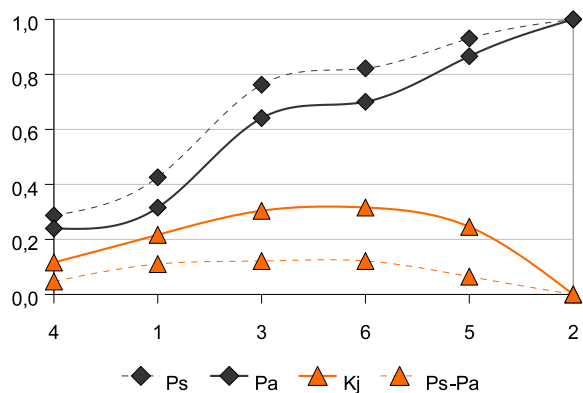
**E. del Bronce**



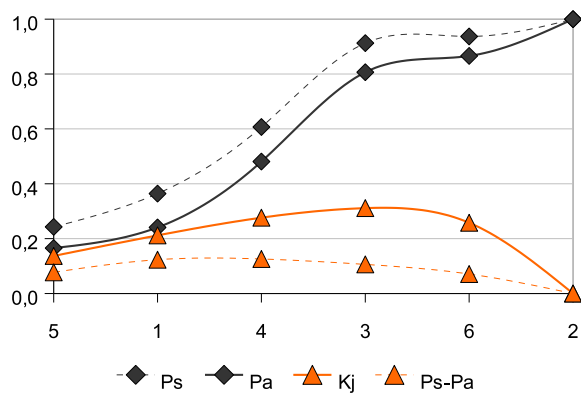
**Bronce Final**



**E. del Hierro**



**Romano**



## Aptitud agrícola del suelo

NEOLÍTICO	cat	Ps	Pa	Kj	Ps-Pa
	3	0,576	0,426	0,294	0,150
	0	0,589	0,434	0,302	0,155
	1	0,709	0,614	0,259	0,094
	2	1,000	1,000	0,000	0,000

E. DEL COBRE	cat	Ps	Pa	Kj	Ps-Pa
	3	0,541	0,426	0,249	0,115
	0	0,548	0,434	0,251	0,114
	1	0,689	0,614	0,226	0,074
	2	1,000	1,000	0,000	0,000

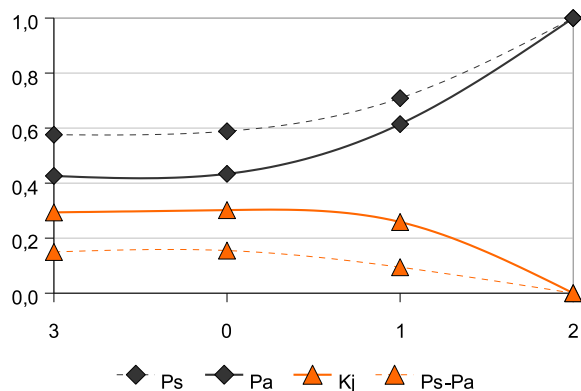
E. DEL BRONCE	cat	Ps	Pa	Kj	Ps-Pa
	3	0,512	0,426	0,210	0,086
	0	0,554	0,434	0,258	0,120
	2	0,901	0,819	0,271	0,082
	1	1,000	1,000	0,000	0,000

BRONCE FINAL	cat	Ps	Pa	Kj	Ps-Pa
	2	0,444	0,386	0,162	0,059
	1	0,704	0,566	0,311	0,137
	0	0,741	0,574	0,352	0,167
	3	1,000	1,000	0,000	0,000

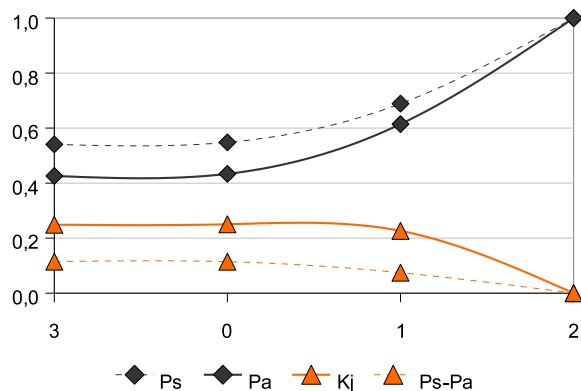
E. DEL HIERRO	cat	Ps	Pa	Kj	Ps-Pa
	3	0,525	0,426	0,227	0,099
	1	0,713	0,607	0,275	0,106
	0	0,743	0,614	0,308	0,128
	2	1,000	1,000	0,000	0,000

ROMANO	cat	Ps	Pa	Kj	Ps-Pa
	1	0,238	0,181	0,117	0,057
	3	0,680	0,607	0,222	0,073
	0	0,699	0,614	0,243	0,085
	2	1,000	1,000	0,000	0,000

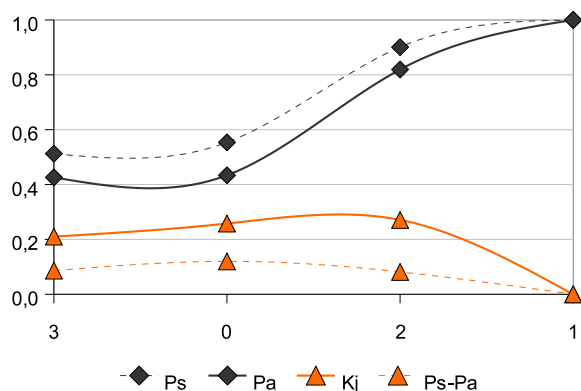
**Neolítico**



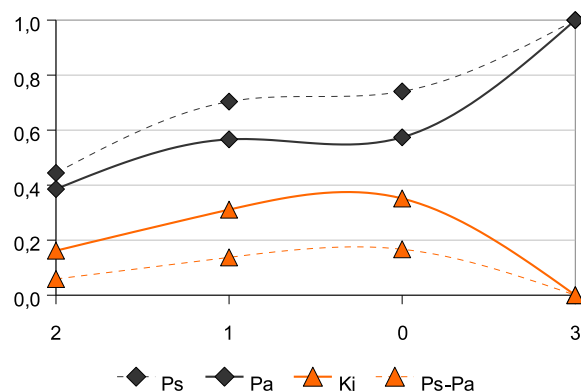
**E. del Cobre**



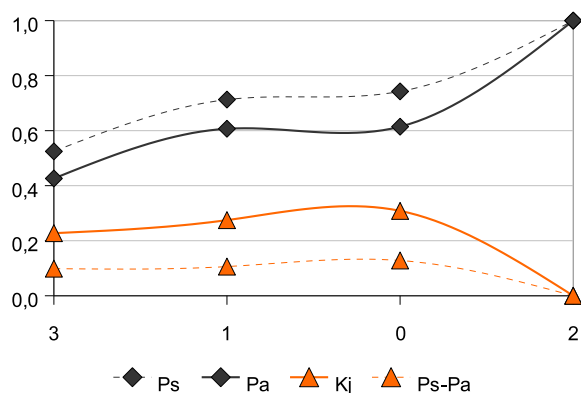
**E. del Bronce**



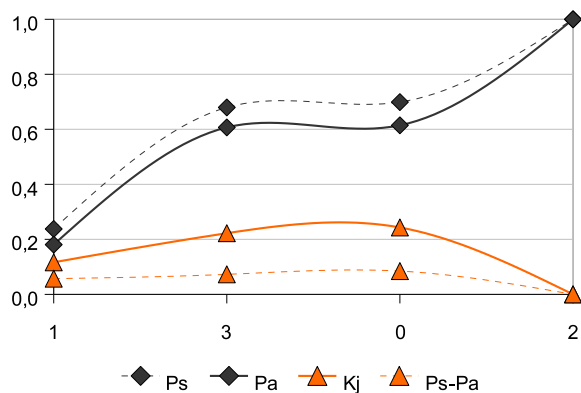
**Bronce Final**



**E. del Hierro**



**Romano**



## ÁMBITO SUBREGIÓN 5. PENIBÉTICAS

### Altitud absoluta

NEOLÍTICO	cat	Ps	Pa	Kj	Ps-Pa
	2	0,224	0,126	0,148	0,097
	3	0,388	0,227	0,250	0,161
	1	0,567	0,371	0,334	0,196
	4	0,657	0,485	0,335	0,171
	5	1,000	1,000	0,000	0,000

E. DEL COBRE	cat	Ps	Pa	Kj	Ps-Pa
	1	0,242	0,144	0,155	0,099
	3	0,373	0,245	0,218	0,128
	2	0,516	0,371	0,273	0,145
	4	0,640	0,485	0,314	0,154
	5	1,000	1,000	0,000	0,000

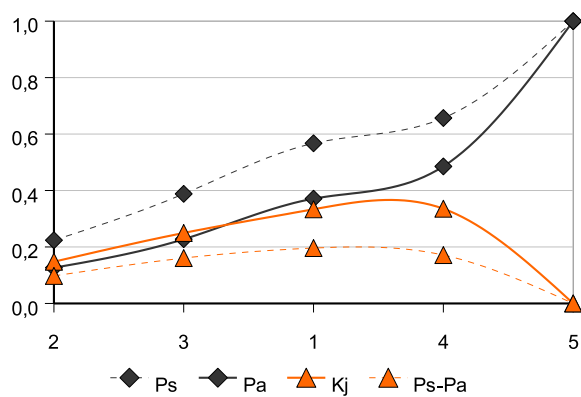
E. DEL BRONCE	cat	Ps	Pa	Kj	Ps-Pa
	4	0,135	0,114	0,053	0,021
	2	0,270	0,241	0,089	0,029
	3	0,369	0,342	0,101	0,028
	1	0,505	0,485	0,098	0,019
	5	1,000	1,000	0,000	0,000

BRONCE FINAL	cat	Ps	Pa	Kj	Ps-Pa
	4	0,238	0,114	0,172	0,124
	3	0,429	0,215	0,302	0,213
	1	0,619	0,359	0,401	0,260
	2	0,714	0,485	0,404	0,229
	5	1,000	1,000	0,000	0,000

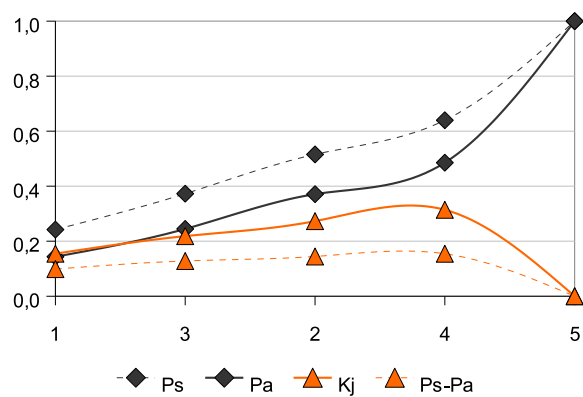
E. DEL HIERRO	cat	Ps	Pa	Kj	Ps-Pa
	1	0,640	0,144	0,564	0,496
	4	0,720	0,258	0,577	0,462
	2	0,800	0,384	0,577	0,416
	3	0,840	0,485	0,546	0,355
	5	1,000	1,000	0,000	0,000

ROMANO	cat	Ps	Pa	Kj	Ps-Pa
	1	0,348	0,144	0,267	0,205
	2	0,518	0,270	0,358	0,248
	3	0,634	0,371	0,408	0,263
	4	0,714	0,485	0,404	0,229
	5	1,000	1,000	0,000	0,000

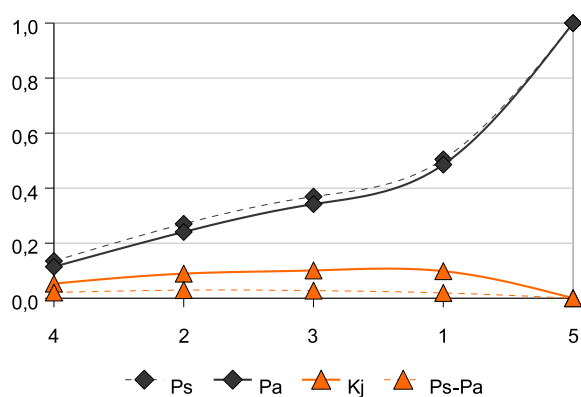
**Neolítico**



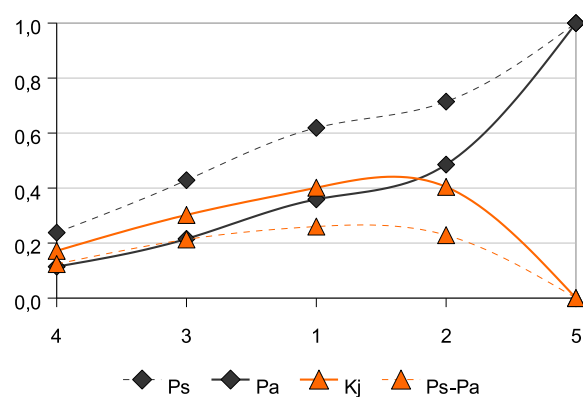
**E. del Cobre**



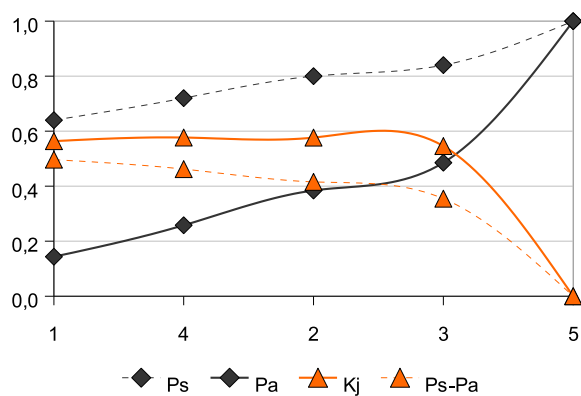
**E. del Bronce**



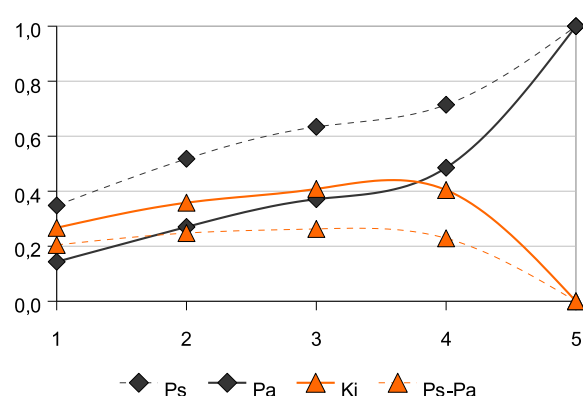
**Bronce Final**



**E. del Hierro**



**Romano**



## Altitud relativa

NEOLÍTICO	cat	Ps	Pa	Kj	Ps-Pa
	4	0,343	0,156	0,253	0,187
	5	0,552	0,291	0,380	0,262
	3	0,642	0,355	0,429	0,286
	2	0,881	0,703	0,395	0,177
	1	1,000	1,000	0,000	0,000

E. DEL COBRE	cat	Ps	Pa	Kj	Ps-Pa
	1	0,304	0,297	0,048	0,008
	5	0,447	0,431	0,085	0,016
	4	0,602	0,587	0,096	0,015
	3	0,665	0,652	0,091	0,012
	2	1,000	1,000	0,000	0,000

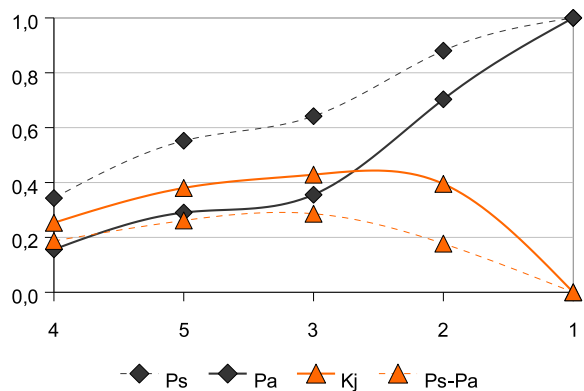
E. DEL BRONCE	cat	Ps	Pa	Kj	Ps-Pa
	4	0,225	0,156	0,125	0,069
	5	0,414	0,291	0,227	0,124
	1	0,685	0,587	0,258	0,097
	3	0,712	0,652	0,206	0,060
	2	1,000	1,000	0,000	0,000

BRONCE FINAL	cat	Ps	Pa	Kj	Ps-Pa
	5	0,238	0,134	0,157	0,104
	2	0,571	0,482	0,226	0,089
	3	0,667	0,547	0,282	0,120
	1	0,952	0,844	0,322	0,109
	4	1,000	1,000	0,000	0,000

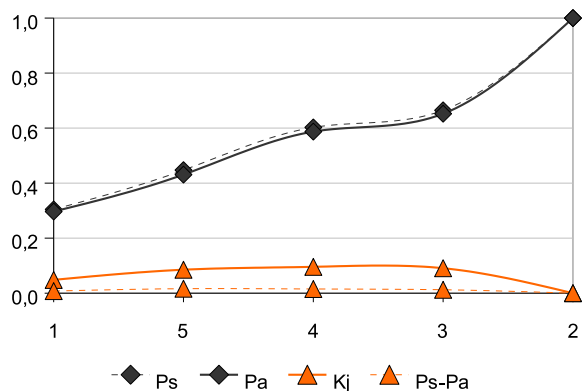
E. DEL HIERRO	cat	Ps	Pa	Kj	Ps-Pa
	2	0,540	0,348	0,322	0,192
	5	0,720	0,482	0,414	0,238
	3	0,800	0,547	0,450	0,253
	4	0,920	0,703	0,447	0,217
	1	1,000	1,000	0,000	0,000

ROMANO	cat	Ps	Pa	Kj	Ps-Pa
	2	0,438	0,348	0,198	0,090
	3	0,527	0,413	0,245	0,114
	5	0,661	0,547	0,274	0,114
	1	0,902	0,844	0,229	0,058
	4	1,000	1,000	0,000	0,000

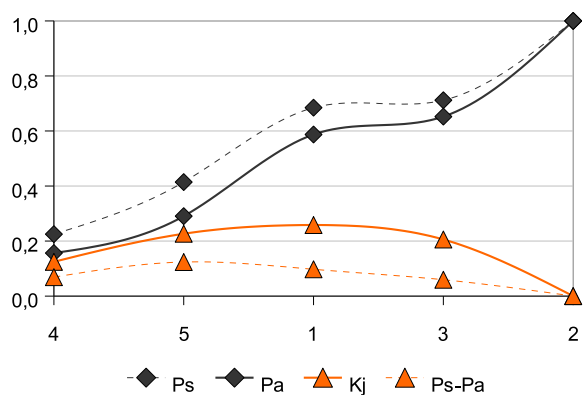
Neolítico



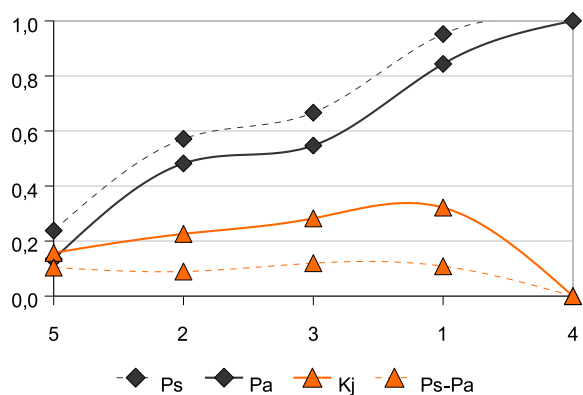
E. del Cobre



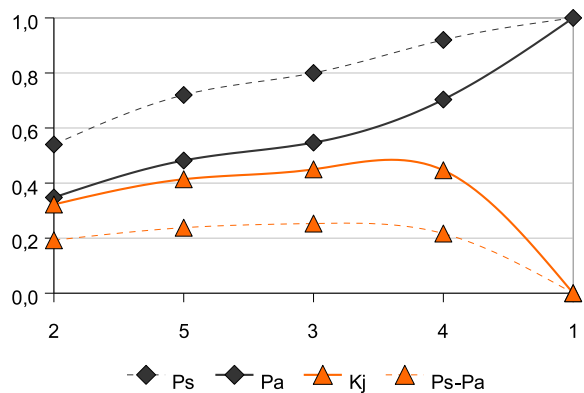
E. del Bronce



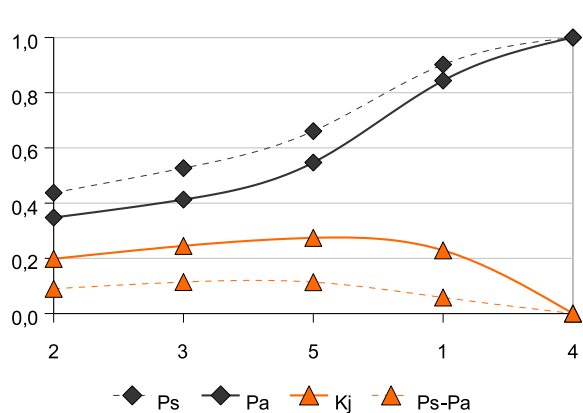
Bronce Final



E. del Hierro



Romano



## Pendiente

NEOLÍTICO	cat	Ps	Pa	Kj	Ps-Pa
	2	0,313	0,250	0,142	0,064
	1	0,582	0,531	0,173	0,051
	3	1,000	1,000	0,000	0,000

E DEL COBRE	cat	Ps	Pa	Kj	Ps-Pa
	2	0,379	0,250	0,221	0,129
	1	0,727	0,531	0,377	0,196
	3	1,000	1,000	0,000	0,000

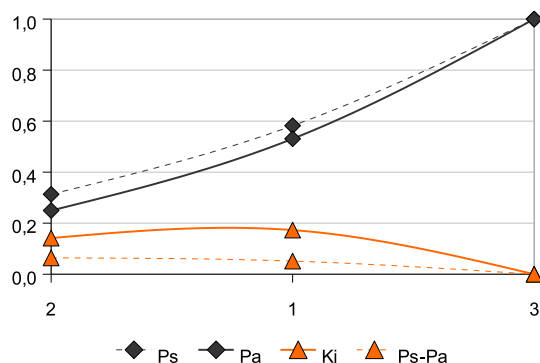
E DEL BRONCE	cat	Ps	Pa	Kj	Ps-Pa
	1	0,333	0,281	0,132	0,052
	3	0,802	0,750	0,203	0,051
	2	1,000	1,000	0,000	0,000

BRONCE FINAL	cat	Ps	Pa	Kj	Ps-Pa
	1	0,381	0,281	0,195	0,100
	3	0,810	0,750	0,219	0,059
	2	1,000	1,000	0,000	0,000

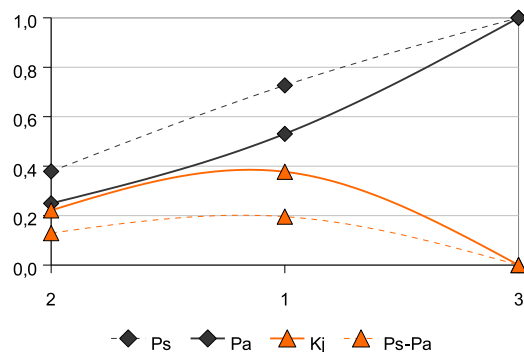
E DEL HIERRO	cat	Ps	Pa	Kj	Ps-Pa
	1	0,640	0,281	0,479	0,359
	2	0,880	0,531	0,554	0,349
	3	1,000	1,000	0,000	0,000

ROMANO	cat	Ps	Pa	Kj	Ps-Pa
	1	0,473	0,281	0,301	0,192
	2	0,750	0,531	0,406	0,219
	3	1,000	1,000	0,000	0,000

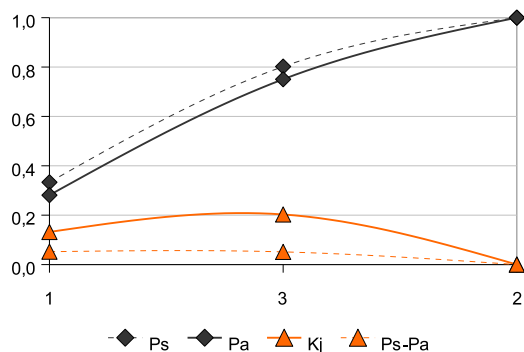
Neolítico



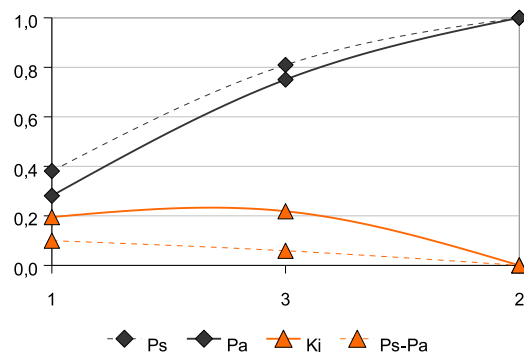
E. del Cobre



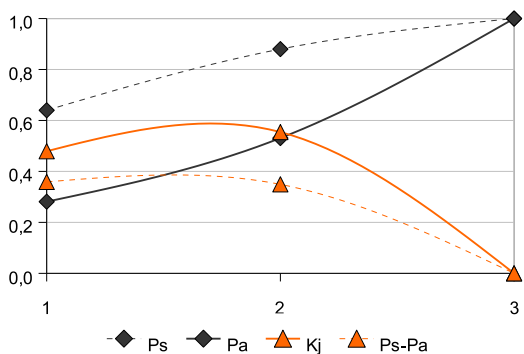
E. del Bronce



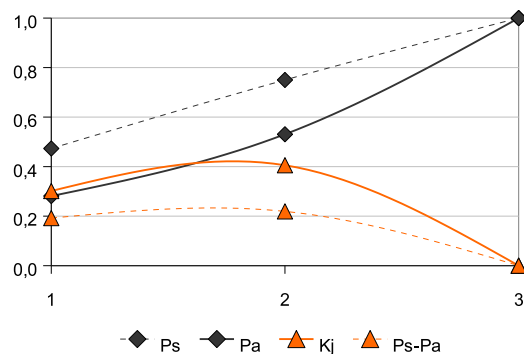
Bronce Final



E. del Hierro



Romano





## Distancia a red hidrográfica

NEOLÍTICO	cat	Ps	Pa	Kj	Ps-Pa
	1	0,731	0,584	0,328	0,147
	4	0,761	0,630	0,316	0,131
	3	0,806	0,724	0,257	0,082
	2	1,000	1,000	0,000	0,000

E DEL COBRE	cat	Ps	Pa	Kj	Ps-Pa
	1	0,727	0,584	0,322	0,143
	4	0,764	0,630	0,320	0,134
	3	0,814	0,724	0,270	0,090
	2	1,000	1,000	0,000	0,000

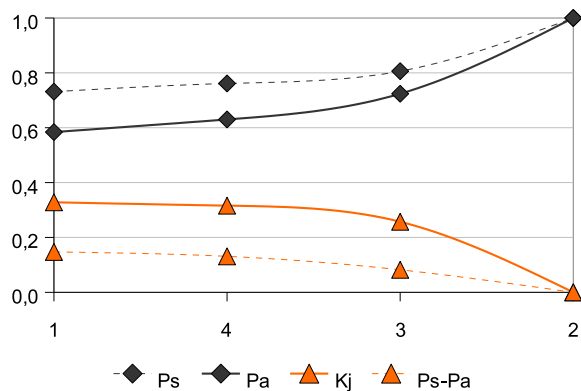
E DEL BRONCE	cat	Ps	Pa	Kj	Ps-Pa
	1	0,685	0,584	0,263	0,101
	3	0,775	0,678	0,274	0,097
	4	0,784	0,724	0,217	0,060
	2	1,000	1,000	0,000	0,000

BRONCE FINAL	cat	Ps	Pa	Kj	Ps-Pa
	1	0,667	0,584	0,235	0,083
	4	0,714	0,630	0,245	0,084
	2	0,952	0,906	0,210	0,046
	3	1,000	1,000	0,000	0,000

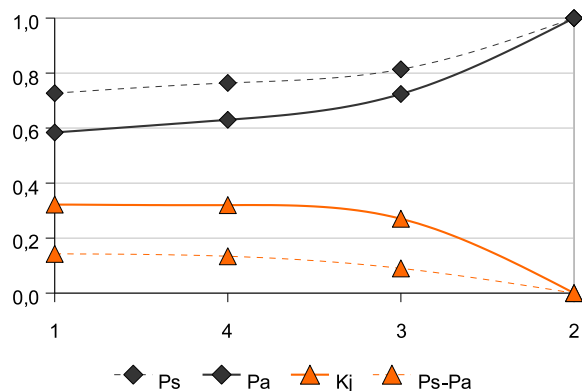
E. DEL HIERRO	cat	Ps	Pa	Kj	Ps-Pa
	1	0,680	0,584	0,256	0,096
	4	0,760	0,630	0,314	0,130
	3	0,840	0,724	0,312	0,116
	2	1,000	1,000	0,000	0,000

ROMANO	cat	Ps	Pa	Kj	Ps-Pa
	1	0,732	0,584	0,329	0,148
	3	0,830	0,678	0,356	0,153
	2	0,982	0,954	0,166	0,028
	4	1,000	1,000	0,000	0,000

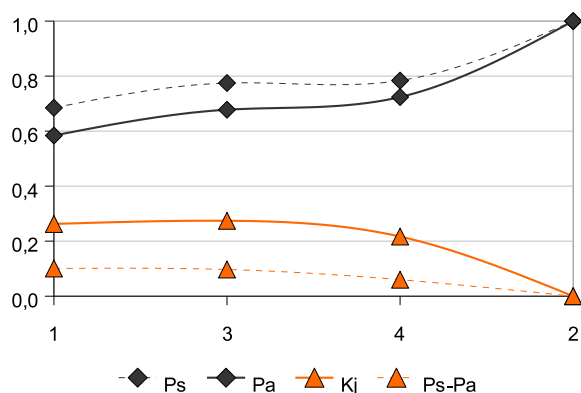
**Neolítico**



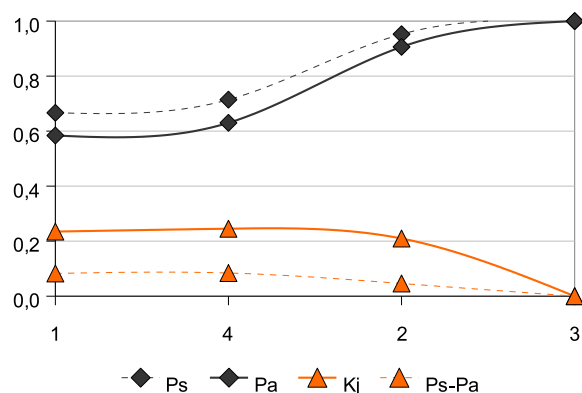
**E. del Cobre**



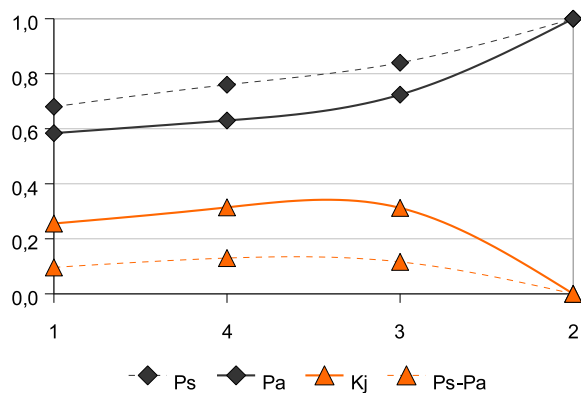
**E. del Bronce**



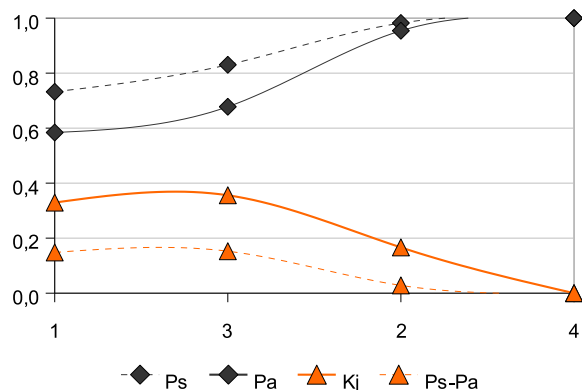
**Bronce Final**



**E. del Hierro**



**Romano**



## Orientación

NEOLÍTICO	cat	Ps	Pa	Kj	Ps-Pa
	6	0,299	0,173	0,194	0,126
	2	0,448	0,267	0,284	0,181
	5	0,612	0,445	0,319	0,167
	9	0,687	0,536	0,322	0,151
	1	0,687	0,541	0,316	0,145
	7	0,791	0,678	0,299	0,113
	3	0,866	0,784	0,265	0,081
	8	0,925	0,875	0,215	0,050
	4	1,000	1,000	0,000	0,000

E. DEL BRONCE	cat	Ps	Pa	Kj	Ps-Pa
	2	0,117	0,095	0,051	0,022
	7	0,270	0,232	0,102	0,039
	5	0,450	0,409	0,136	0,041
	-1	0,468	0,415	0,158	0,054
	9	0,559	0,506	0,172	0,053
	6	0,721	0,678	0,175	0,043
	3	0,820	0,784	0,170	0,035
	8	0,901	0,875	0,152	0,026
	4	1,000	1,000	0,000	0,000

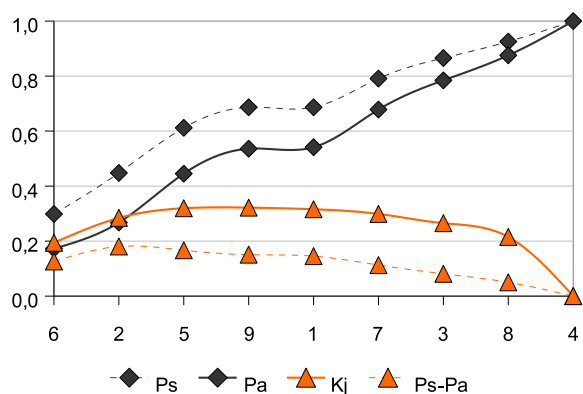
E. DEL HIERRO	cat	Ps	Pa	Kj	Ps-Pa
	6	0,220	0,173	0,102	0,047
	7	0,400	0,309	0,190	0,091
	5	0,600	0,487	0,260	0,113
	8	0,700	0,578	0,292	0,122
	2	0,800	0,673	0,319	0,127
	1	0,800	0,678	0,312	0,122
	4	0,900	0,803	0,295	0,097
	3	0,980	0,909	0,263	0,071
	9	1,000	1,000	0,000	0,000

E. DEL COBRE	cat	Ps	Pa	Kj	Ps-Pa
	5	0,199	0,178	0,064	0,021
	2	0,311	0,273	0,109	0,038
	8	0,410	0,363	0,138	0,046
	3	0,516	0,470	0,154	0,046
	1	0,522	0,475	0,156	0,047
	6	0,683	0,648	0,156	0,036
	9	0,764	0,738	0,140	0,025
	7	0,888	0,875	0,107	0,013
	4	1,000	1,000	0,000	0,000

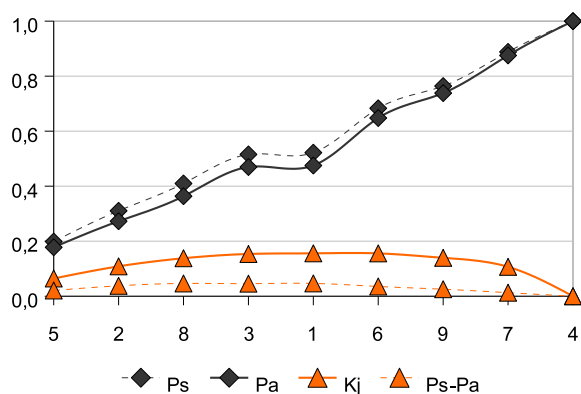
BRONCE FINAL	cat	Ps	Pa	Kj	Ps-Pa
	4	0,190	0,125	0,112	0,066
	7	0,381	0,262	0,213	0,119
	8	0,524	0,352	0,300	0,171
	5	0,714	0,530	0,363	0,184
	6	0,857	0,703	0,364	0,154
	-1	0,857	0,708	0,357	0,149
	9	0,905	0,799	0,309	0,106
	2	0,952	0,894	0,236	0,059
	3	1,000	1,000	0,000	0,000

ROMANO	cat	Ps	Pa	Kj	Ps-Pa
	5	0,232	0,178	0,112	0,054
	4	0,375	0,303	0,165	0,072
	3	0,491	0,409	0,201	0,082
	8	0,589	0,500	0,230	0,090
	2	0,679	0,594	0,239	0,084
	1	0,688	0,600	0,246	0,088
	6	0,839	0,772	0,237	0,067
	9	0,911	0,863	0,208	0,048
	7	1,000	1,000	0,000	0,000

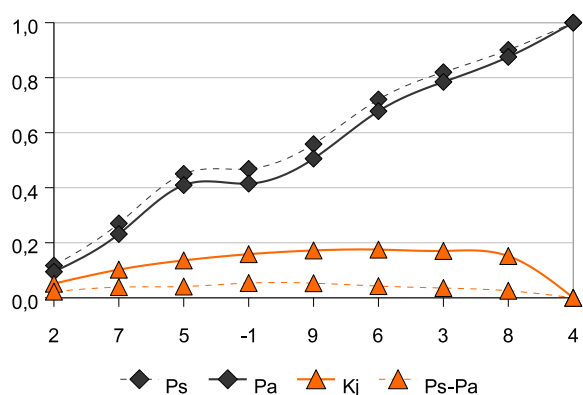
**Neolítico**



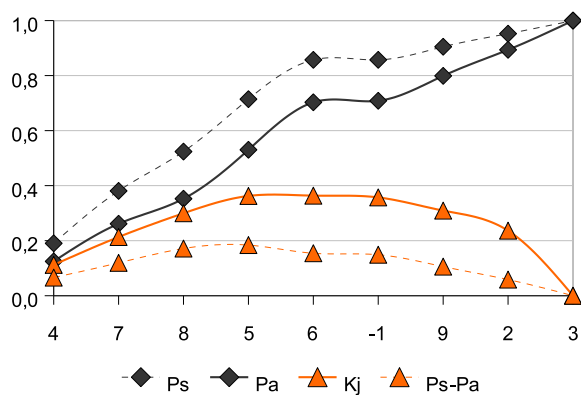
**E. del Cobre**



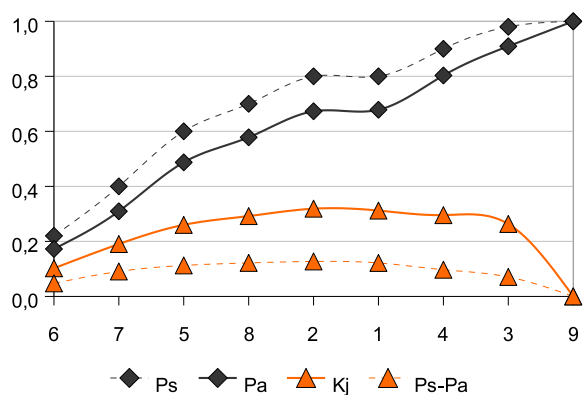
**E. del Bronce**



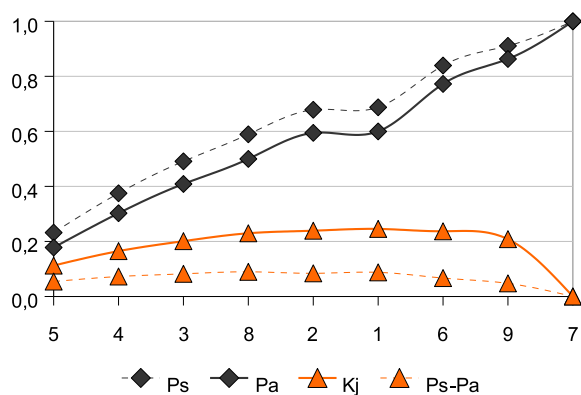
**Bronce Final**



**E. del Hierro**



**Romano**



## Morfología

NEOLÍTICO	cat	Ps	Pa	Kj	Ps-Pa
	3	0,284	0,180	0,172	0,104
	6	0,433	0,273	0,263	0,160
	5	0,507	0,348	0,284	0,159
	2	0,507	0,349	0,284	0,159
	4	0,507	0,353	0,280	0,155
	1	1,000	1,000	0,000	0,000

E. DEL COBRE	cat	Ps	Pa	Kj	Ps-Pa
	6	0,193	0,093	0,138	0,099
	3	0,410	0,273	0,237	0,137
	5	0,547	0,348	0,329	0,198
	2	0,547	0,349	0,329	0,198
	4	0,547	0,353	0,325	0,194
	1	1,000	1,000	0,000	0,000

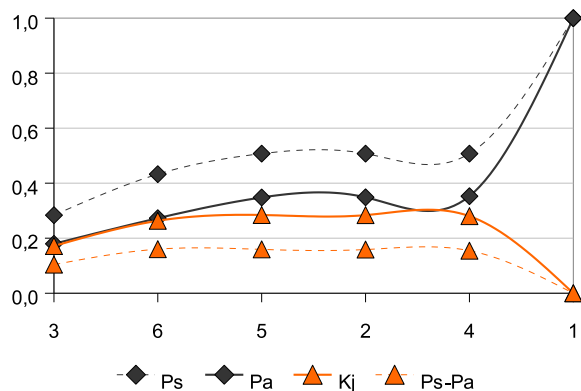
E. DEL BRONCE	cat	Ps	Pa	Kj	Ps-Pa
	3	0,243	0,180	0,124	0,064
	5	0,378	0,255	0,216	0,123
	6	0,495	0,348	0,270	0,147
	4	0,505	0,352	0,277	0,152
	2	0,505	0,353	0,277	0,152
	1	1,000	1,000	0,000	0,000

BRONCE FINAL	cat	Ps	Pa	Kj	Ps-Pa
	4	0,048	0,004	0,046	0,044
	3	0,238	0,184	0,114	0,054
	5	0,333	0,259	0,157	0,074
	6	0,429	0,352	0,181	0,076
	2	0,429	0,353	0,180	0,076
	1	1,000	1,000	0,000	0,000

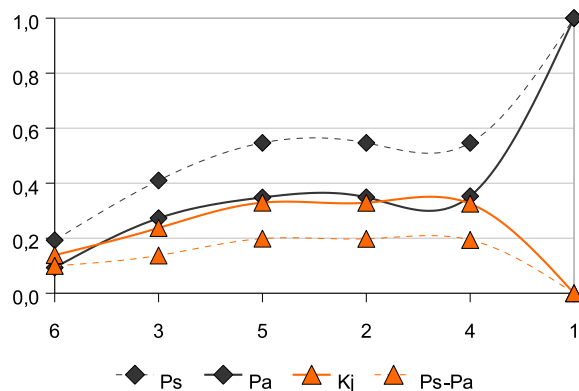
E. DEL HIERRO	cat	Ps	Pa	Kj	Ps-Pa
	6	0,440	0,093	0,391	0,347
	3	0,640	0,273	0,485	0,367
	5	0,720	0,348	0,517	0,372
	4	0,740	0,352	0,536	0,388
	2	0,740	0,353	0,535	0,387
	1	1,000	1,000	0,000	0,000

ROMANO	cat	Ps	Pa	Kj	Ps-Pa
	6	0,348	0,093	0,298	0,255
	3	0,589	0,273	0,432	0,317
	5	0,688	0,348	0,483	0,339
	2	0,688	0,349	0,483	0,339
	4	0,688	0,353	0,480	0,335
	1	1,000	1,000	0,000	0,000

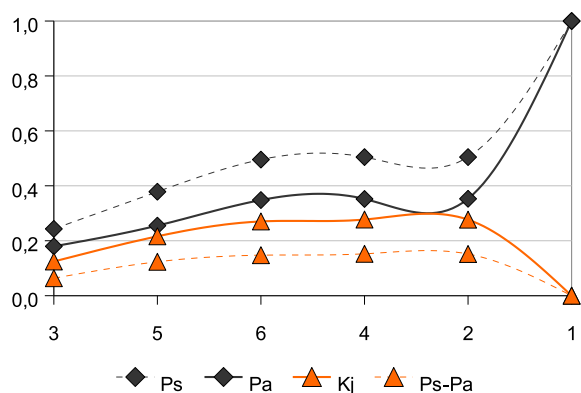
Neolítico



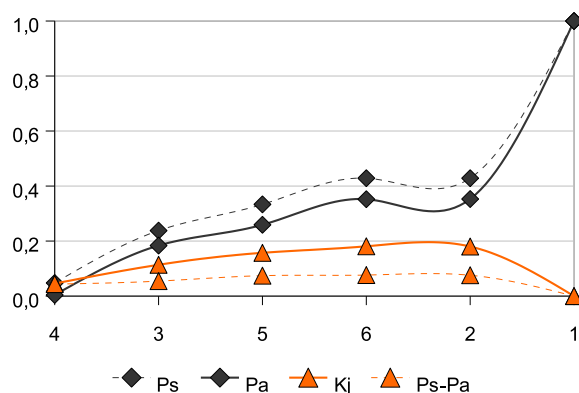
E. del Cobre



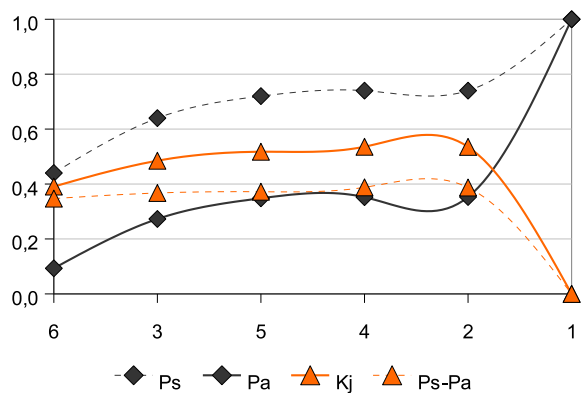
E. del Bronce



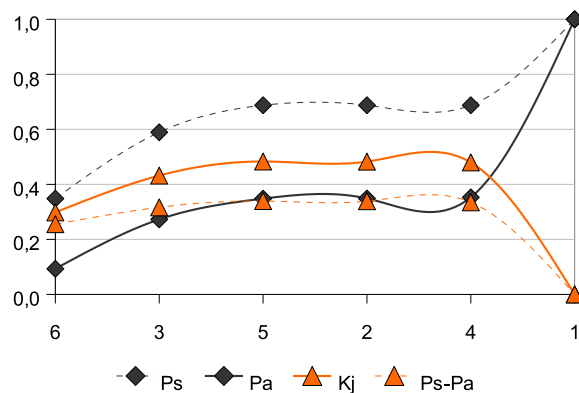
Bronce Final



E. del Hierro



Romano



## Litología

NEOLÍTICO	cat	Ps	Pa	Kj	Ps-Pa
	3	0,657	0,458	0,361	0,199
	1	0,657	0,495	0,326	0,162
	2	1,000	1,000	0,000	0,000

E DEL BRONCE	cat	Ps	Pa	Kj	Ps-Pa
	3	0,577	0,458	0,261	0,118
	1	0,604	0,495	0,256	0,109
	2	1,000	1,000	0,000	0,000

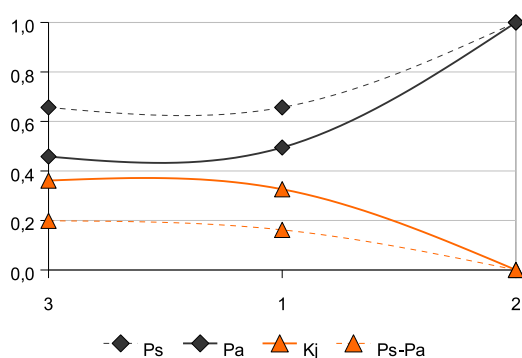
E DEL HIERRO	cat	Ps	Pa	Kj	Ps-Pa
	3	0,800	0,458	0,523	0,342
	1	0,800	0,495	0,494	0,305
	2	1,000	1,000	0,000	0,000

E DEL COBRE	cat	Ps	Pa	Kj	Ps-Pa
	3	0,658	0,458	0,363	0,200
	1	0,683	0,495	0,359	0,189
	2	1,000	1,000	0,000	0,000

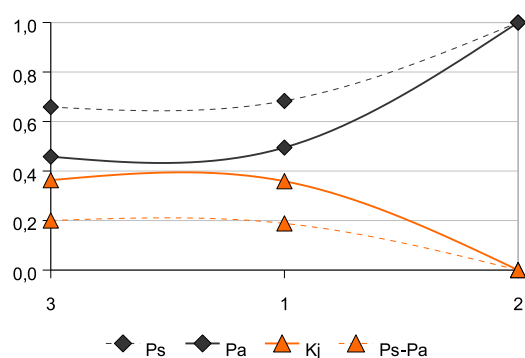
BRONCE FINAL	cat	Ps	Pa	Kj	Ps-Pa
	3	0,571	0,458	0,254	0,113
	1	0,571	0,495	0,209	0,077
	2	1,000	1,000	0,000	0,000

ROMANO	cat	Ps	Pa	Kj	Ps-Pa
	3	0,714	0,458	0,428	0,256
	1	0,723	0,495	0,407	0,228
	2	1,000	1,000	0,000	0,000

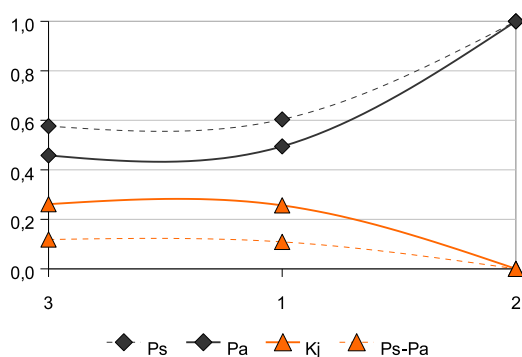
Neolítico



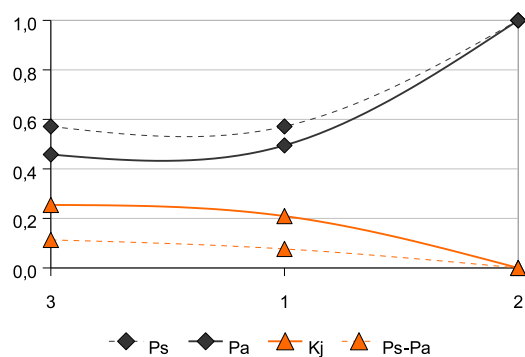
E. del Cobre



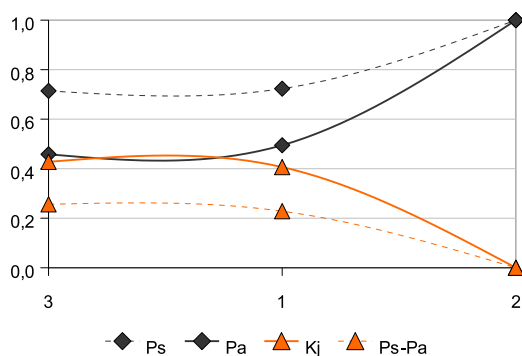
E. del Bronce



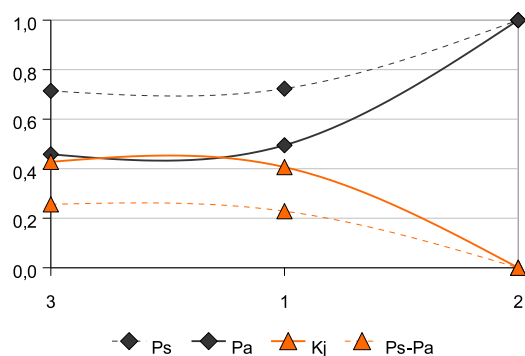
Bronce Final



E. del Hierro



Romano



## Vegetación potencial

NEOLÍTICO	cat	Ps	Pa	Kj	Ps-Pa
	6	0,254	0,181	0,136	0,072
	7	0,522	0,426	0,225	0,097
	3	0,597	0,442	0,304	0,155
	4	0,940	0,783	0,385	0,158
	2	0,985	0,837	0,383	0,149
	9	0,985	0,841	0,377	0,144
	8	0,985	0,892	0,303	0,093
	5	1,000	1,000	0,000	0,000

E. DEL COBRE	cat	Ps	Pa	Kj	Ps-Pa
	7	0,398	0,244	0,247	0,153
	4	0,807	0,585	0,424	0,222
	3	0,857	0,601	0,468	0,256
	9	0,863	0,606	0,472	0,258
	6	0,981	0,787	0,437	0,194
	2	0,988	0,841	0,381	0,147
	8	0,988	0,892	0,307	0,096
	5	1,000	1,000	0,000	0,000

E. DEL BRONCE	cat	Ps	Pa	Kj	Ps-Pa
	4	0,523	0,341	0,308	0,182
	7	0,892	0,585	0,523	0,307
	9	0,901	0,589	0,530	0,311
	3	0,910	0,606	0,526	0,304
	2	0,919	0,660	0,488	0,259
	8	0,919	0,711	0,438	0,208
	5	0,937	0,819	0,333	0,118
	6	1,000	1,000	0,000	0,000

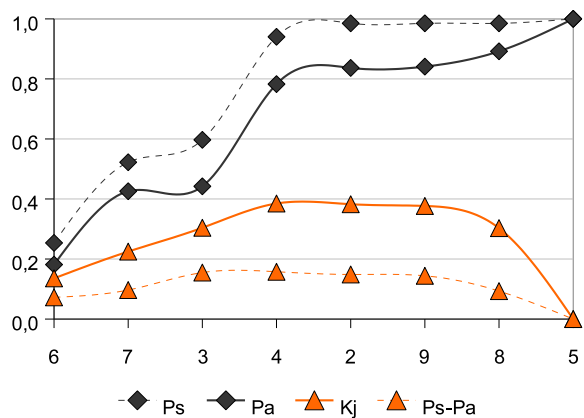
BRONCE FINAL	cat	Ps	Pa	Kj	Ps-Pa
	7	0,381	0,244	0,228	0,137
	4	0,762	0,585	0,367	0,177
	6	1,000	0,766	0,483	0,234
	9	1,000	0,771	0,479	0,229
	3	1,000	0,787	0,461	0,213
	8	1,000	0,838	0,402	0,162
	2	1,000	0,892	0,329	0,108
	5	1,000	1,000	0,000	0,000

E. DEL HIERRO	cat	Ps	Pa	Kj	Ps-Pa
	6	0,480	0,181	0,379	0,299
	3	0,600	0,198	0,491	0,402
	7	0,840	0,442	0,578	0,398
	9	0,840	0,447	0,575	0,393
	2	0,860	0,500	0,556	0,360
	8	0,860	0,551	0,515	0,309
	5	0,860	0,659	0,415	0,201
	4	1,000	1,000	0,000	0,000

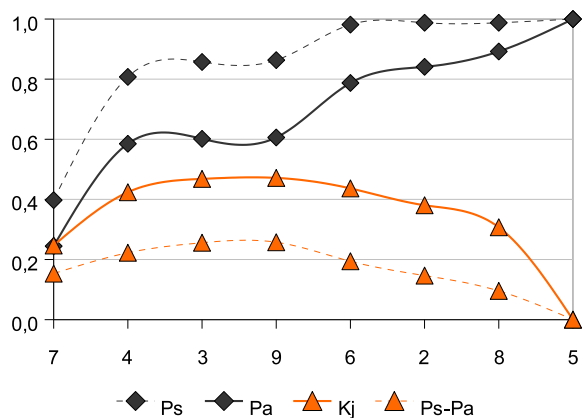
ROMANO	cat	Ps	Pa	Kj	Ps-Pa
	7	0,455	0,244	0,310	0,211
	3	0,571	0,261	0,421	0,311
	4	0,839	0,601	0,447	0,238
	9	0,839	0,606	0,443	0,233
	2	0,857	0,660	0,411	0,198
	6	0,973	0,841	0,359	0,132
	8	0,973	0,892	0,281	0,081
	5	1,000	1,000	0,000	0,000



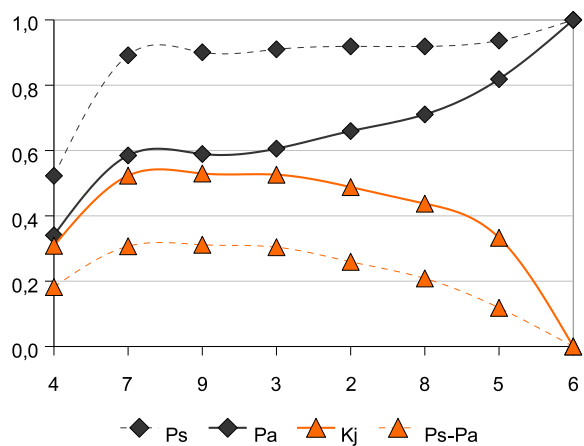
**Neolítico**



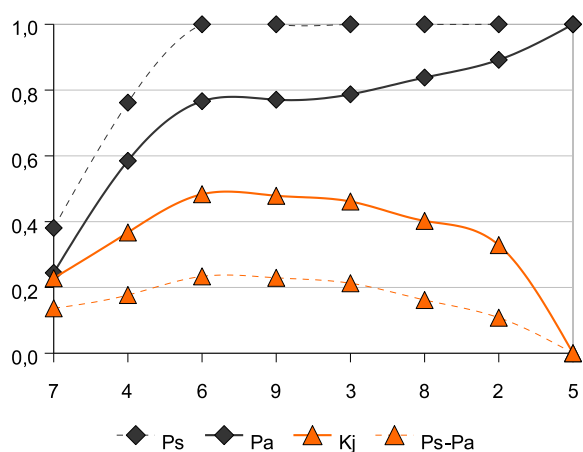
**E. del Cobre**



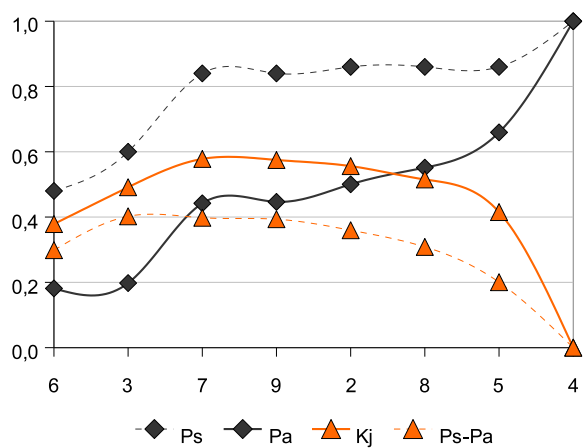
**E. del Bronce**



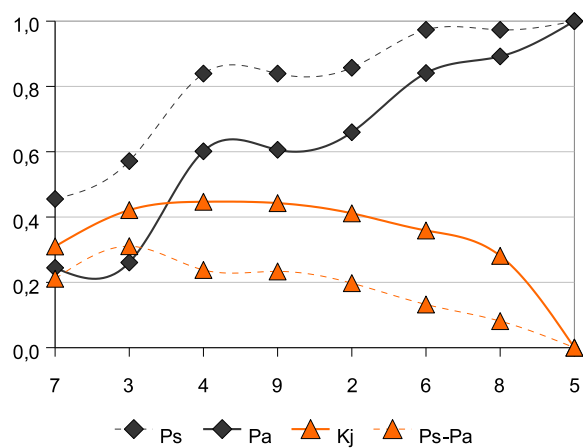
**Bronce Final**



**E. del Hierro**



**Romano**



## Landform

NEOLÍTICO	cat	Ps	Pa	Kj	Ps-Pa
	3	0,448	0,403	0,142	0,045
	1	0,567	0,471	0,234	0,096
	5	0,746	0,633	0,291	0,114
	2	0,866	0,763	0,298	0,102
	4	1,000	0,949	0,226	0,051
	6	1,000	1,000	0,000	0,000

E. DEL COBRE	cat	Ps	Pa	Kj	Ps-Pa
	5	0,292	0,162	0,195	0,130
	6	0,398	0,213	0,271	0,185
	4	0,584	0,398	0,329	0,185
	1	0,634	0,467	0,325	0,167
	3	0,938	0,869	0,254	0,069
	2	1,000	1,000	0,000	0,000

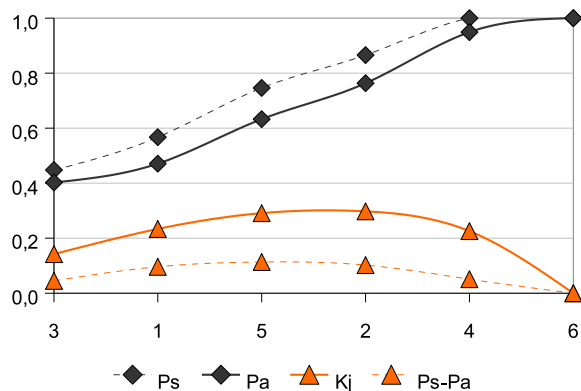
E. DEL BRONCE	cat	Ps	Pa	Kj	Ps-Pa
	5	0,198	0,162	0,085	0,036
	1	0,297	0,230	0,141	0,067
	6	0,378	0,281	0,192	0,097
	3	0,748	0,684	0,219	0,064
	4	0,901	0,869	0,169	0,032
	2	1,000	1,000	0,000	0,000

BRONCE FINAL	cat	Ps	Pa	Kj	Ps-Pa
	5	0,238	0,162	0,135	0,076
	1	0,381	0,230	0,240	0,151
	4	0,571	0,416	0,298	0,156
	2	0,714	0,546	0,346	0,168
	6	0,762	0,597	0,354	0,165
	3	1,000	1,000	0,000	0,000

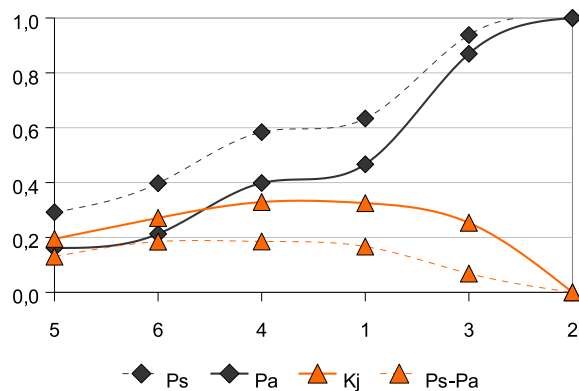
E. DEL HIERRO	cat	Ps	Pa	Kj	Ps-Pa
	4	0,460	0,186	0,355	0,274
	1	0,580	0,254	0,435	0,326
	2	0,720	0,385	0,491	0,335
	5	0,820	0,546	0,474	0,274
	6	0,820	0,597	0,427	0,223
	3	1,000	1,000	0,000	0,000

ROMANO	cat	Ps	Pa	Kj	Ps-Pa
	4	0,321	0,186	0,209	0,136
	5	0,545	0,347	0,328	0,197
	6	0,634	0,398	0,386	0,236
	1	0,688	0,467	0,390	0,221
	2	0,750	0,597	0,338	0,153
	3	1,000	1,000	0,000	0,000

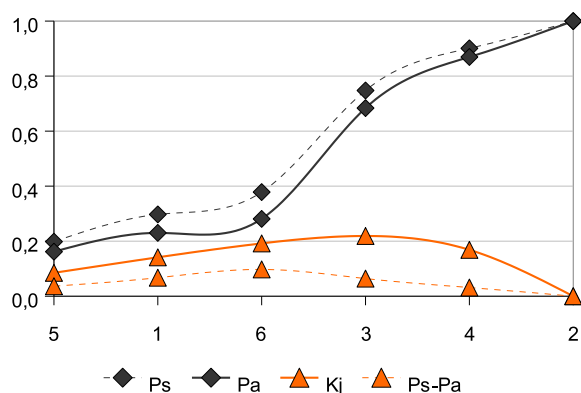
**Neolítico**



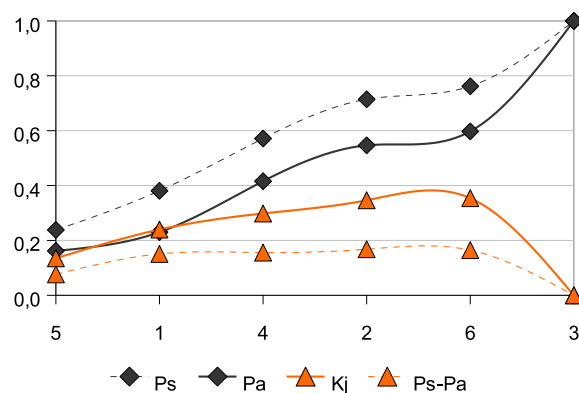
**E. del Cobre**



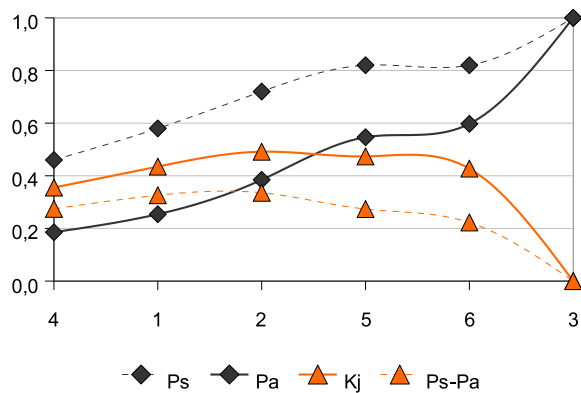
**E. del Bronce**



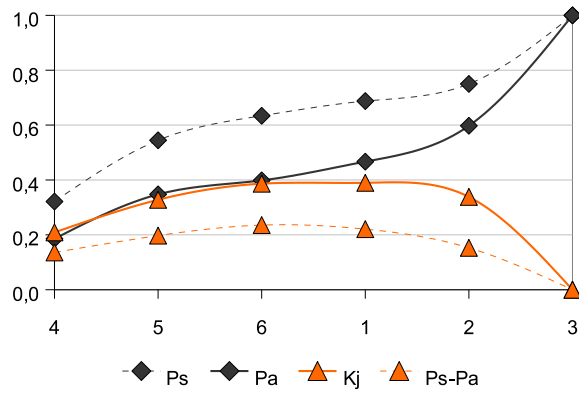
**Bronce Final**



**E. del Hierro**



**Romano**



## Aptitud agrícola del suelo

NEOLÍTICO	cat	Ps	Pa	Kj	Ps-Pa
	2	0,328	0,307	0,083	0,021
	1	0,433	0,370	0,165	0,063
	0	0,433	0,373	0,161	0,060
	3	1,000	1,000	0,000	0,000

E. DEL BRONCE	cat	Ps	Pa	Kj	Ps-Pa
	3	0,631	0,627	0,046	0,003
	0	0,640	0,630	0,079	0,010
	2	0,946	0,937	0,091	0,009
	1	1,000	1,000	0,000	0,000

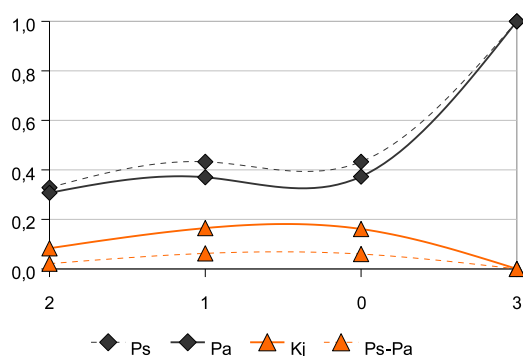
E. DEL HIERRO	cat	Ps	Pa	Kj	Ps-Pa
	1	0,320	0,063	0,287	0,257
	2	0,580	0,370	0,349	0,210
	0	0,600	0,373	0,369	0,227
	3	1,000	1,000	0,000	0,000

E. DEL COBRE	cat	Ps	Pa	Kj	Ps-Pa
	1	0,137	0,063	0,100	0,074
	2	0,435	0,370	0,168	0,065
	0	0,435	0,373	0,164	0,062
	3	1,000	1,000	0,000	0,000

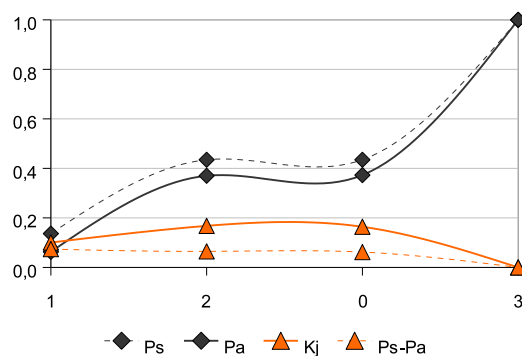
BRONCE FINAL	cat	Ps	Pa	Kj	Ps-Pa
	3	0,810	0,627	0,384	0,182
	1	0,905	0,690	0,441	0,215
	0	0,905	0,693	0,438	0,212
	2	1,000	1,000	0,000	0,000

ROMANO	cat	Ps	Pa	Kj	Ps-Pa
	1	0,241	0,063	0,207	0,178
	2	0,589	0,370	0,359	0,219
	0	0,625	0,373	0,397	0,252
	3	1,000	1,000	0,000	0,000

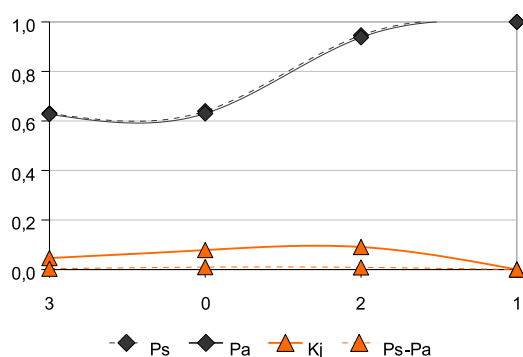
Neolítico



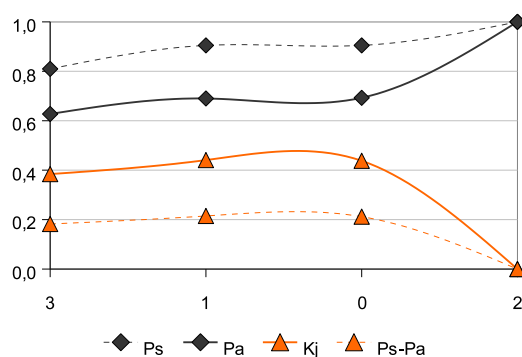
E. del Cobre



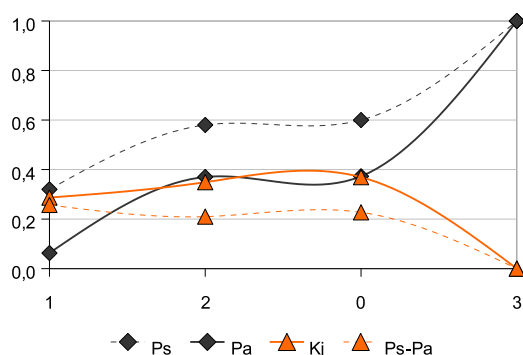
E. del Bronce



Bronce Final



E. del Hierro



Romano

